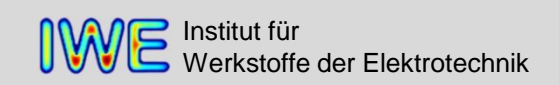
Passive Bauelemente Wintersemester 2014



Übung 6





A1: Lambda-Sonde

Im Folgenden ist ein wissenschaftlicher Text über die Funktionsweise der Lambda-Sonde abgedruckt. Ihre Aufgabe ist es, den Text zu beurteilen. Bearbeiten Sie dazu die unten stehenden Fragestellungen.

Lambda-Sonde

- In der Abgassensorik moderner Benzinmotoren werden potentiometrische Lambda-Sonden eingesetzt. Der Arbeitsweise potentiometrischer Sensoren liegt das Nernst-Sonde-Prinzip und somit die Nernstsche Gleichung zugrunde. Es wird stromlos das Potential zwischen einer Referenz- und einer Messelektrode gemessen. Bei der Lambda-Sonde wird der gasundurchlässige elektronenleitende Elektrolyt so eingesetzt, dass er Abgas (Messraum) und Umgebungsluft (Referenzumgebung), in denen unterschiedliche Sauerstoffpartialdrücke herrschen, voneinander trennt. Als Elektroden werden auf beiden Seiten blockierende Elektroden aus Platin verwendet. Durch das Nichtgleichgewicht der chemischen Potentiale zwischen Abgasseite und Umgebungsluftseite bauen sich an den Grenzschichten zwischen den Pt-Elektroden und dem Festelektrolyten Ladungsansammlungen (Ladungsdoppelschichten) auf.
- Da durch den Elektrolyten keine Elektronen 24 zum Ladungsausgleich fließen können, baut sich ein elektrisches Feld auf, das der Diffusion der O^{2-} -Ionen entgegenwirkt. Das elektrische Feld erzeugt eine Spannung U_{Nernzt} , die 28 über die Pt-Elektroden an beiden Seiten des Festelektrolyten abgegriffen werden kann. 30

$$U_{\mathit{Nerret}} = \frac{RT}{2F} \ln \! \left(\frac{\sqrt{p_{\mathcal{O}_2}^{\mathit{Luft}}}}{\sqrt{p_{\mathcal{O}_2}^{\mathit{Abgas}}}} \right)$$

Die Spannung U_{Nernst} ist von der Temperatur und den Sauerstoffpartialdrücken auf Abgasund Umgebungsluftseite abhängig.



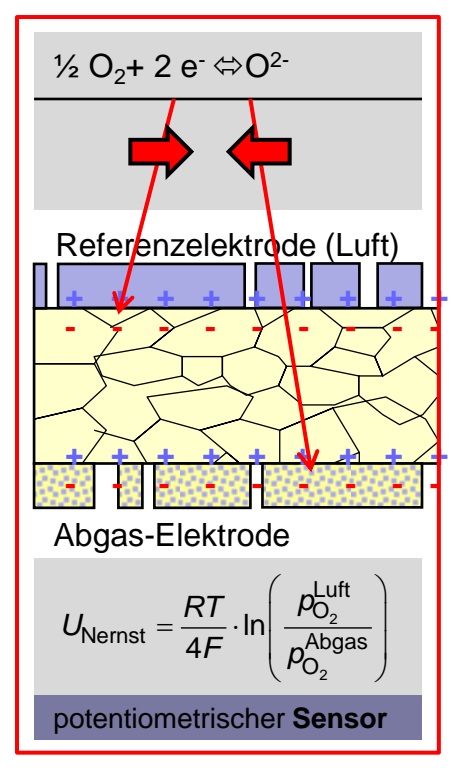
- In der Abgassensorik moderner Benzinmotoren werden potentiometrische Lambda-Sonden eingesetzt. Der Arbeitsweise potenti-
- 4 ometrischer Sensoren liegt das Nernst-Sonde-Prinzip und somit die Nernstsche Gleichung
- 6 zugrunde. Es wird stromlos das Potential zwischen einer Referenz- und einer Mes-
- 8 selektrode gemessen. Bei der Lambda-Sonde wird der gasundurchlässige elektronen-
- 10 leitende Elektrolyt so eingesetzt, dass er Abgas (Messraum) und Umgebungsluft (Refe-
- 12 renzumgebung), in denen unterschiedliche Sauerstoffpartialdrücke herrschen, voneinan-
- 14 der trennt. Als Elektroden werden auf beiden Seiten blockierende Elektroden aus Platin
- 16 verwendet. Durch das Nichtgleichgewicht

Funktionsweise:

Reaktion findet räumlich getrennt statt

Triebkraft:

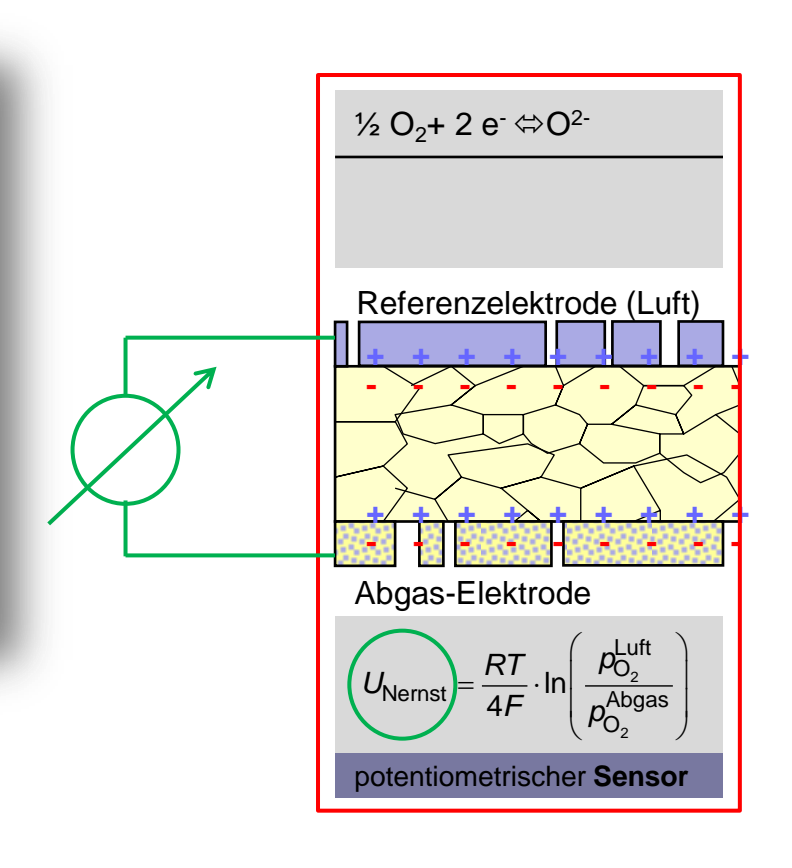
pO₂-Gradient

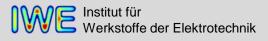




In der Abgassensorik moderner Benzinmotoren werden potentiometrische Lambda-Sonden eingesetzt. Der Arbeitsweise potenti-

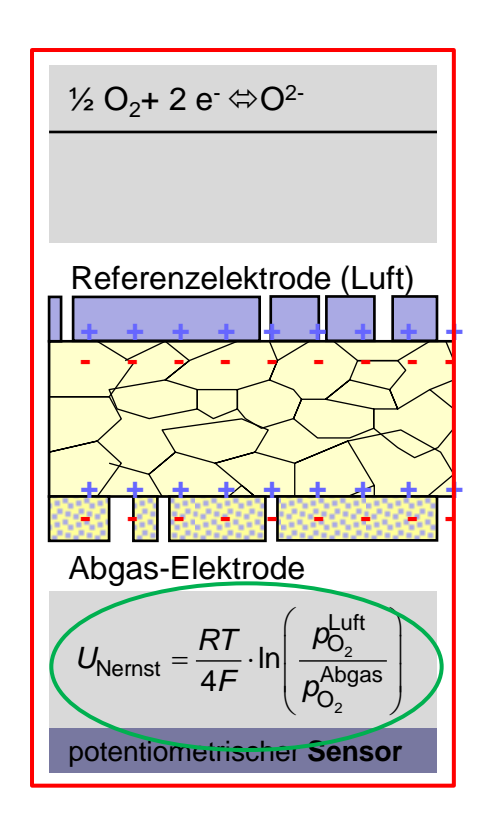
- 4 ometrischer Sensoren liegt das Nernst-Sonde-Prinzip und somit die Nernstsche Gleichung
- 6 zugrunde. Es wird stromlos das Potential zwischen einer Referenz- und einer Mes-
- 8 selektrode gemessen. Bei der Lambda-Sonde wird der gasundurchlässige elektronen-
- 10 leitende Elektrolyt so eingesetzt, dass er Abgas (Messraum) und Umgebungsluft (Refe-
- 12 renzumgebung), in denen unterschiedliche Sauerstoffpartialdrücke herrschen, voneinan-
- 14 der trennt. Als Elektroden werden auf beiden Seiten blockierende Elektroden aus Platin
- 16 verwendet. Durch das Nichtgleichgewicht







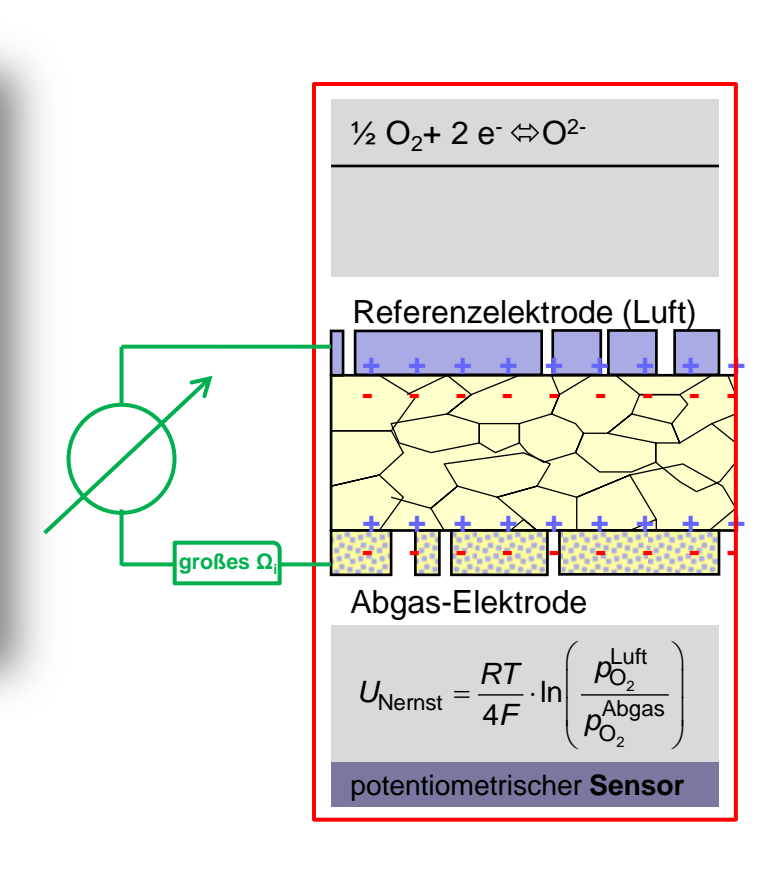
- In der Abgassensorik moderner Benzinmotoren werden potentiometrische Lambda-Sonden eingesetzt. Der Arbeitsweise potenti-
- 4 ometrischer Sensoren liegt das Nernst-Sonde-Prinzip und somit die Nernstsche Gleichung
- 6 zugrunde. Es wird stromlos das Potential zwischen einer Referenz- und einer Mes-
- 8 selektrode gemessen. Bei der Lambda-Sonde wird der gasundurchlässige elektronen-
- 10 leitende Elektrolyt so eingesetzt, dass er Abgas (Messraum) und Umgebungsluft (Refe-
- 12 renzumgebung), in denen unterschiedliche Sauerstoffpartialdrücke herrschen, voneinan-
- 14 der trennt. Als Elektroden werden auf beiden Seiten blockierende Elektroden aus Platin
- 16 verwendet. Durch das Nichtgleichgewicht

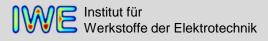




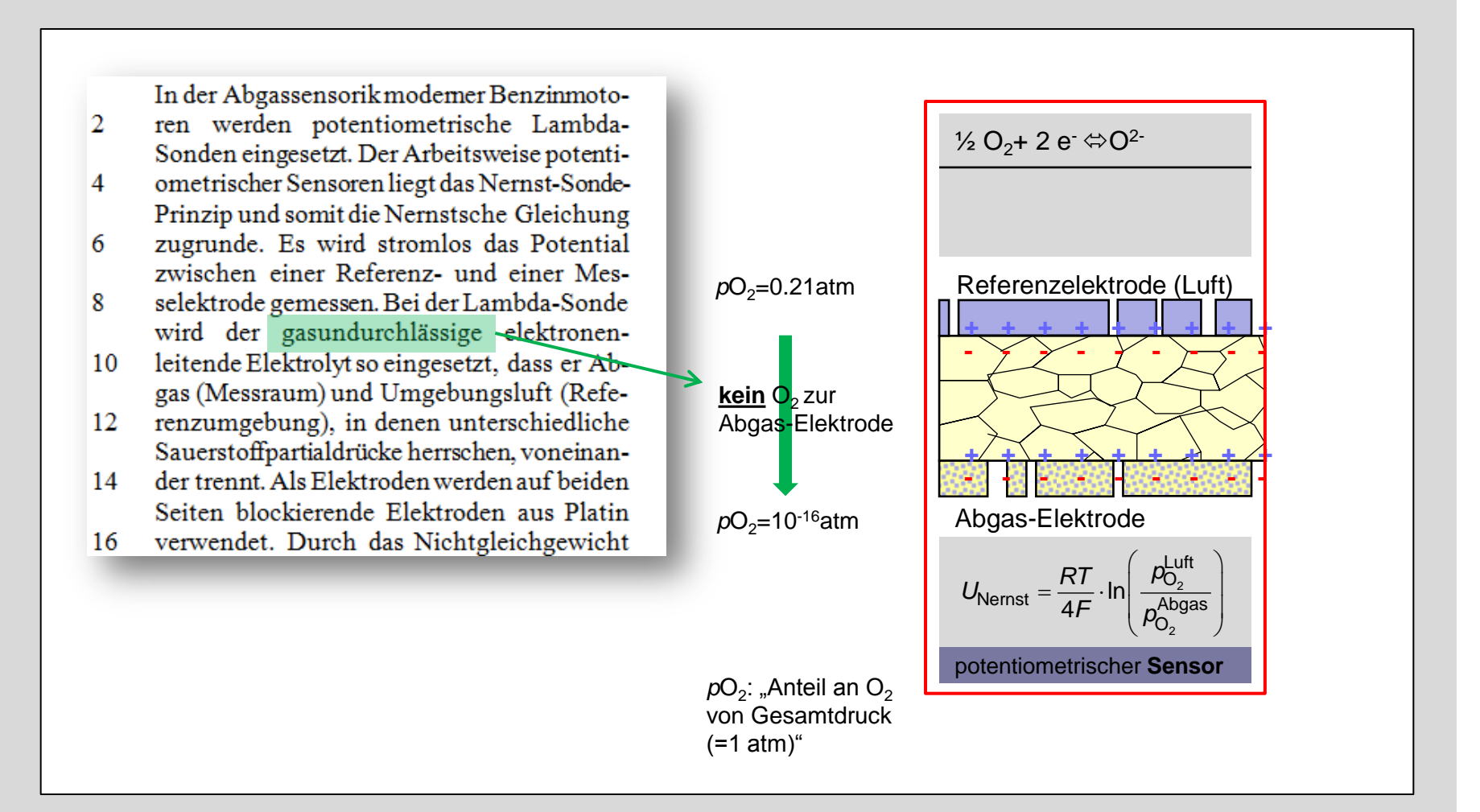
In der Abgassensorik modemer Benzinmotoren werden potentiometrische Lambda-Sonden eingesetzt. Der Arbeitsweise potenti-

- 4 ometrischer Sensoren liegt das Nernst-Sonde-Prinzip und somit die Nernstsche Gleichung
- 6 zugrunde. Es wird stromlos das Potential zwischen einer Referenz- und einer Mes-
- 8 selektrode gemessen. Bei der Lambda-Sonde wird der gasundurchlässige elektronen-
- 10 leitende Elektrolyt so eingesetzt, dass er Abgas (Messraum) und Umgebungsluft (Refe-
- 12 renzumgebung), in denen unterschiedliche Sauerstoffpartialdrücke herrschen, voneinan-
- 14 der trennt. Als Elektroden werden auf beiden Seiten blockierende Elektroden aus Platin
- 16 verwendet. Durch das Nichtgleichgewicht





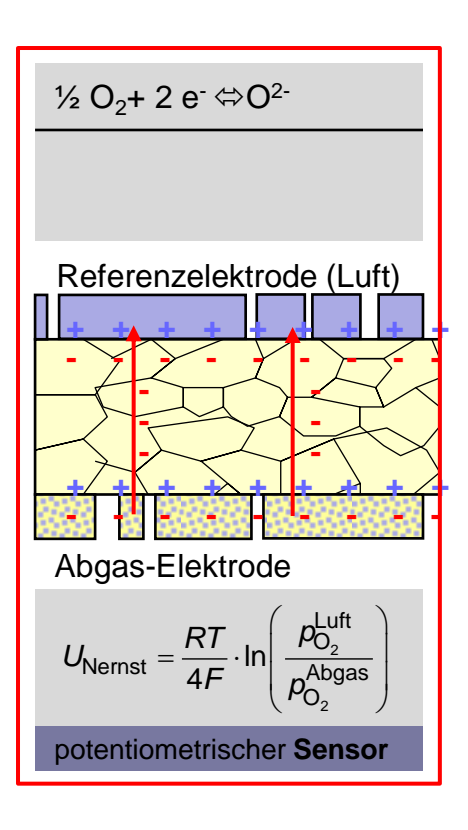






- In der Abgassensorik moderner Benzinmotoren werden potentiometrische Lambda-Sonden eingesetzt. Der Arbeitsweise potenti-
- 4 ometrischer Sensoren liegt das Nernst-Sonde-Prinzip und somit die Nernstsche Gleichung
- 6 zugrunde. Es wird stromlos das Potential zwischen einer Referenz- und einer Mes-
- 8 selektrode gemessen. Bei der Lambda-Sonde wird der gasundurchlässige elektronen-
- 10 leitende Elektrolyt so eingesetzt, dass er Abgas (Messraum) und Umgebungsluft (Refe-
- 12 renzumgebung), in denen unterschiedliche Sauerstoffpartialdrücke herrschen, voneinan-
- 14 der trennt. Als Elektroden werden auf beiden Seiten blockierende Elektroden aus Platin
- 16 verwendet. Durch das Nichtgleichgewicht

interner Kurzschluss! → Abbau des Nernst-Potentials

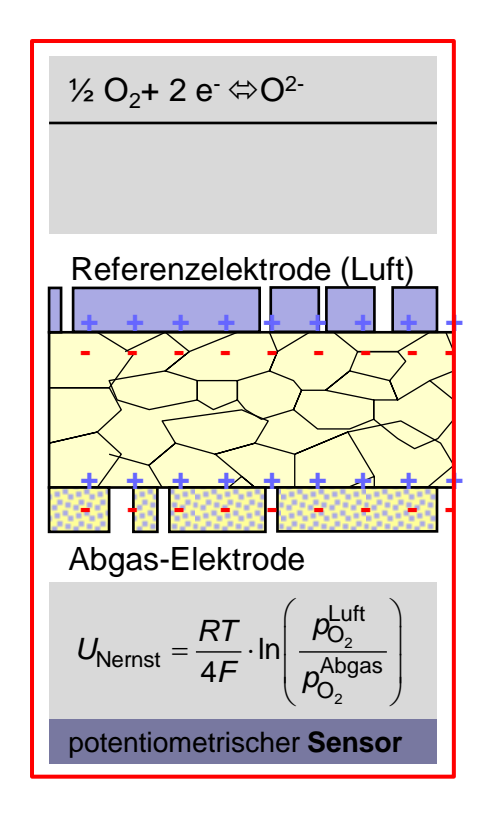




- In der Abgassensorik moderner Benzinmotoren werden potentiometrische Lambda-Sonden eingesetzt. Der Arbeitsweise potenti-
- 4 ometrischer Sensoren liegt das Nernst-Sonde-Prinzip und somit die Nernstsche Gleichung
- 6 zugrunde. Es wird stromlos das Potential zwischen einer Referenz- und einer Mes-
- 8 selektrode gemessen. Bei der Lambda-Sonde wird der gasundurchlässige elektronen-
- 10 leitende Elektrolyt so eingesetzt, dass er Abgas (Messraum) und Umgebungsluft (Refe-
- 12 renzumgebung), in denen unterschiedliche Sauerstoffpartialdrücke herrschen, voneinan-
- 14 der trennt. Als Elektroden werden auf beiden Seiten blockierende Elektroden aus Platin
- 16 verwendet. Durch das Nichtgleichgewicht

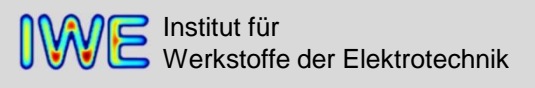
 $pO_2 = 0.21$ atm

 $pO_2 = 10^{-16}$ atm





Gas / el. /ion. In der Abgassensorik moderner Benzinmoto-**Reaktion muss** ren werden potentiometrische Lambdastattfinden $\frac{1}{2}$ O₂+ 2 e⁻ \Leftrightarrow O²⁻ Sonden eingesetzt. Der Arbeitsweise potentikönnen! ometrischer Sensoren liegt das Nernst-Sonde-Prinzip und somit die Nernstsche Gleichung zugrunde. Es wird stromlos das Potential 6 Dreiphasengrenze zwischen einer Referenz- und einer Mes-Referenzelektrode (Luft) (Gas/el./ion.) nötig selektrode gemessen. Bei der Lambda-Sonde für die Reaktion! wird der gasundurchlässige elektronenleitende Elektrolyt so eingesetzt, dass er Abblockierend = gas (Messraum) und Umgebungsluft (Refekeine Gasphase renzumgebung), in denen unterschiedliche vorhanden Sauerstoffpartialdrücke herrschen, voneinander trennt. Als Elektroden werden auf beiden Seiten blockierende Elektroden aus Platin Abgas-Elektrode verwendet. Durch das Nichtgleichgewicht $U_{\text{Nernst}} = \frac{RT}{4F} \cdot \ln \left(\frac{p_{O_2}^{\text{Luft}}}{p_{O_2}^{\text{Abgas}}} \right)$ potentiometrischer Sensor

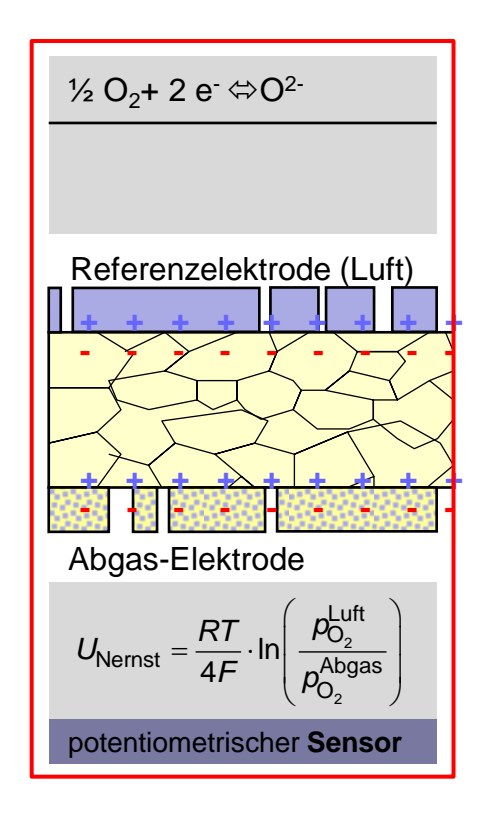




Zusammenfassend:

Z.10 blockierende Elektroden ist falsch, es werden Gasdiffusionselektroden verwendet

Z. 15 ionenleitender Elektrolyt statt elektronenleitender Elektrolyt





- 16 verwendet. Durch das Nichtgleichgewicht der chemischen Potentiale zwischen Abgas-
- 18 seite und Umgebungsluftseite bauen sich an den Grenzschichten zwischen den Pt-
- 20 Elektroden und dem Festelektrolyten Ladungsansammlungen (Ladungsdoppel-
- 22 schichten) auf.

Da durch den Elektrolyten keine Elektronen 24 zum Ladungsausgleich fließen können, baut sich ein elektrisches Feld auf, das der Diffusion der O²⁻-Ionen entgegenwirkt. Das elektrische Feld erzeugt eine Spannung *UNermst*, die 28 über die Pt-Elektroden an beiden Seiten des Festelektrolyten abgegriffen werden kann. 30

$$U_{Nerrest} = \frac{RT}{2F} \ln \left(\frac{\sqrt{p_{O_2}^{Luft}}}{\sqrt{p_{O_2}^{Abgax}}} \right)$$

Die Spannung U_{Nernst} ist von der Temperatur und den Sauerstoffpartialdrücken auf Abgasund Umgebungsluftseite abhängig.

chemisches Potential µ

- → Unterschiedliche Stoffmenge O₂ (pO₂)
- → führt zu Diffusion

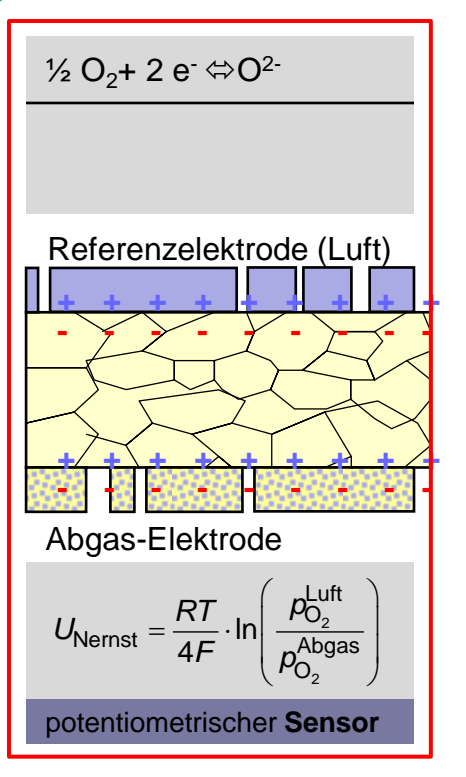
$$pO_2 = 0.21atm$$



Nichtgleichgewicht: Kathode ↔ Anode



$$pO_2 = 10^{-16}$$
atm





- 16 verwendet. Durch das Nichtgleichgewicht der chemischen Potentiale zwischen Abgas-
- 18 seite und Umgebungsluftseite bauen sich an den Grenzschichten zwischen den Pt-
- 20 Elektroden und dem Festelektrolyten Ladungsansammlungen (Ladungsdoppel-
- 22 schichten) auf.

Da durch den Elektrolyten keine Elektronen 24 zum Ladungsausgleich fließen können, baut sich ein elektrisches Feld auf, das der Diffusion der O²⁻-Ionen entgegenwirkt. Das elektrische Feld erzeugt eine Spannung *UNemst*, die 28 über die Pt-Elektroden an beiden Seiten des Festelektrolyten abgegriffen werden kann. 30

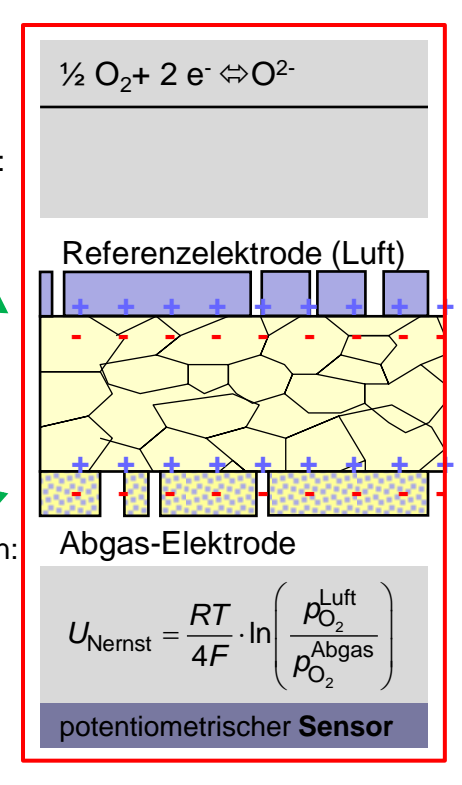
$$U_{Nerrest} = \frac{RT}{2F} \ln \left(\frac{\sqrt{p_{O_2}^{Luft}}}{\sqrt{p_{O_2}^{Abgax}}} \right)$$

Die Spannung U_{Nernst} ist von der Temperatur und den Sauerstoffpartialdrücken auf Abgasund Umgebungsluftseite abhängig.

O²-Einbau Reaktion: $\frac{1}{2}$ O₂ + 2 e- \rightarrow O²e- "hinterlässt" +

Ladungsansammlu ng vorhanden. Sie führen zur Spannung!

 O^{2-} Ausbau Reaktion: $O^{2-} \rightarrow \frac{1}{2} O_2 + 2 e^$ e- "bildet" -





- 16 verwendet. Durch das Nichtgleichgewicht der chemischen Potentiale zwischen Abgas-
- 18 seite und Umgebungsluftseite bauen sich an den Grenzschichten zwischen den Pt-
- 20 Elektroden und dem Festelektrolyten Ladungsansammlungen (Ladungsdoppel-
- 22 schichten) auf.

Da durch den Elektrolyten keine Elektronen 24 zum Ladungsausgleich fließen können, baut sich ein elektrisches Feld auf, das der Diffusion der O²⁻-Ionen entgegenwirkt. Das elektrische Feld erzeugt eine Spannung *UNermst*, die über die Pt-Elektroden an beiden Seiten des Festelektrolyten abgegriffen werden kann.

$$U_{Nerrest} = \frac{RT}{2F} \ln \left(\frac{\sqrt{p_{O_2}^{Luft}}}{\sqrt{p_{O_2}^{Abgac}}} \right)$$

Die Spannung U_{Nernst} ist von der Temperatur und den Sauerstoffpartialdrücken auf Abgasund Umgebungsluftseite abhängig.

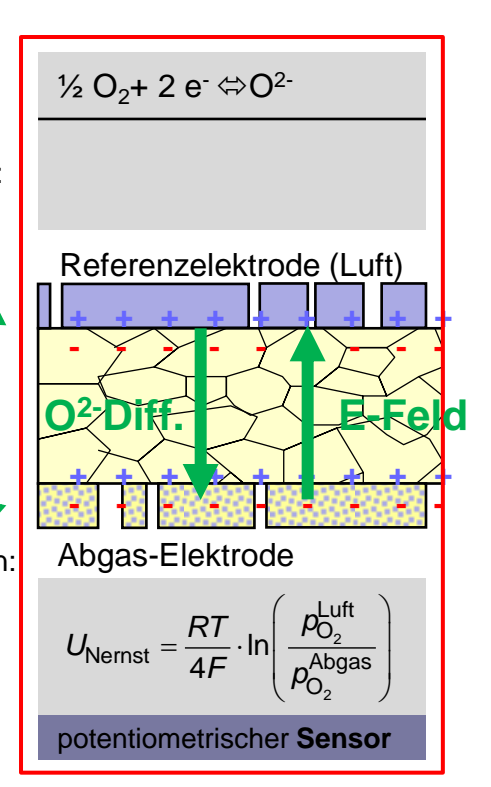
O²-Einbau Reaktion: $\frac{1}{2}$ O₂ + 2 e- \rightarrow O²e- "hinterlässt" +

Ladungsansammlu ng vorhanden. Sie führen zur Spannung!

 O^2 - Ausbau Reaktion: O^2 - $\rightarrow \frac{1}{2}O_2 + 2$ ee- "bildet" -

Vorstellung:

O²⁻ Ein-/Ausbau Reaktion bis GG erreicht!





- 16 verwendet. Durch das Nichtgleichgewicht der chemischen Potentiale zwischen Abgas-
- 18 seite und Umgebungsluftseite bauen sich an den Grenzschichten zwischen den Pt-
- 20 Elektroden und dem Festelektrolyten Ladungsansammlungen (Ladungsdoppel-
- 22 schichten) auf.

Da durch den Elektrolyten keine Elektronen 24 zum Ladungsausgleich fließen können, baut sich ein elektrisches Feld auf, das der Diffusion der O^{2-} -Ionen entgegenwirkt. Das elektrische Feld erzeugt eine Spannung U_{Nernst} , die über die Pt-Elektroden an beiden Seiten des Festelektrolyten abgegriffen werden kann.

$$U_{Nerret} = \frac{RT}{2F} \ln \left(\frac{\sqrt{p_{O_2}^{Luft}}}{\sqrt{p_{O_2}^{Abgac}}} \right)$$

Die Spannung U_{Nernst} ist von der Temperatur und den Sauerstoffpartialdrücken auf Abgasund Umgebungsluftseite abhängig.

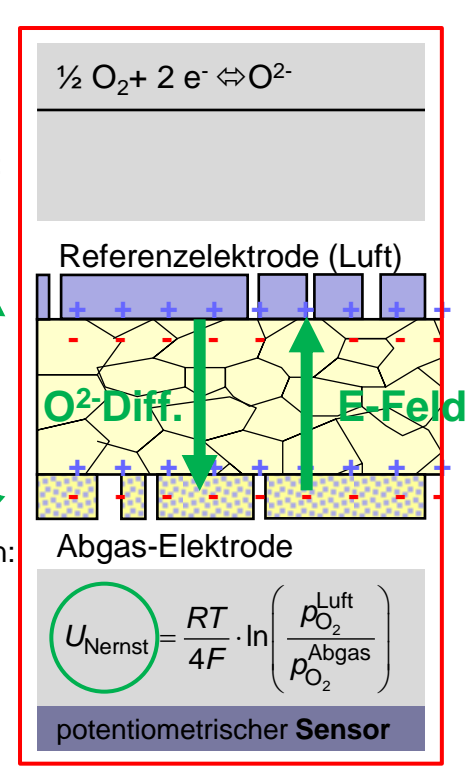
O²-Einbau Reaktion: ½ O₂ + 2 e- \rightarrow O²e- "hinterlässt" +

Ladungsansammlu ng vorhanden. Sie führen zur Spannung!

 O^2 - Ausbau Reaktion: O^2 - $\rightarrow \frac{1}{2}O_2 + 2$ ee- "bildet" -

Vorstellung:

O²⁻ Ein-/Ausbau Reaktion bis GG erreicht!



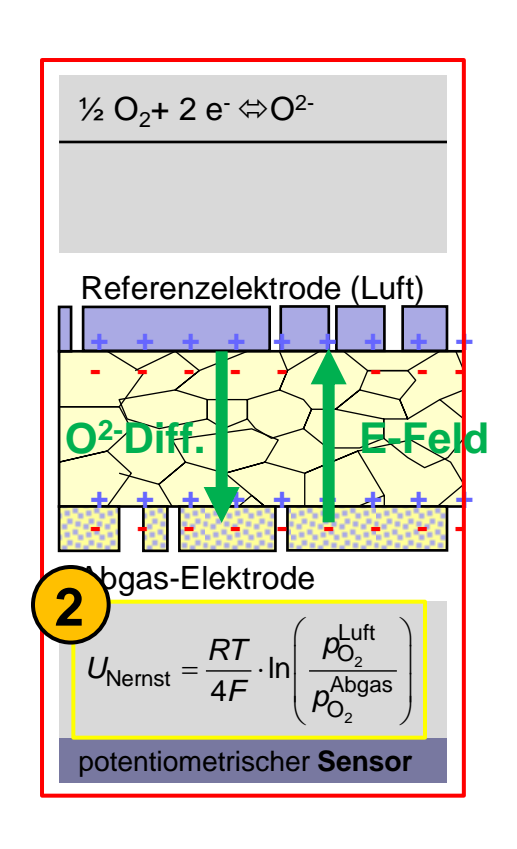


- 16 verwendet. Durch das Nichtgleichgewicht der chemischen Potentiale zwischen Abgas-
- 18 seite und Umgebungsluftseite bauen sich an den Grenzschichten zwischen den Pt-
- 20 Elektroden und dem Festelektrolyten Ladungsansammlungen (Ladungsdoppel-
- 22 schichten) auf.

Da durch den Elektrolyten keine Elektronen 24 zum Ladungsausgleich fließen können, baut sich ein elektrisches Feld auf, das der Diffusion der O²⁻-Ionen entgegenwirkt. Das elektrische Feld erzeugt eine Spannung *U*_{Nemst}, die über die Pt-Elektroden an beiden Seiten des

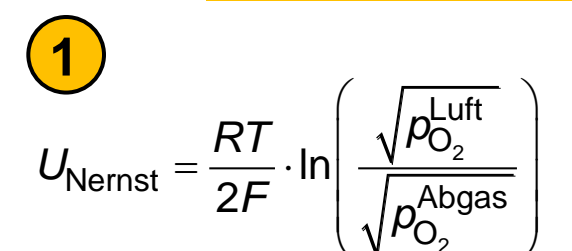
$$U_{Nerrest} = \frac{RT}{2F} \ln \left(\frac{\sqrt{p_{O_2}^{Luft}}}{\sqrt{p_{O_2}^{Abgcx}}} \right)$$

Die Spannung U_{Nernst} ist von der Temperatur und den Sauerstoffpartialdrücken auf Abgasund Umgebungsluftseite abhängig.





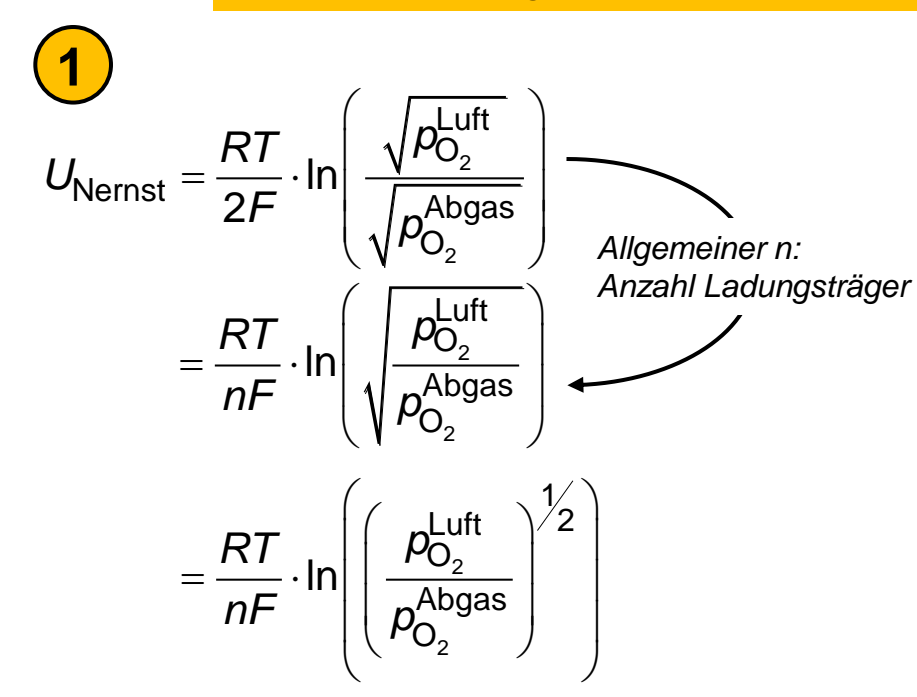
Klausur: Auch gewertet wurde Formel muss wie in 2 heißen



$$U_{\text{Nernst}} = \frac{RT}{4F} \cdot \ln \left(\frac{p_{O_2}^{\text{Luft}}}{p_{O_2}^{\text{Abgas}}} \right)$$



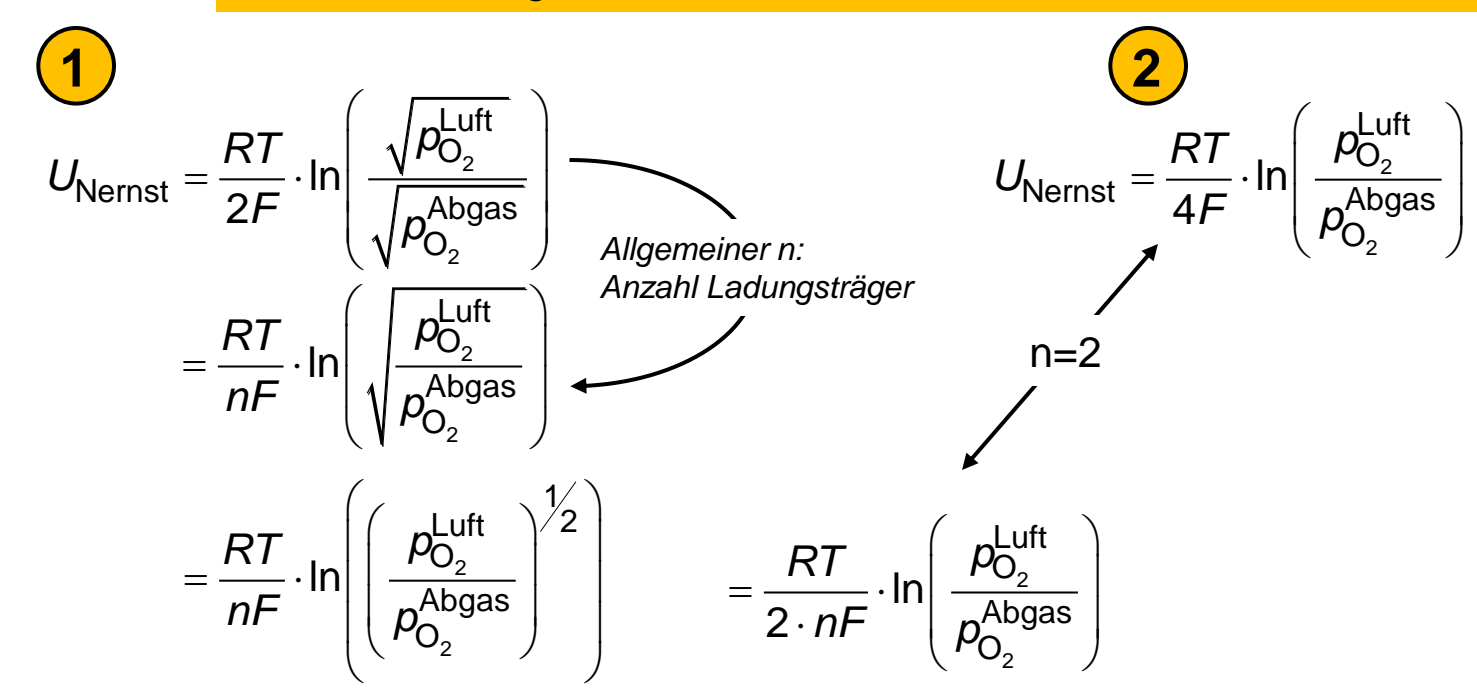
Klausur: Auch gewertet wurde Formel muss wie in 2 heißen



$$U_{\text{Nernst}} = \frac{RT}{4F} \cdot \ln \left(\frac{p_{\text{O}_2}^{\text{Luft}}}{p_{\text{O}_2}^{\text{Abgas}}} \right)$$



Klausur: Auch gewertet wurde Formel muss wie in 2 heißen



Ist die gleiche Formel!

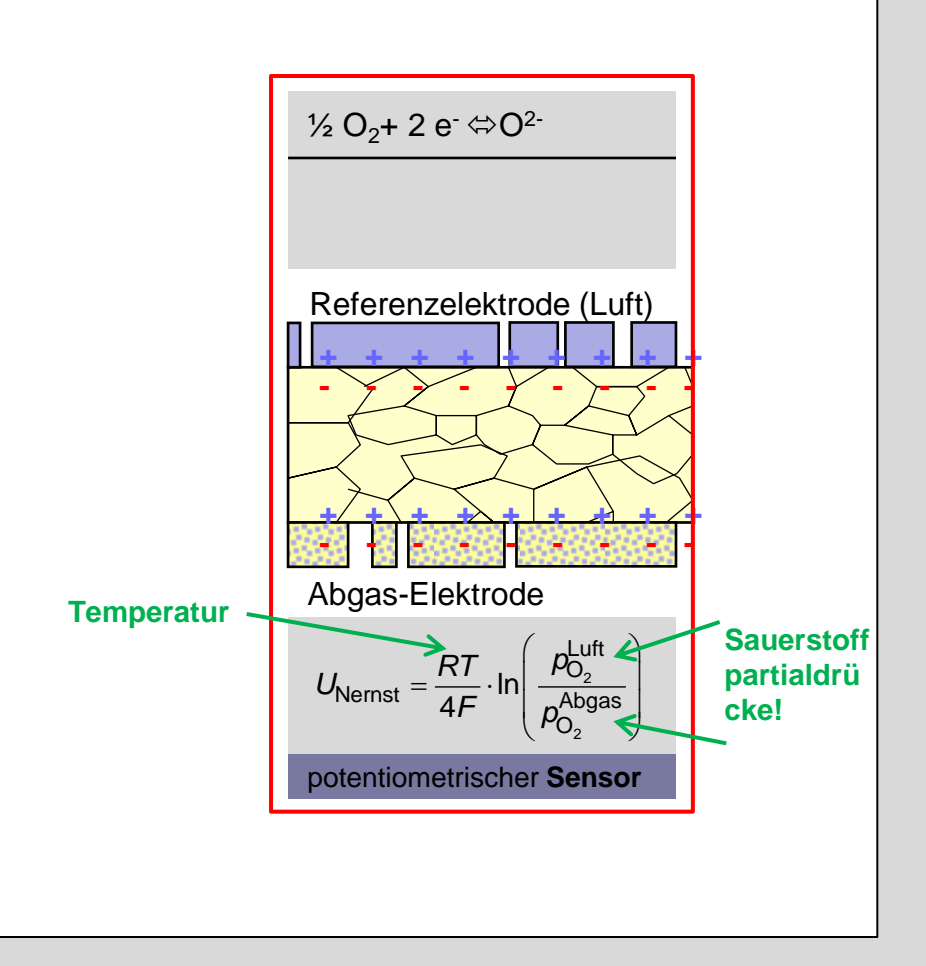


- 16 verwendet. Durch das Nichtgleichgewicht der chemischen Potentiale zwischen Abgas-
- 18 seite und Umgebungsluftseite bauen sich an den Grenzschichten zwischen den Pt-
- 20 Elektroden und dem Festelektrolyten Ladungsansammlungen (Ladungsdoppel-
- 22 schichten) auf.

Da durch den Elektrolyten keine Elektronen 24 zum Ladungsausgleich fließen können, baut sich ein elektrisches Feld auf, das der Diffusion der O²⁻-Ionen entgegenwirkt. Das elektrische Feld erzeugt eine Spannung *UNermst*, die über die Pt-Elektroden an beiden Seiten des Festelektrolyten abgegriffen werden kann.

$$U_{Nerrest} = \frac{RT}{2F} \ln \left(\frac{\sqrt{p_{O_2}^{Luft}}}{\sqrt{p_{O_2}^{Abgax}}} \right)$$

Die Spannung U_{Nernst} ist von der Temperatur und den Sauerstoffpartialdrücken auf Abgasund Umgebungsluftseite abhängig.





c) Welches Material wird für den Festelektrolyten der potentiometrischen Lambda-Sonde und beschreiben sie den dominanten Leitungsmechanismus? (1 Punkt)

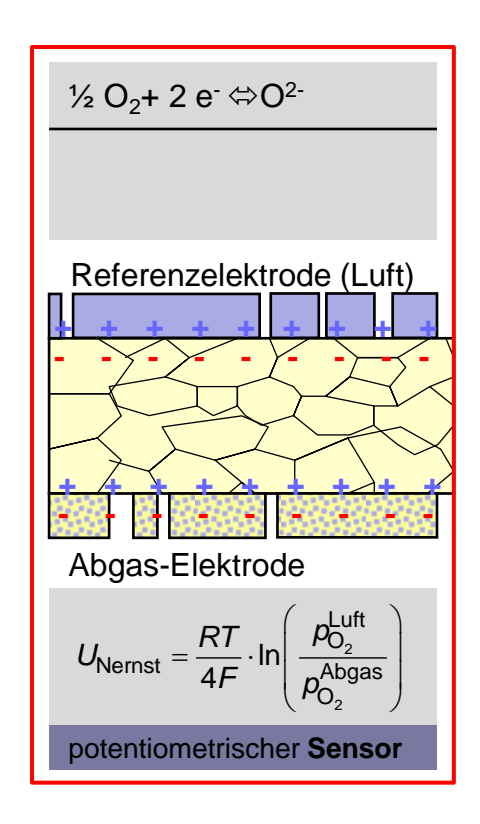


Material für Lambda-Sonde: "Welche Eigenschaften braucht es denn?"

ionenleitend

sehr schlecht elektronenleitend (sonst: Kurzschluss)

gasdicht





Material für Lambda-Sonde: "Welche Eigenschaften braucht es denn?"

ionenleitend

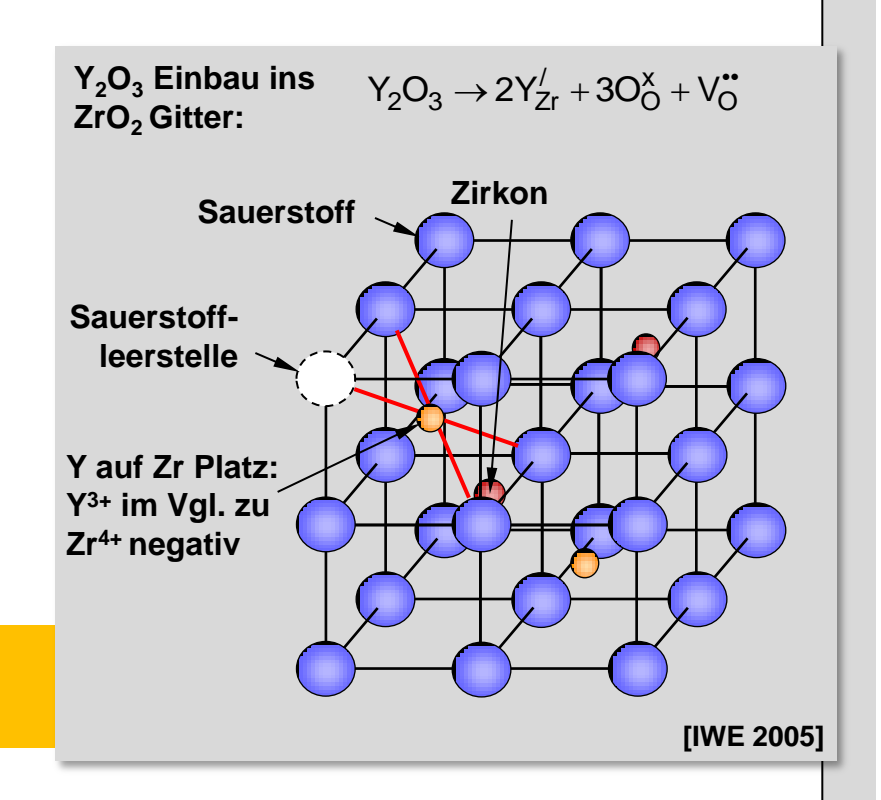
sehr schlecht elektronenleitend (sonst: Kurzschluss)

gasdicht

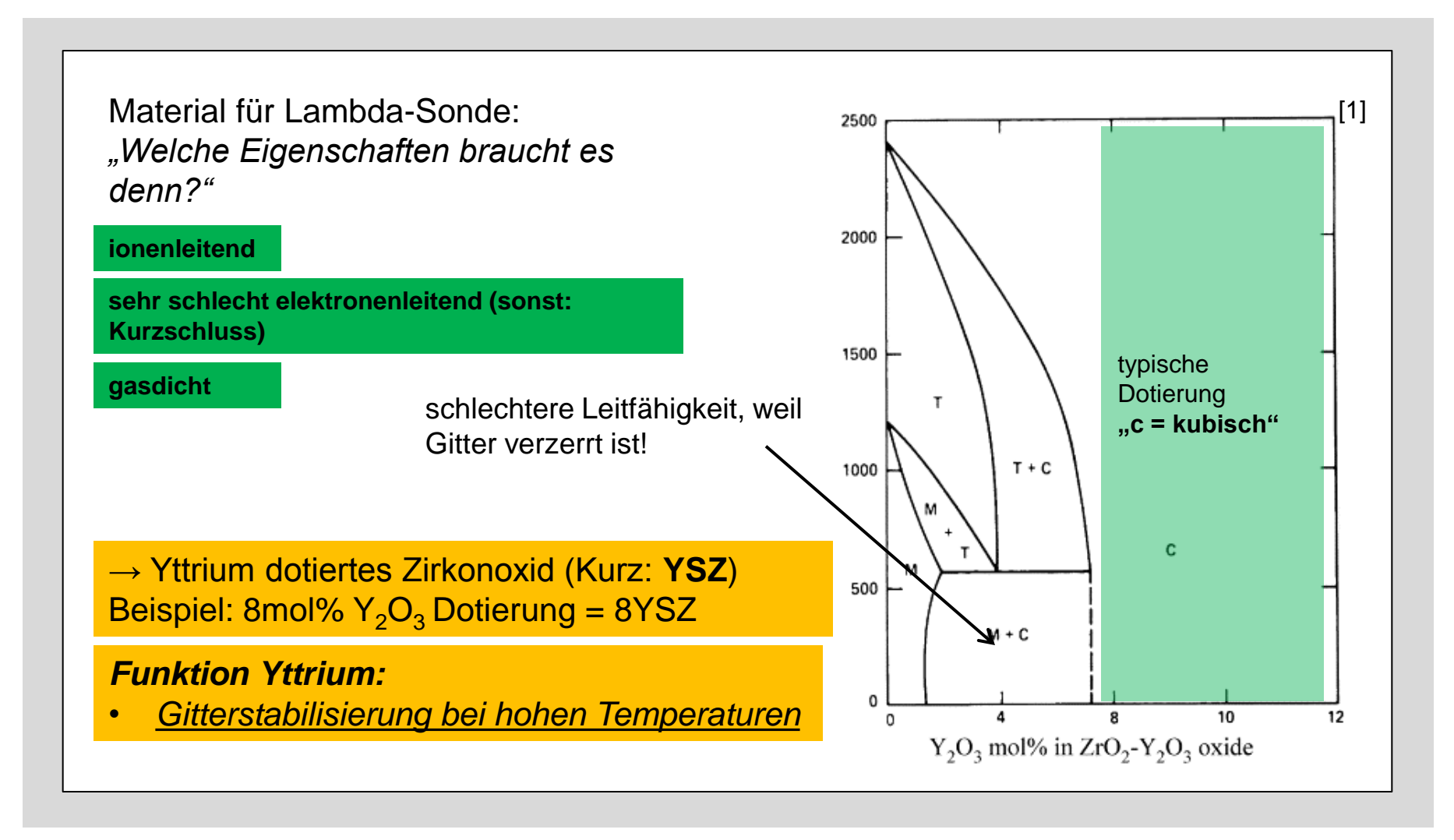
→ Yttrium dotiertes Zirkonoxid (Kurz: **YSZ**)
Beispiel: 8mol% Dotierung = 8YSZ

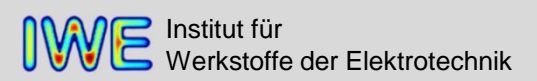
Funktion Yttrium:

• <u>Sauerstoffleerstellenerzeugung</u>

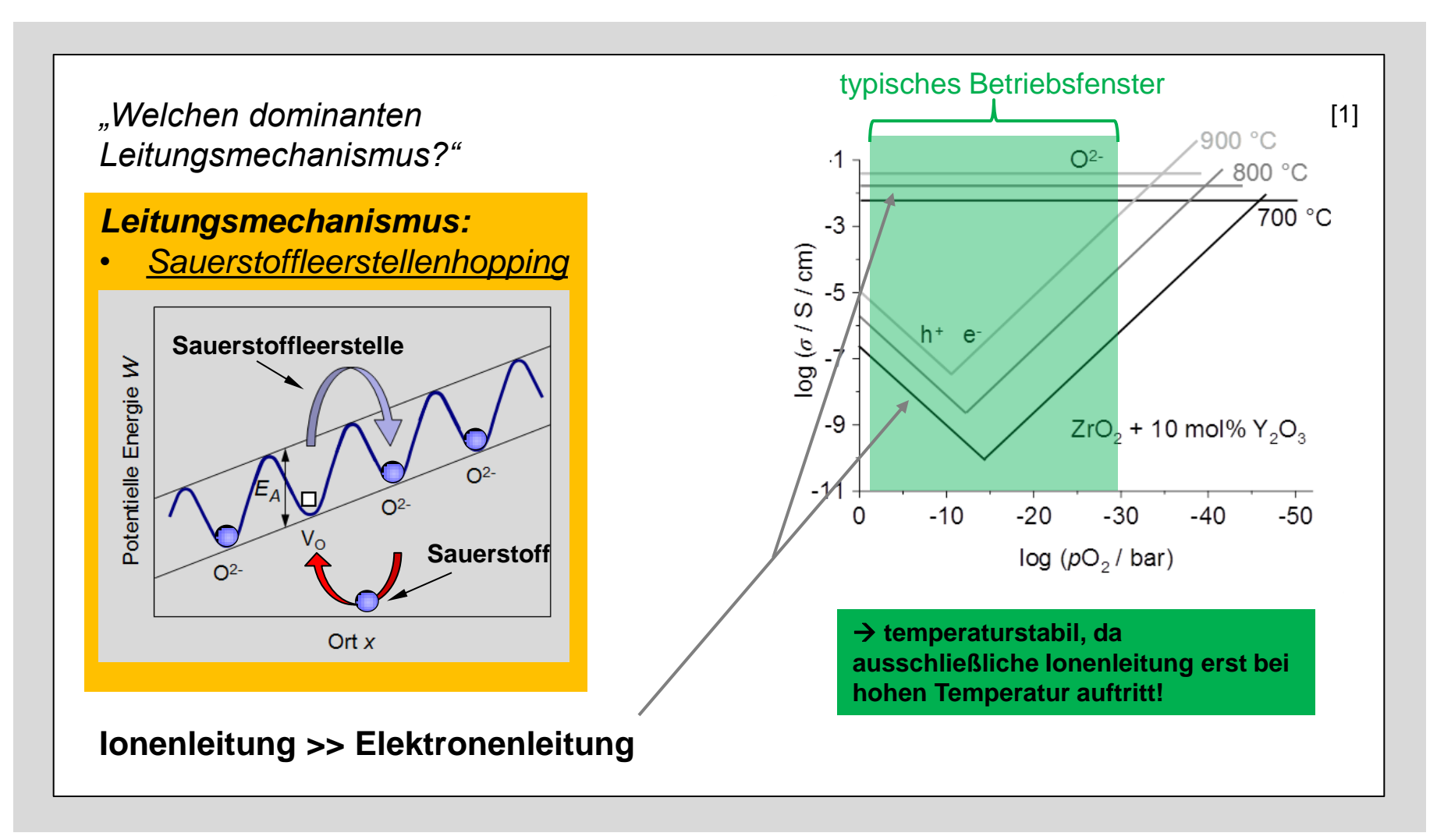


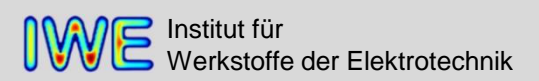








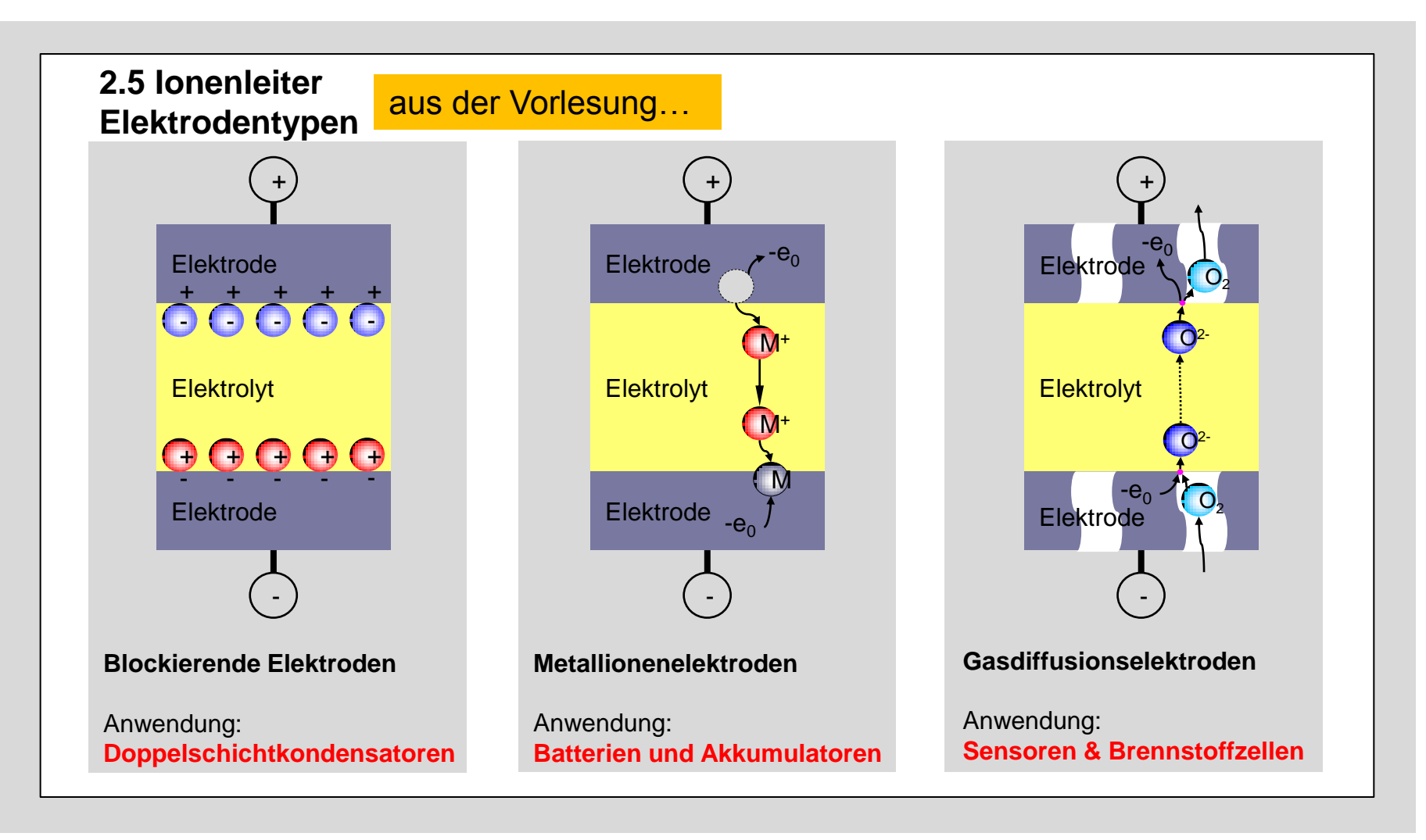




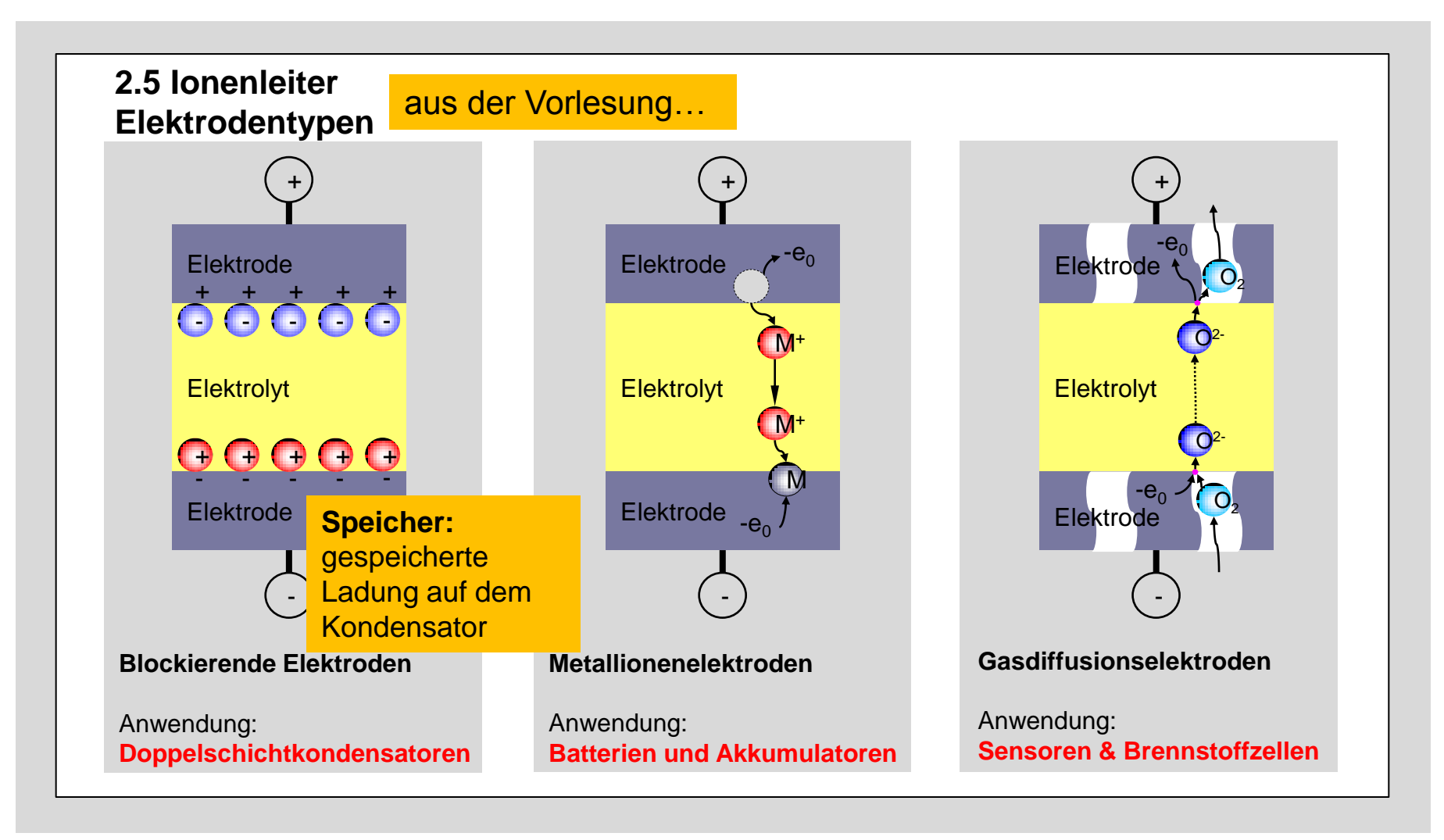


d) Wieso kann man beim Betrieb einer Hochtemperatur- Festelektrolyt- Brennstoffzelle (SOFC) auch vom 'Entladen' der Zelle sprechen und was würde beim 'Ladevorgang' in der SOFC passieren?

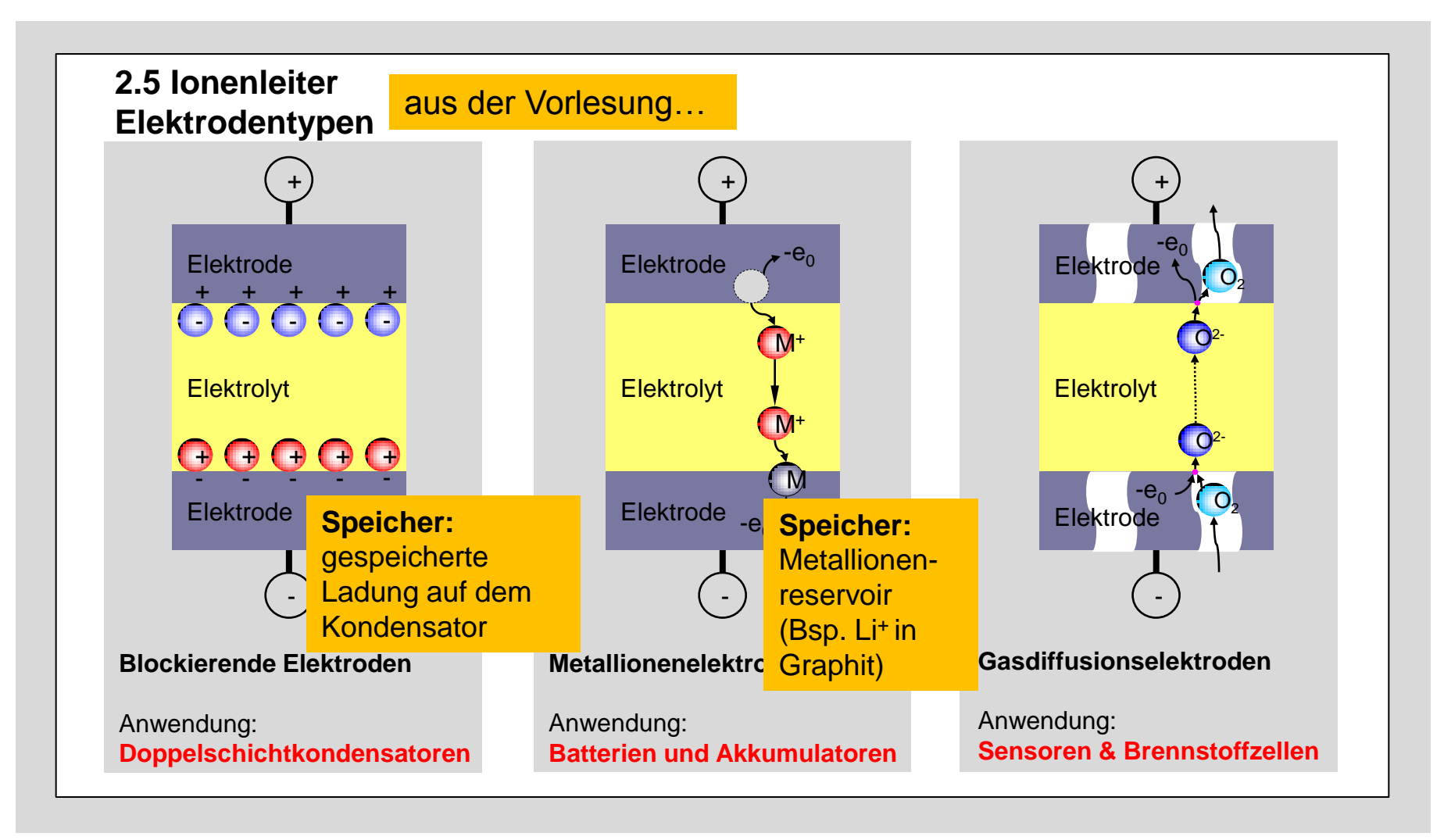




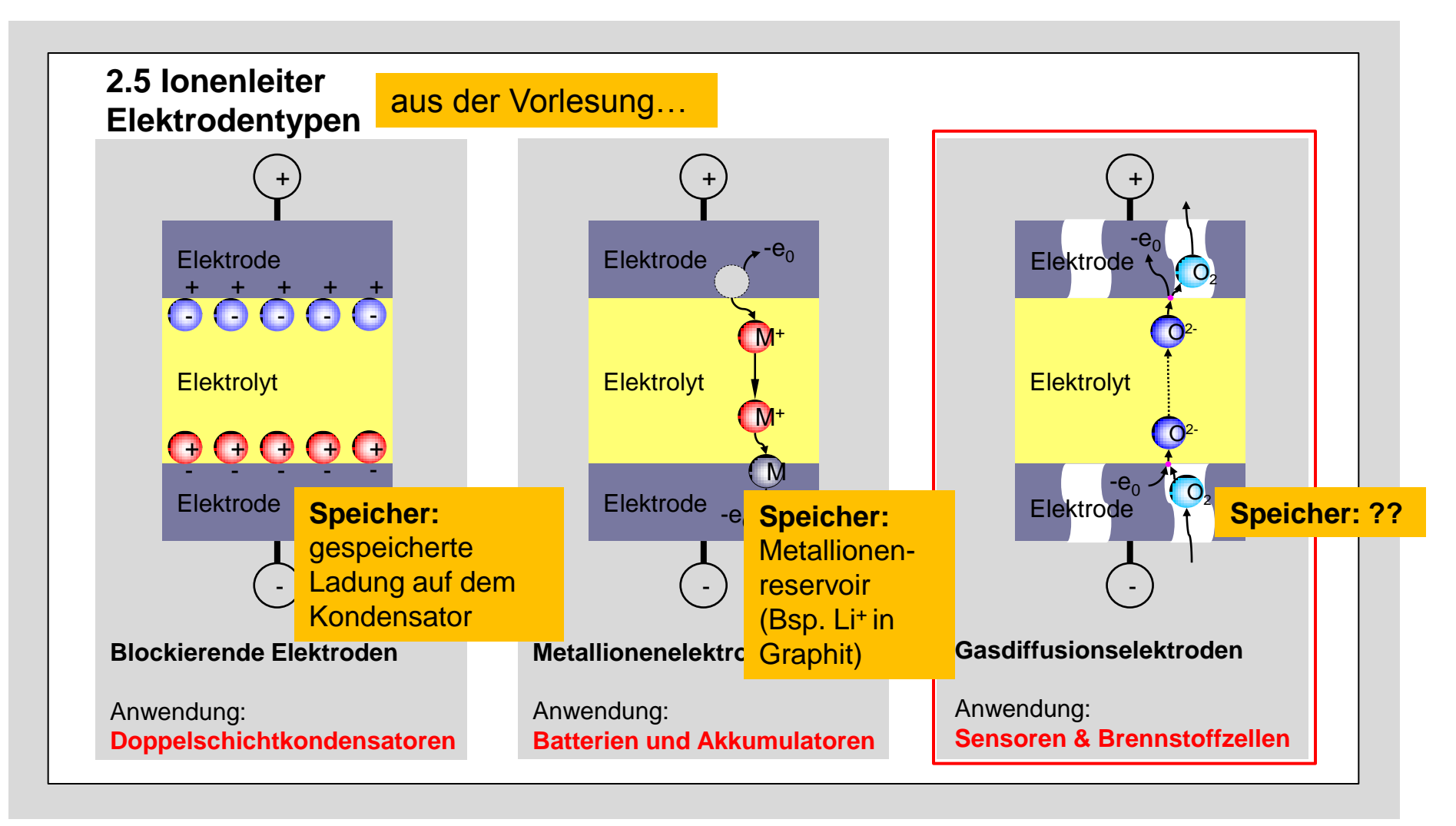




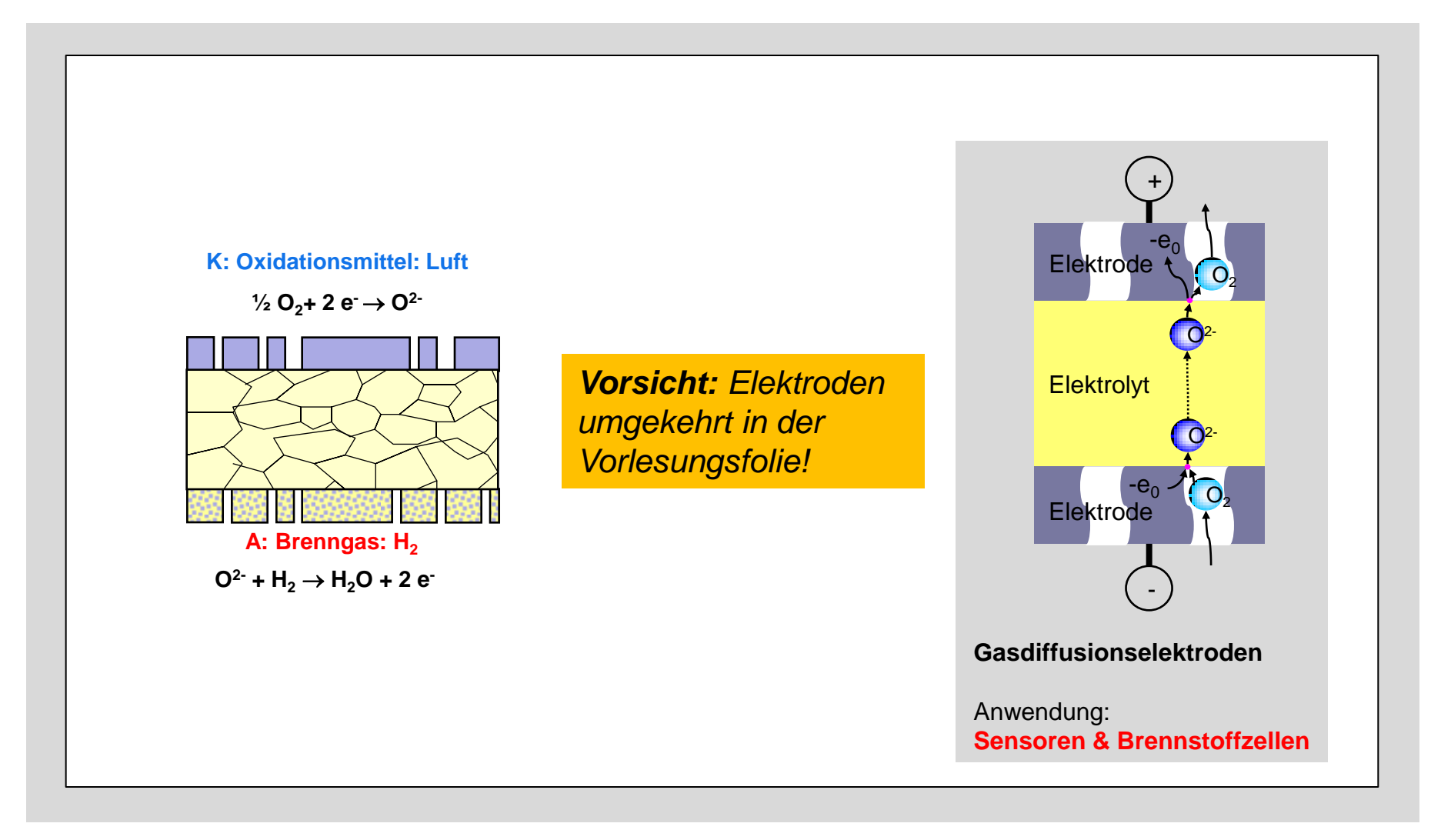




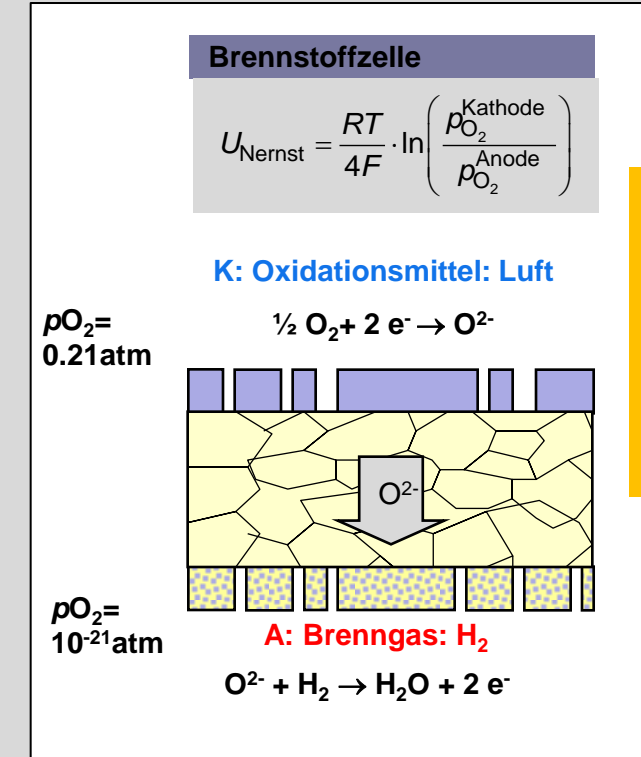








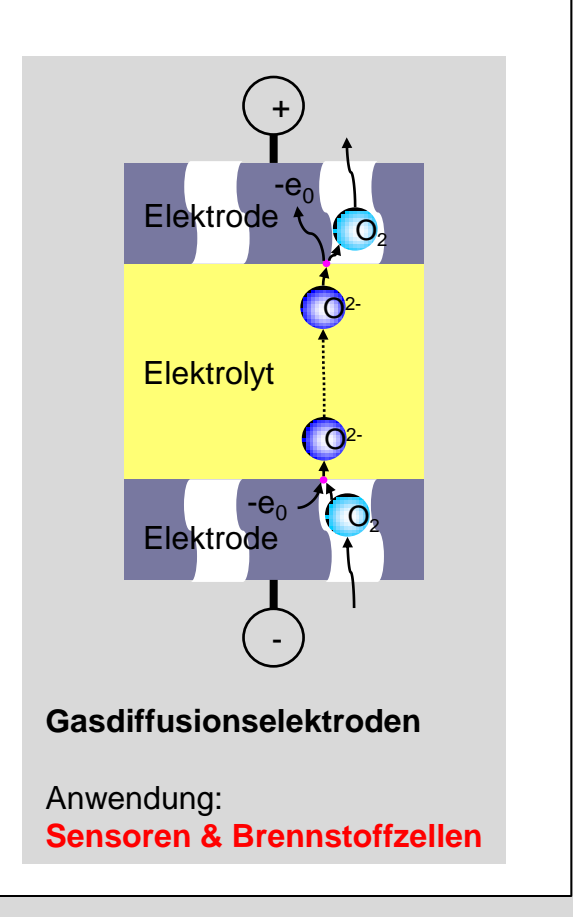




Speicher = H_2 Brenngas

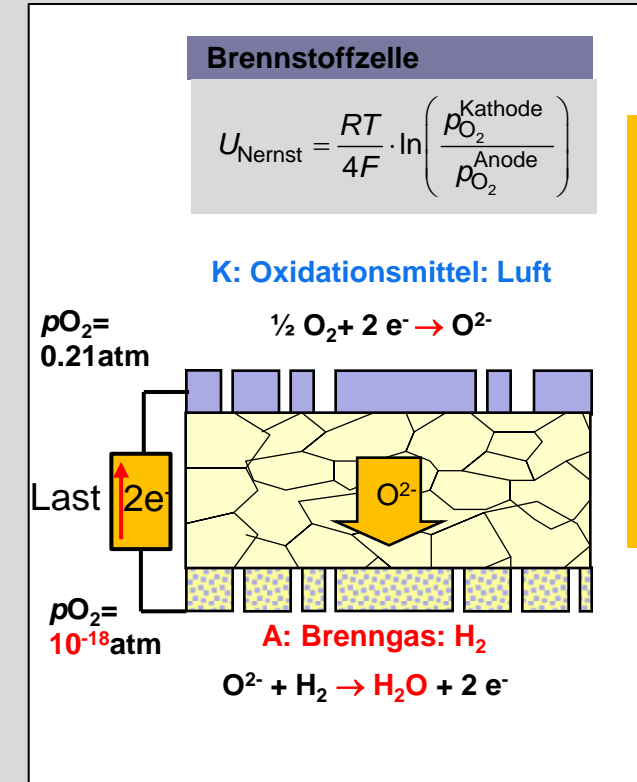
Brenngas sorgt für niedrigen pO_2 (10⁻²¹atm)

- = treibende Kraft!
- → Muss aber <u>ständig</u> <u>zugeführt werden.</u>



pO₂: "Anteil an O₂ von Gesamtdruck (=1 atm)"

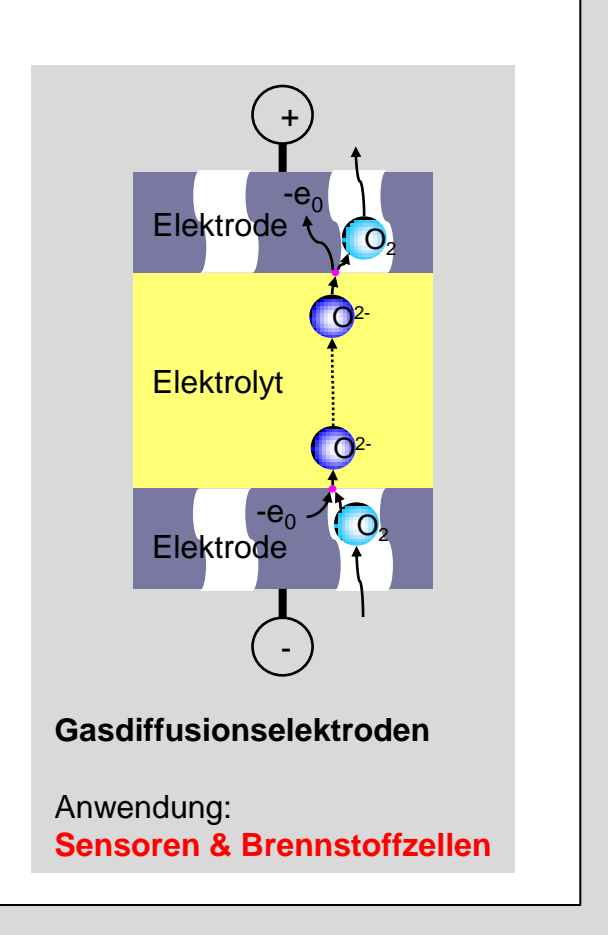




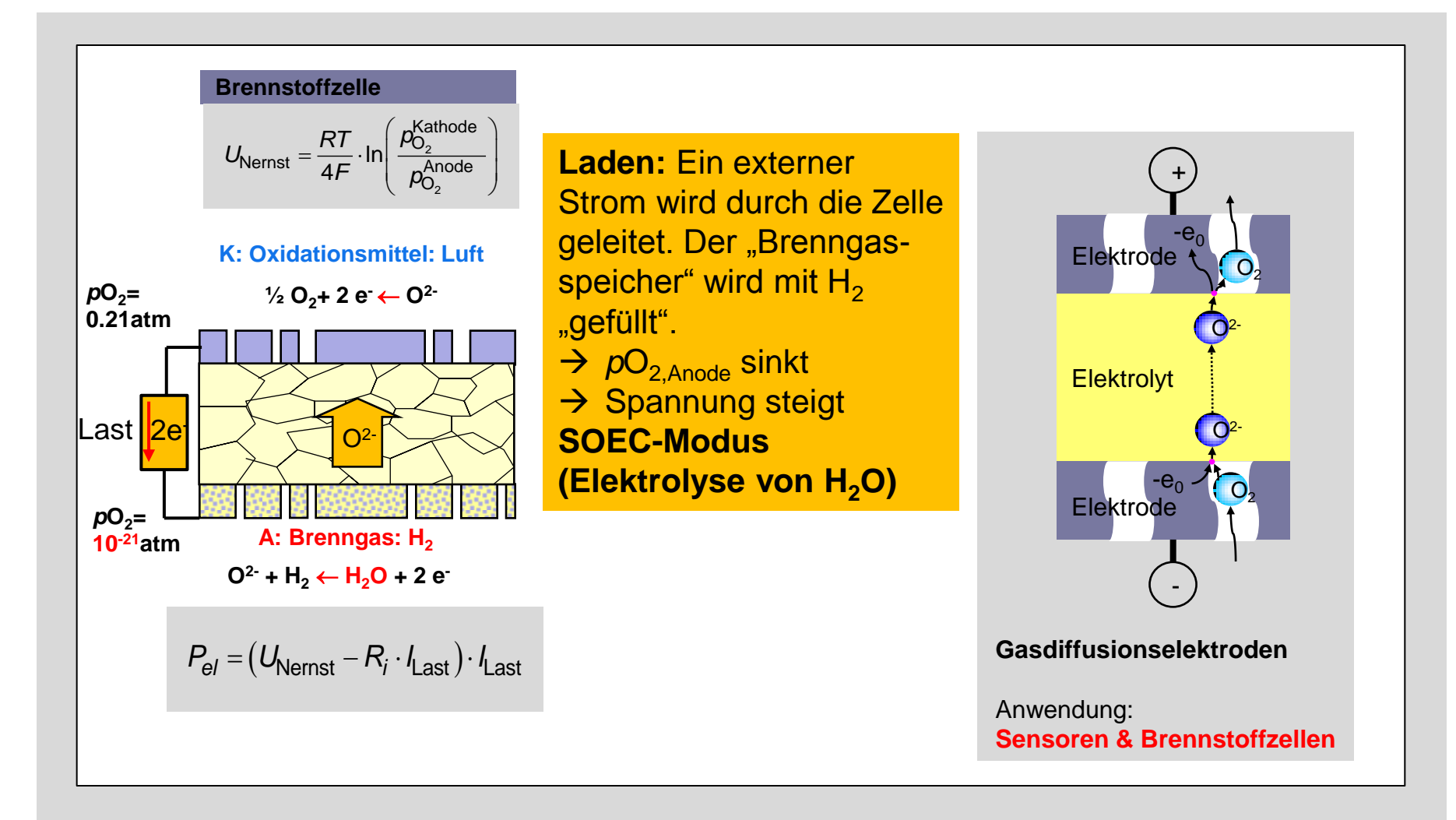
Entladen: Man führt einen Strom über die Last. Im Gasraum wird Brenngas verbraucht und H₂O entsteht.

- → pO₂ steigt
- → Spannung fällt

SOFC-Betrieb





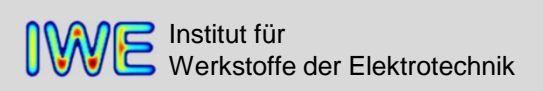




d) Wieso kann man beim Betrieb einer Hochtemperatur- Festelektrolyt- Brennstoffzelle (SOFC) auch vom 'Entladen' der Zelle sprechen und was würde beim 'Ladevorgang' in der SOFC passieren?

Entladen: Strom kann genutzt werden. Brenngas = H₂ wird verbraucht und der Speicher muss permanent befüllt werden (H₂ Gasfluss). **SOFC**

Laden: Strom wird auf die Zelle geprägt. Im Gasraum wird Brenngas = H₂ wird erzeugt und der "Speicher" füllt sich. Das ist als Elektrolyse von Wasser bekannt. **SOEC**





Zusammenfassung:

Funktionsweise (lonenleiter)

Lambda-Sonde

Brennstoffzelle (SOFC)

Document of the policy of the poli



Materialeigenschaften (Yttrium dotiertes Zirkonoxid YSZ)

Brennstoffzelle (SOFC) O²⁻ - <u>nur</u> ionenleitend, hochtemperaturstabil, gasdicht



Brennstoffzelle (SOFC)

Wie: Lambda-Sonde
$$U_{Nernst} = \frac{RT}{4F} \cdot ln \left(\frac{p_{O_2}^{Luft}}{p_{O_2}^{Abgas \to Brenngas}} \right)$$
 Brennstoffzelle (SOFC) $P_{el} = \left(U_{Nernst} - \underline{P_i \cdot I_{Last}} \right) \cdot I_{Last}$

$$P_{el} = (U_{Nernst} - R_i \cdot I_{Last}) \cdot I_{Last}$$



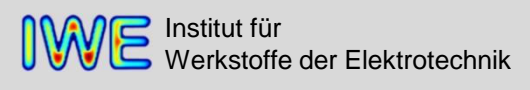
Innere Verluste (R_i) senken die nutzbare Zellspannung.

Brennstoffzelle (SOFC)

Kann als "Batterie verstanden werden", wobei der Speicher (H₂-Brenngas) ständig befüllt wird

Entladen: SOFC – Stromerzeugung aus H₂-Brenngas

Laden: SOEC – Elektrolyse = H₂-Brenngaserzeugung mit Strom aus H₂O



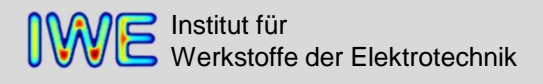


A2: Dielektrika

a) Nennen Sie drei dielektrische Polarisationsmechanismen und ordnen Sie diese nach steigender Resonanz- bzw. Relaxationsfrequenz des Ausfallmechanismus. (1 Punkt)



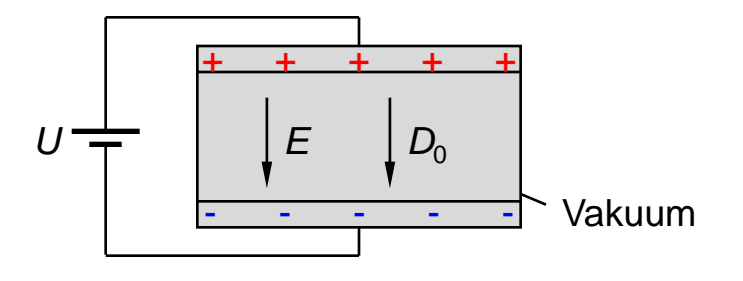
Dielektrika





Motivation

Kondensator ohne Dielektrika



D Verschiebungsdichte ist die **Ladung Q** pro Fläche, die nach Anlegen eines elektrischen **Felds E** auf die Platten verschoben wird.

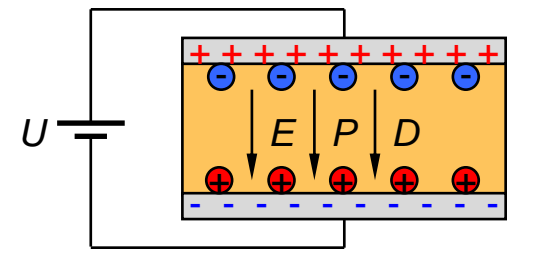
$$\vec{D} = \varepsilon_0 \cdot \vec{E}$$



Verschiebungsdichte: Allgemeiner

Verschiebungsdichte in Materie (allg.)

$$D = \varepsilon_0 \cdot E + P$$



polarisierbares P Medium*

$$P = \varepsilon_0 \cdot \chi_e \cdot E$$

 $\chi_{\rm e}$: elektrische Suszeptibilität "zeigt an wie 'gut' das Polarisieren geht"

"Polarisieren eines Mediums heißt, dass ein außen angelegtes E-Feld im Dielektrikum Ladungen derart verschiebt, dass sich lokal + und – Pole bilden (vgl. Dipol)." "Diese lokalen + und – Pole (vgl. Dipol) schwächen das äußere E-Feld. "

mit polarisierbarem P Medium $\varepsilon_r > 1$



Verschiebungsdichte: Allgemeiner

Verschiebungsdichte in Materie (allg.)

$$D = \varepsilon_0 \cdot E + P$$

einsetzen von P

$$D = \varepsilon_0 \cdot E + \varepsilon_0 \cdot \chi_e \cdot E$$

ausklammern

$$= \varepsilon_0 \cdot E(1 + \chi_e)$$

polarisierbares P Medium*

$$P = \varepsilon_0 \cdot \chi_e \cdot E$$

 $\chi_{\rm e}$: elektrische Suszeptibilität "zeigt an wie 'gut' das Polarisieren geht"

"Polarisieren eines Mediums heißt, dass ein außen angelegtes E-Feld im Dielektrikum Ladungen derart verschiebt, dass sich lokal + und – Pole bilden (vgl. Dipol)." "Diese lokalen + und – Pole (vgl. Dipol) schwächen das äußere E-Feld. "

mit polarisierbarem P Medium $\varepsilon_r > 1$



Verschiebungsdichte: Allgemeiner

Verschiebungsdichte in Materie (allg.)

$$D = \varepsilon_0 \cdot E + P$$

einsetzen von P

$$D = \varepsilon_0 \cdot E + \varepsilon_0 \cdot \chi_e \cdot E$$

ausklammern

$$= \varepsilon_0 \cdot E(1 + \chi_e)$$

$$\varepsilon_r = 1 + \chi_e$$

relative Dielektrizitätszahl

$$\varepsilon_r = 1 + \chi_e$$

 ε_r : ist ,nur' eine Definition

$$\vec{D} = \varepsilon_0 \cdot \varepsilon_r \cdot \vec{E}$$

polarisierbares P Medium*

$$P = \varepsilon_0 \cdot \chi_e \cdot E$$

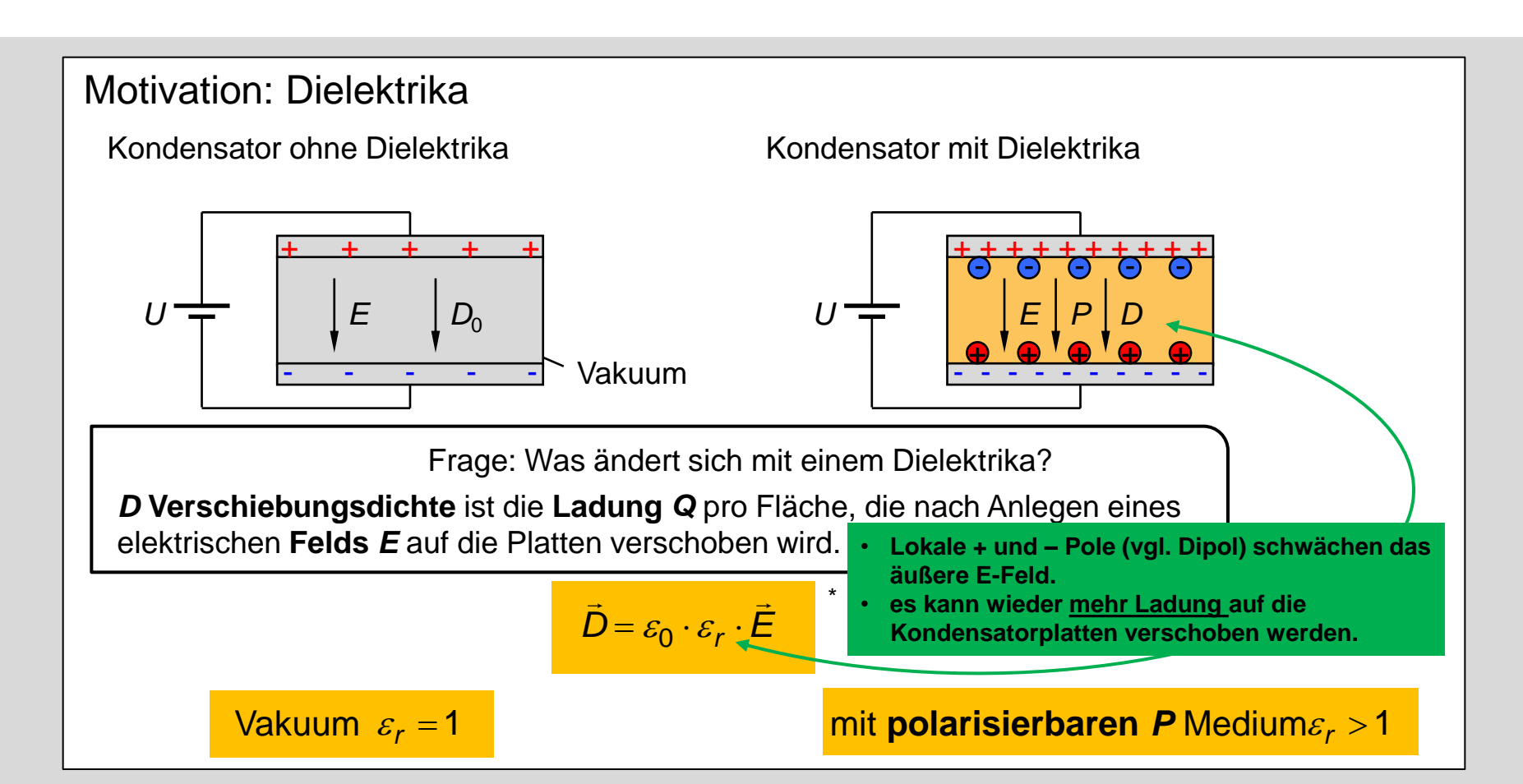
 $\chi_{\rm e}$: elektrische Suszeptibilität "zeigt an wie 'gut' das Polarisieren geht"

"Polarisieren eines Mediums heißt, dass ein außen angelegtes E-Feld im Dielektrikum Ladungen derart verschiebt, dass sich lokal + und – Pole bilden (vgl. Dipol)."

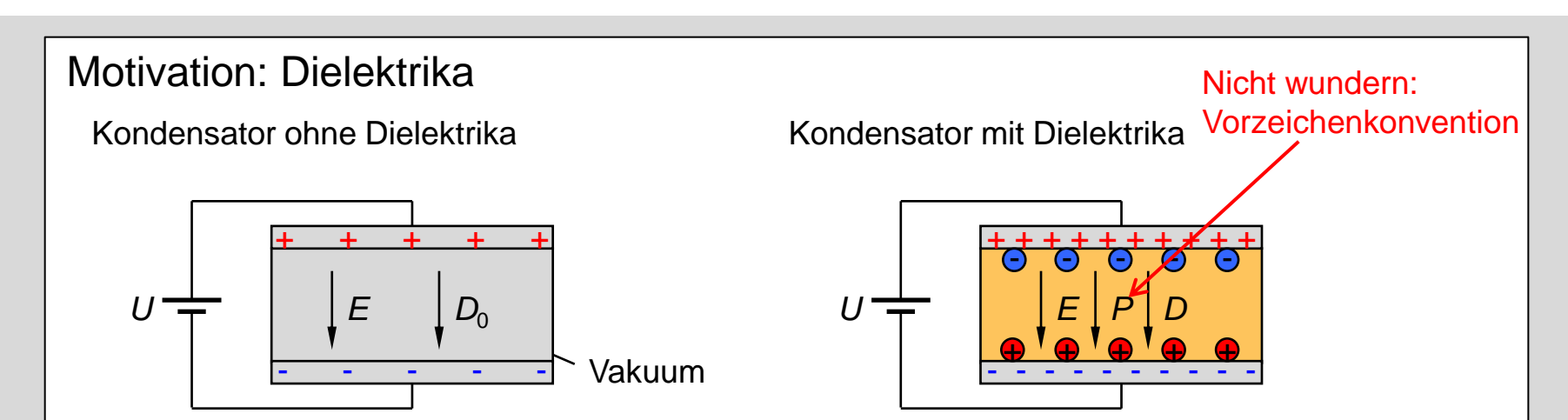
"Diese lokalen + und – Pole (vgl. Dipol) schwächen das äußere E-Feld. "

mit polarisierbarem P Medium $\varepsilon_r > 1$









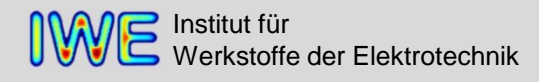
Frage: Was ändert sich mit einem Dielektrika?

D Verschiebungsdichte ist die Ladung **Q** pro Fläche, die nach Anlegen eines elektrischen **Felds E** auf die Platten verschoben wird.

$$\vec{D} = \varepsilon_0 \cdot \varepsilon_r \cdot \vec{E}$$

Vakuum $\varepsilon_r = 1$

mit polarisierbaren *P* Medium $\varepsilon_r > 1$





A2: Dielektrika

a) Nennen Sie drei dielektrische Polarisationsmechanismen und ordnen Sie diese nach steigender Resonanz- bzw. Relaxationsfrequenz des Ausfallmechanismus. (1 Punkt)



3.2 Polarisationsmechanismen Grundtypen der dielektrischen Polarisation

aus der Vorlesung...

Grundtypen

Elektronenpolarisation

Auslenkung von Atomkern und -hülle (induzierte Dipole)

Ionenpolarisation

Auslenkung von Kationen und Anionen (induzierte Dipole)

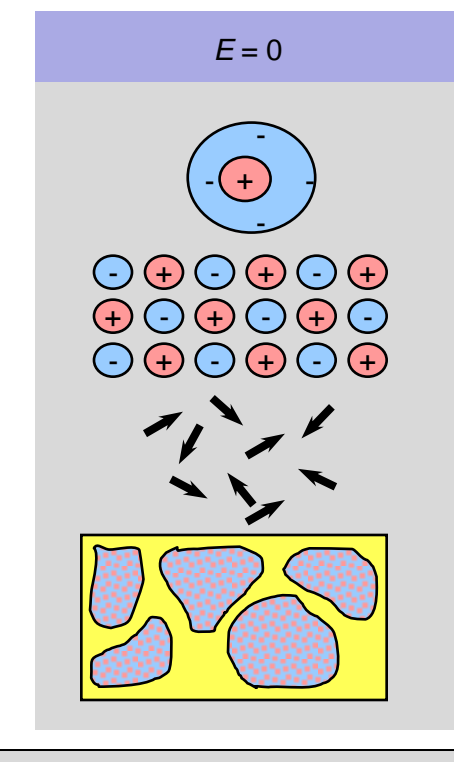
Orientierungspolarisation

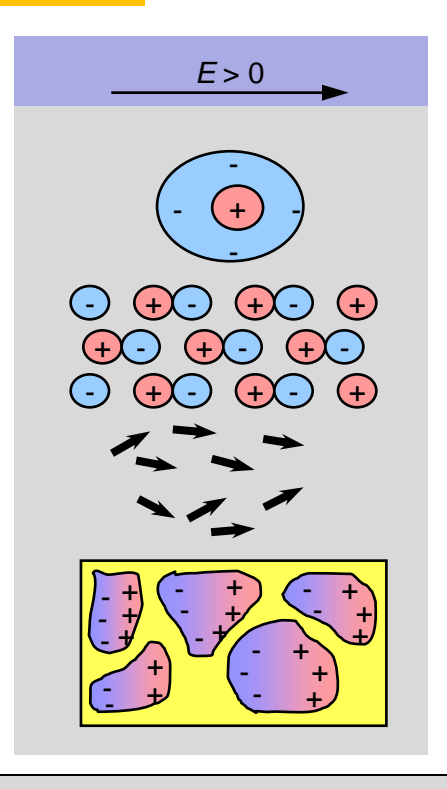
Ausrichtung permanent vorhandener Dipole

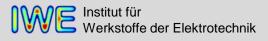
Raumladungspolarisation

Ansammlung freier Ladungsträgern an isolierenden Korngrenzen

[Schaumburg 1994]





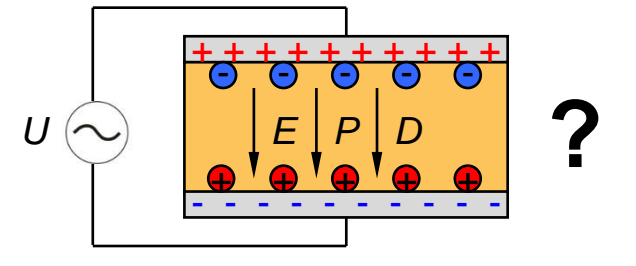




A2: Dielektrika

a) Nennen Sie drei dielektrische Polarisationsmechanismen und ordnen Sie diese nach steigender Resonanz- bzw. Relaxationsfrequenz des Ausfallmechanismus. (1 Punkt)

Bisher: U Konstant

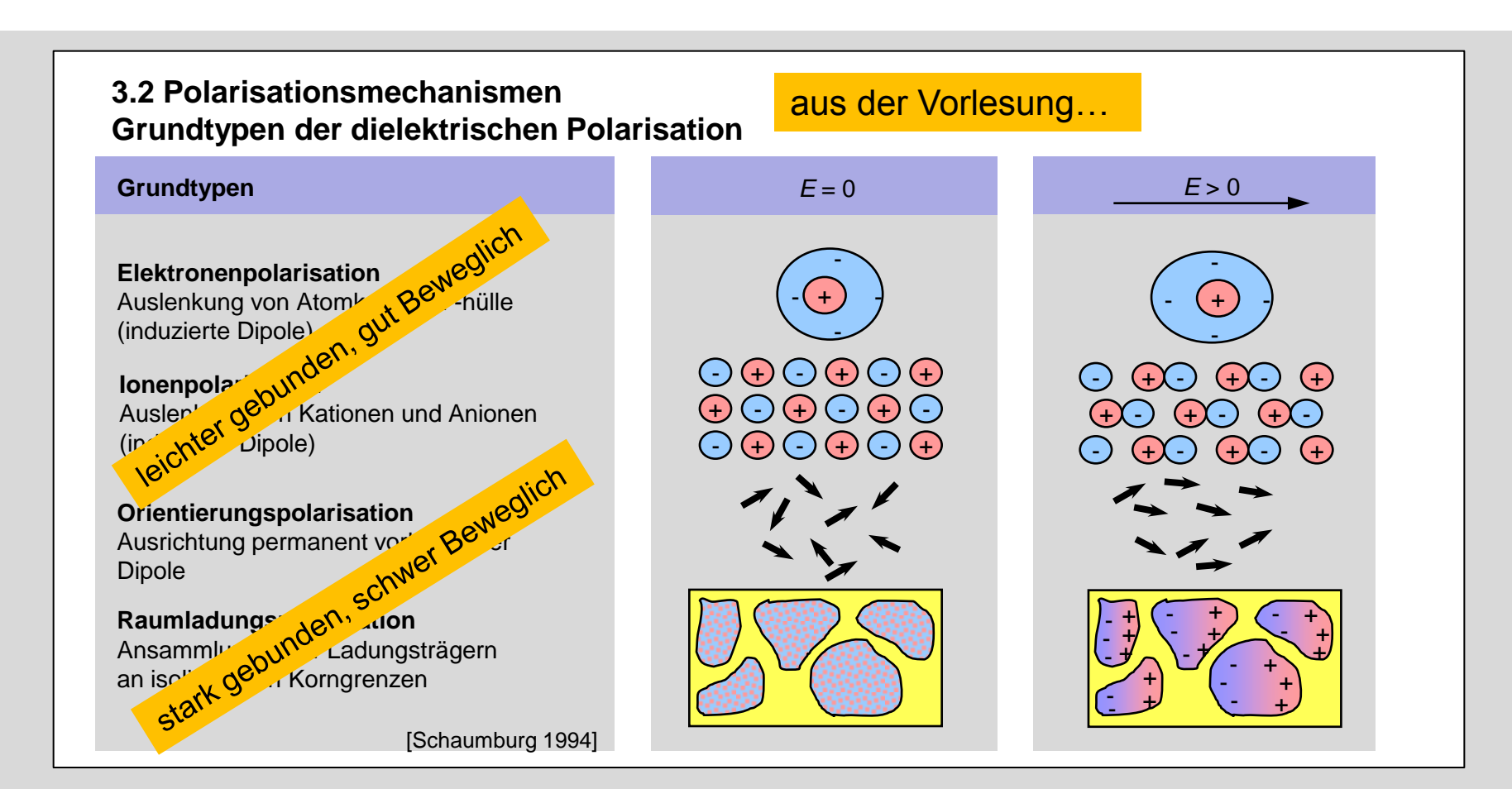


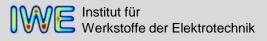
Jetzt: *U* Wechselspannung/-strom



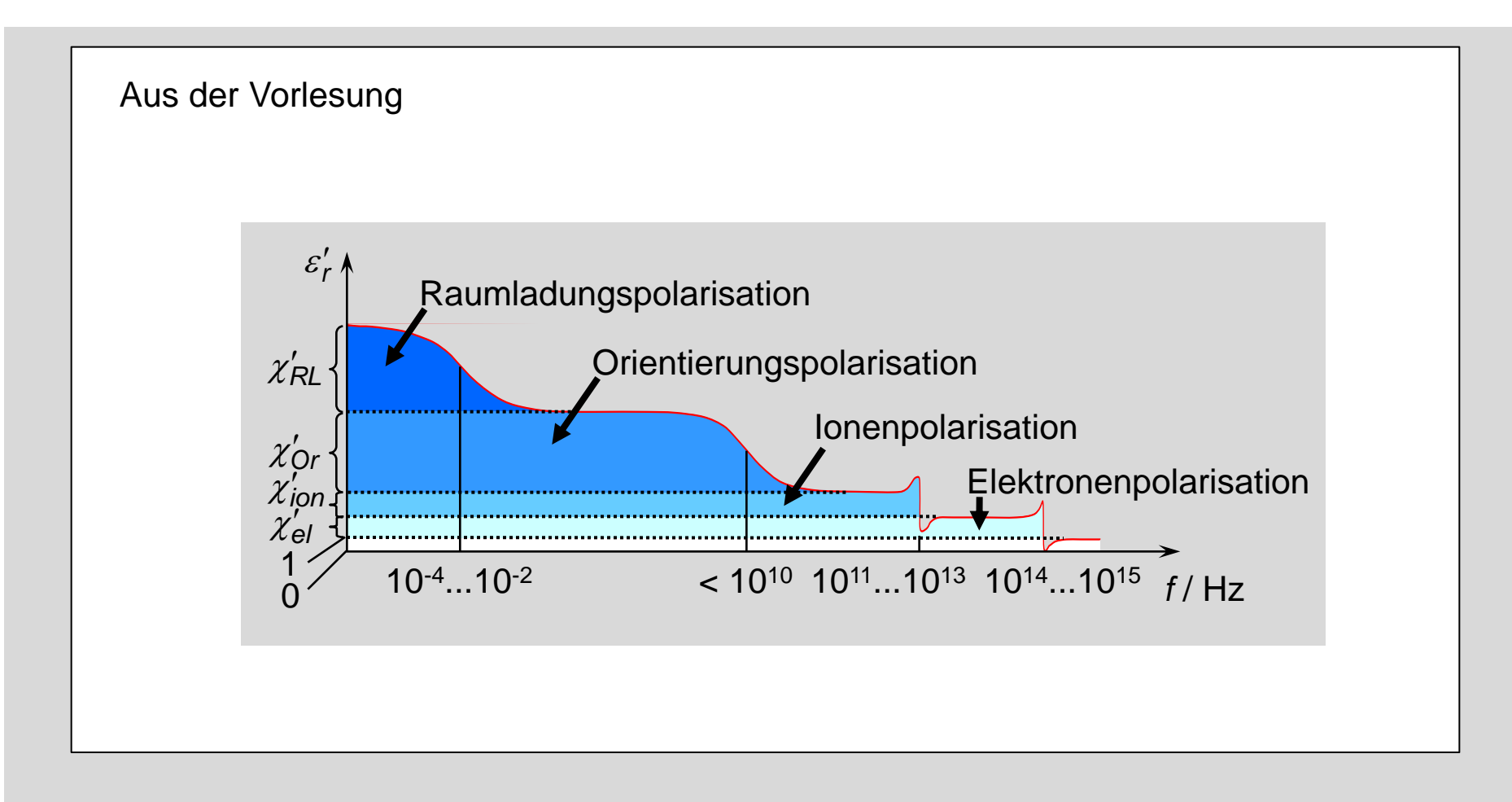
A2: Dielektrika a) Nennen Sie drei dielektrische Polarisationsmechanismen und ordnen Sie diese nach steigender Resonanz- bzw. Relaxationsfrequenz des Ausfallmechanismus. (1 Punkt) Relaxationsfrequenz ω_0 Resonanzfrequenz ω_0 "reagiert nicht gut auf Anregung" "reagiert sehr gut auf Anregung"



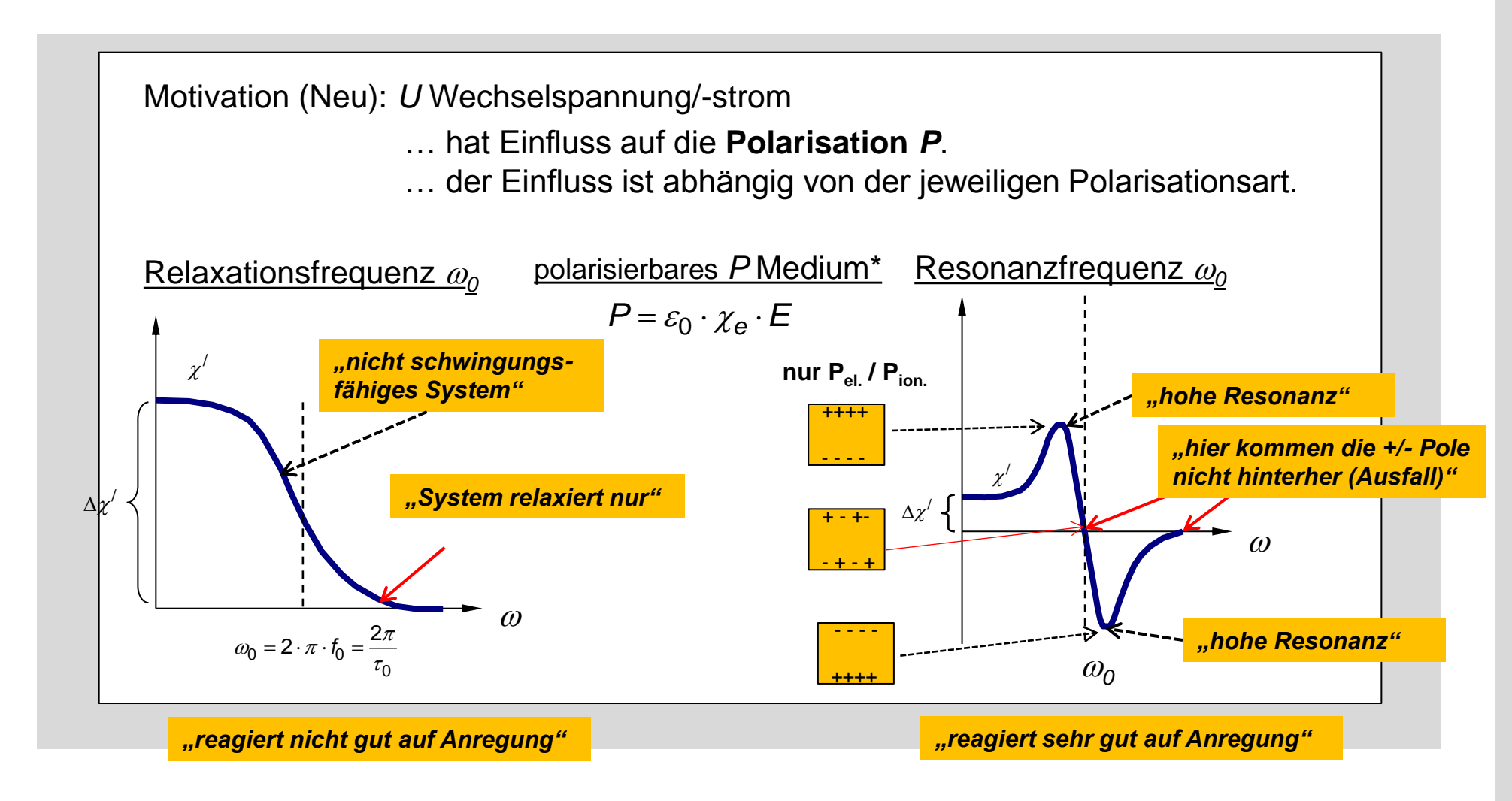




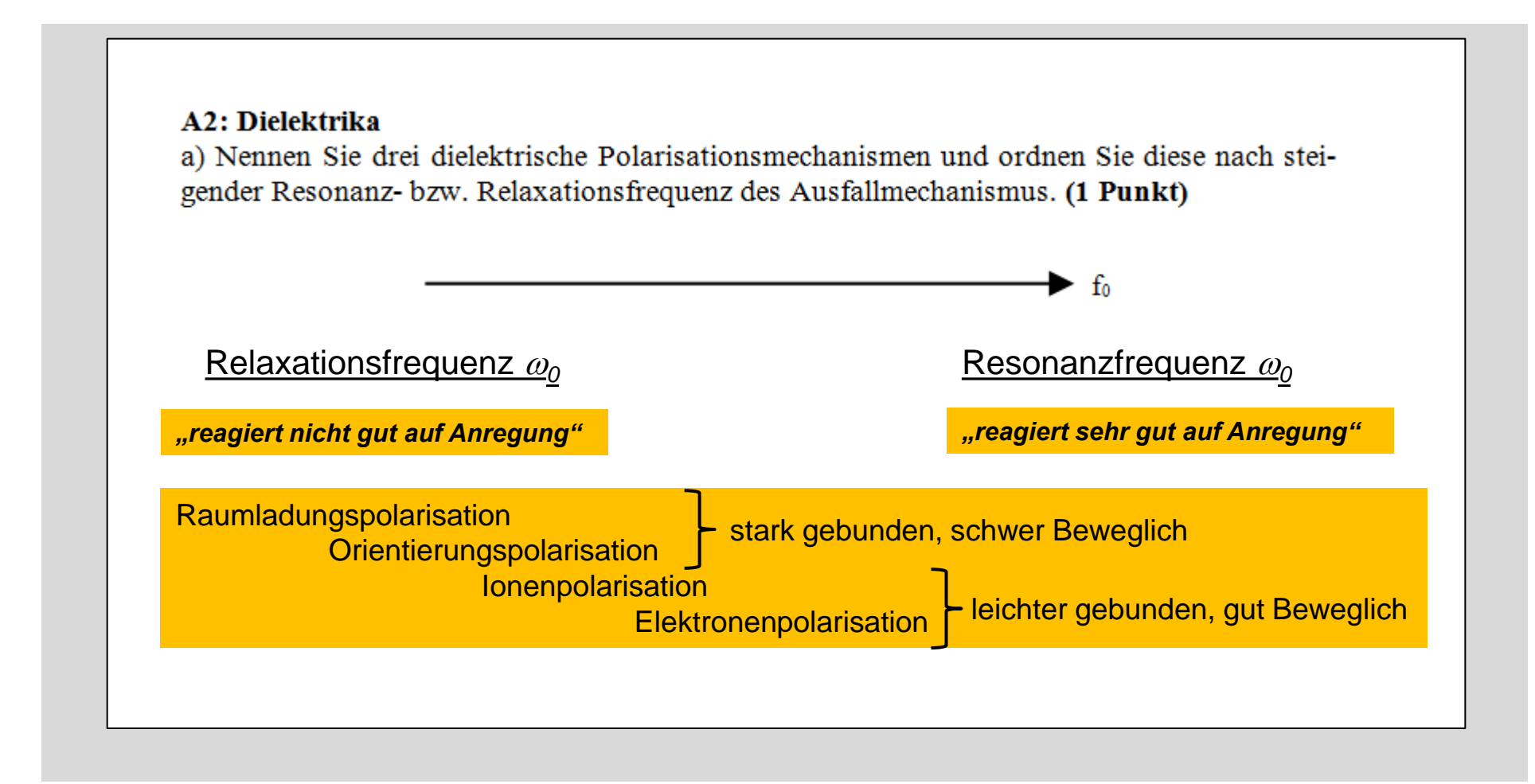


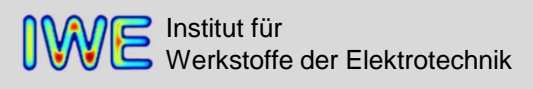






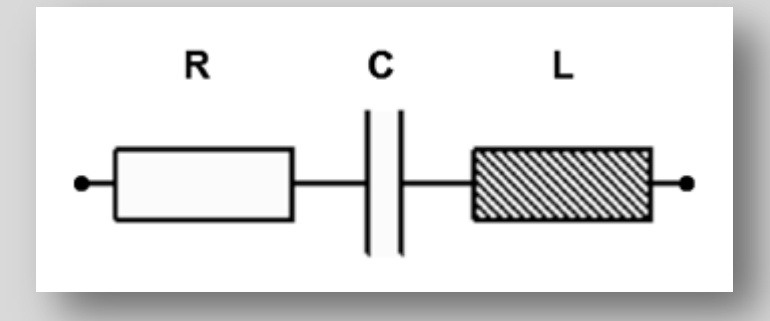




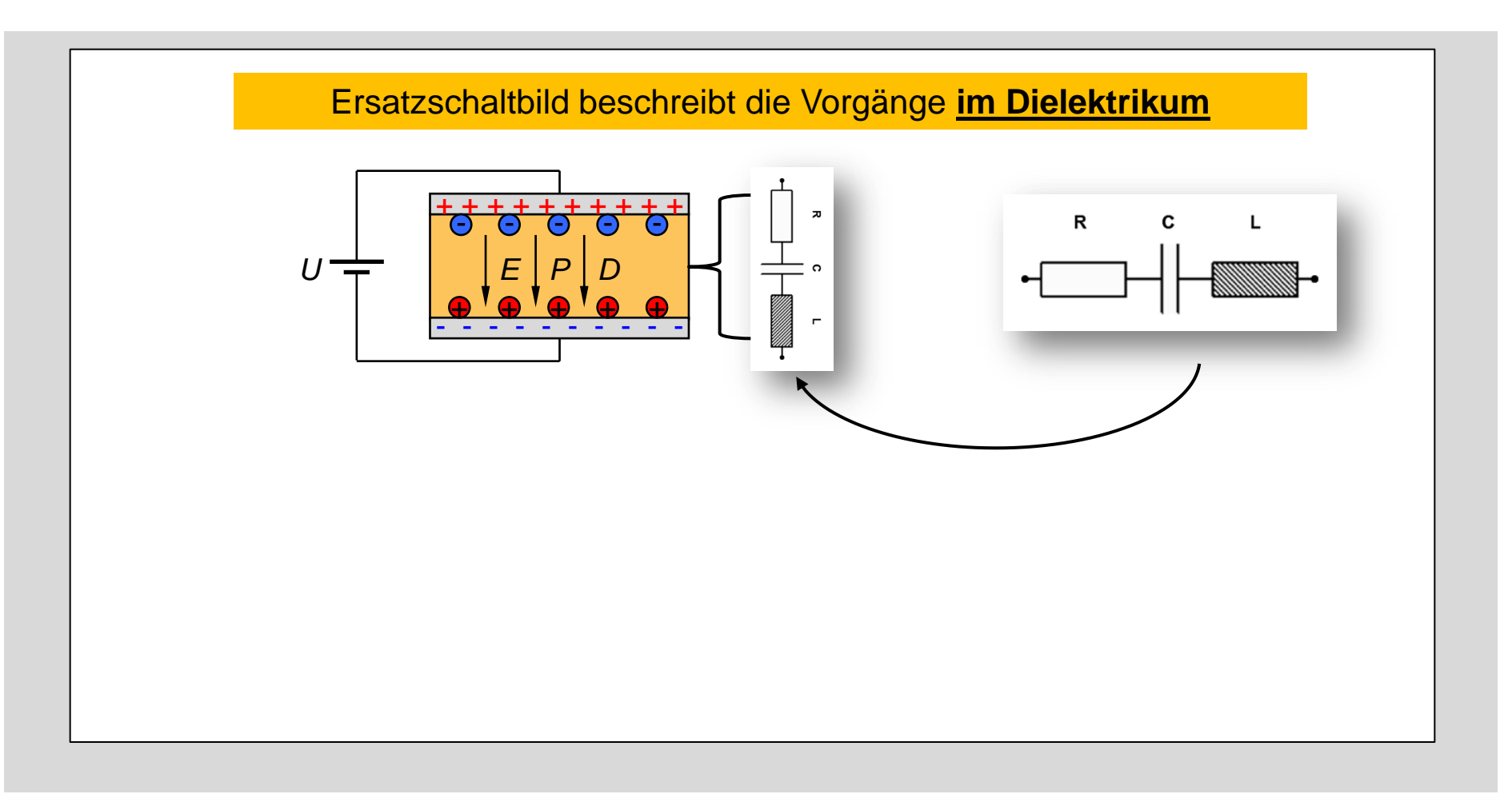


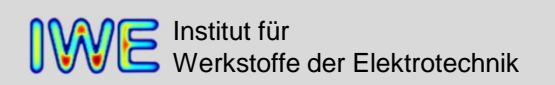


b) Nennen Sie eine dielektrische Polarisationsart, die durch das unten gezeigte elektrische Ersatzschaltbild beschrieben werden kann. (1 Punkt)

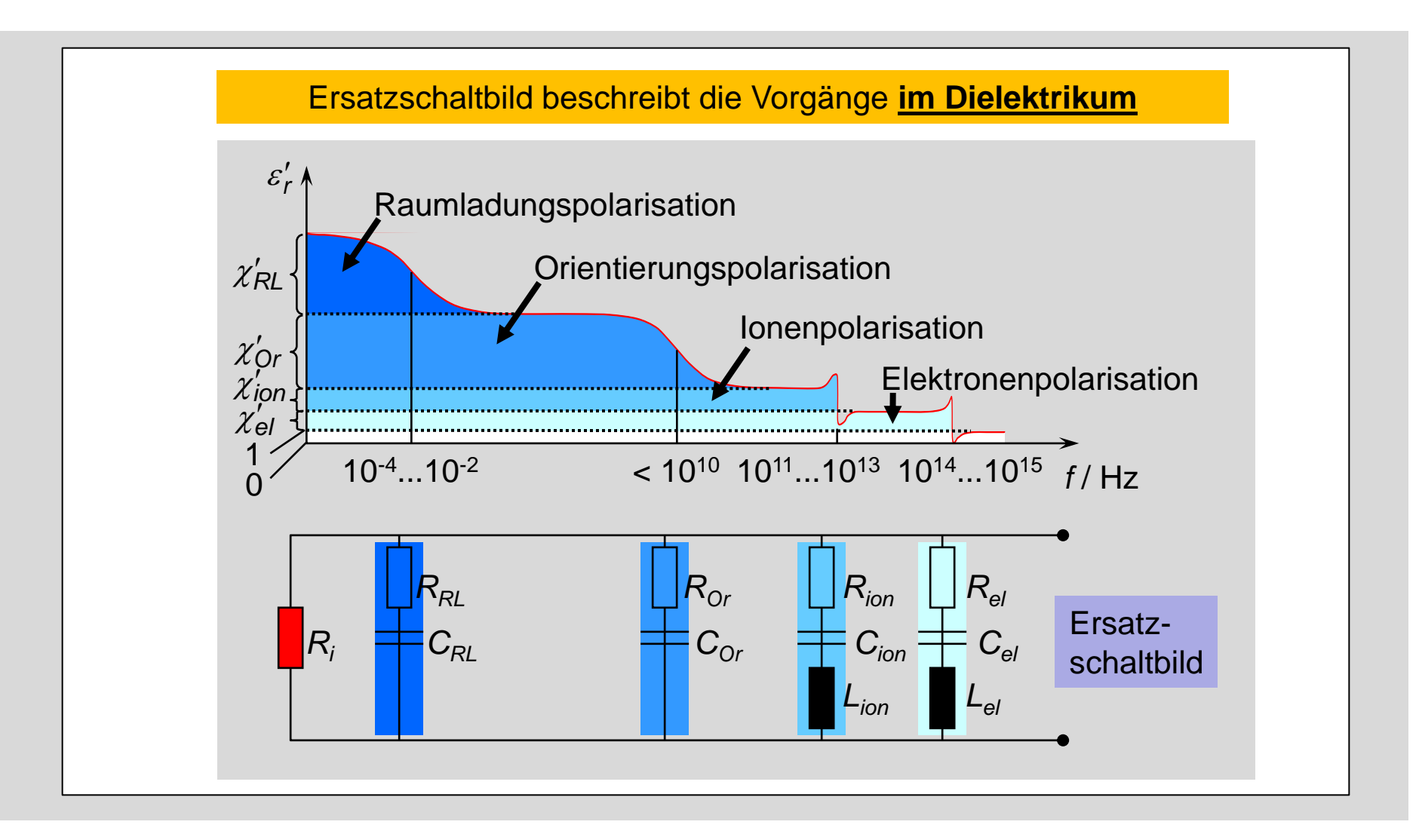


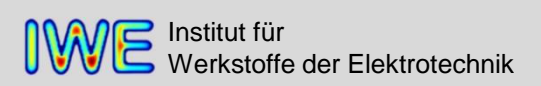














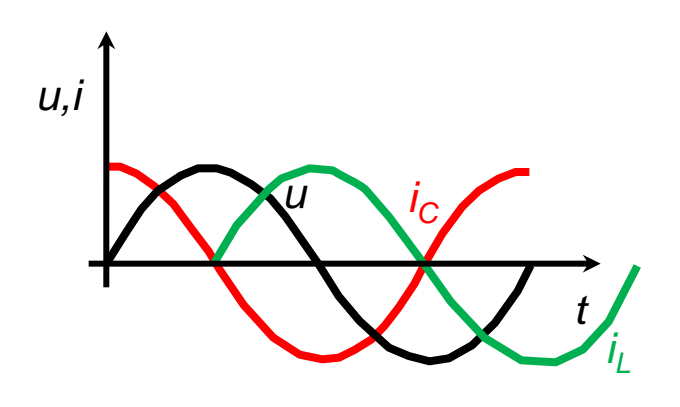
R: Widerstand

C: Kapazität

Bei allen Polarisationsmechanismen vorhanden.

L: Induktivität

Parasitäre Effekte bei realen Kondensatoren durch Zuleitungen: bei hohen Frequenzen, also bei Ionenpolarisation und Elektronenpolarisation.



Bei Spannungsanregung

C: Kapazität

"Ströme eilen voraus"

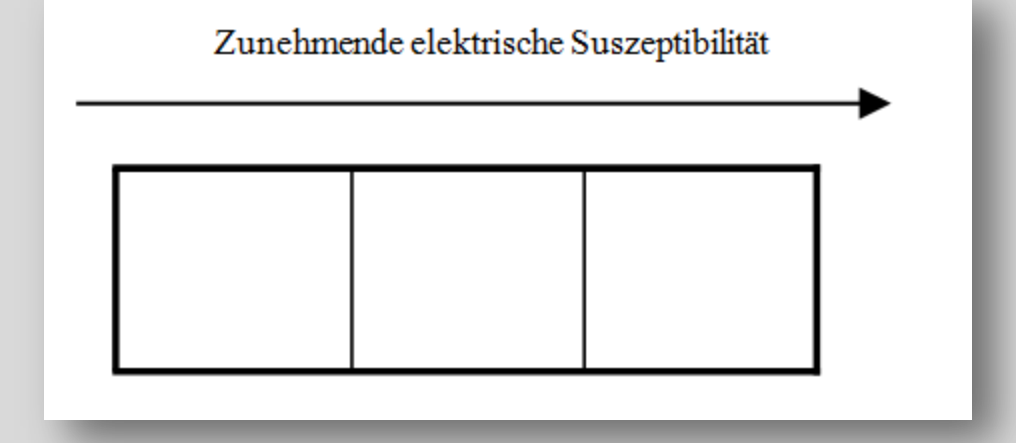
L: Induktivität

"Ströme verspäten sich "

reales System haben zusätzl. einen ohmschen Anteil (< 90°)



c) Ordnen Sie die Gase Neon (Ne), Helium (He) und Xenon (Xe) nach zunehmender elektrischer Suszeptibilität χ_{el} . Begründen Sie Ihre Antwort. (1 Punkt)





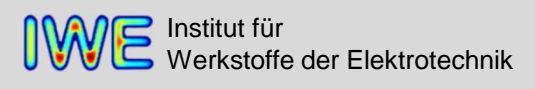
c) Ordnen Sie die Gase Neon (Ne), Helium (He) und Xenon (Xe) nach zunehmender elektrischer Suszeptibilität χ_{el} . Begründen Sie Ihre Antwort. (1 Punkt)

Zunehmende elektrische Suszeptibilität

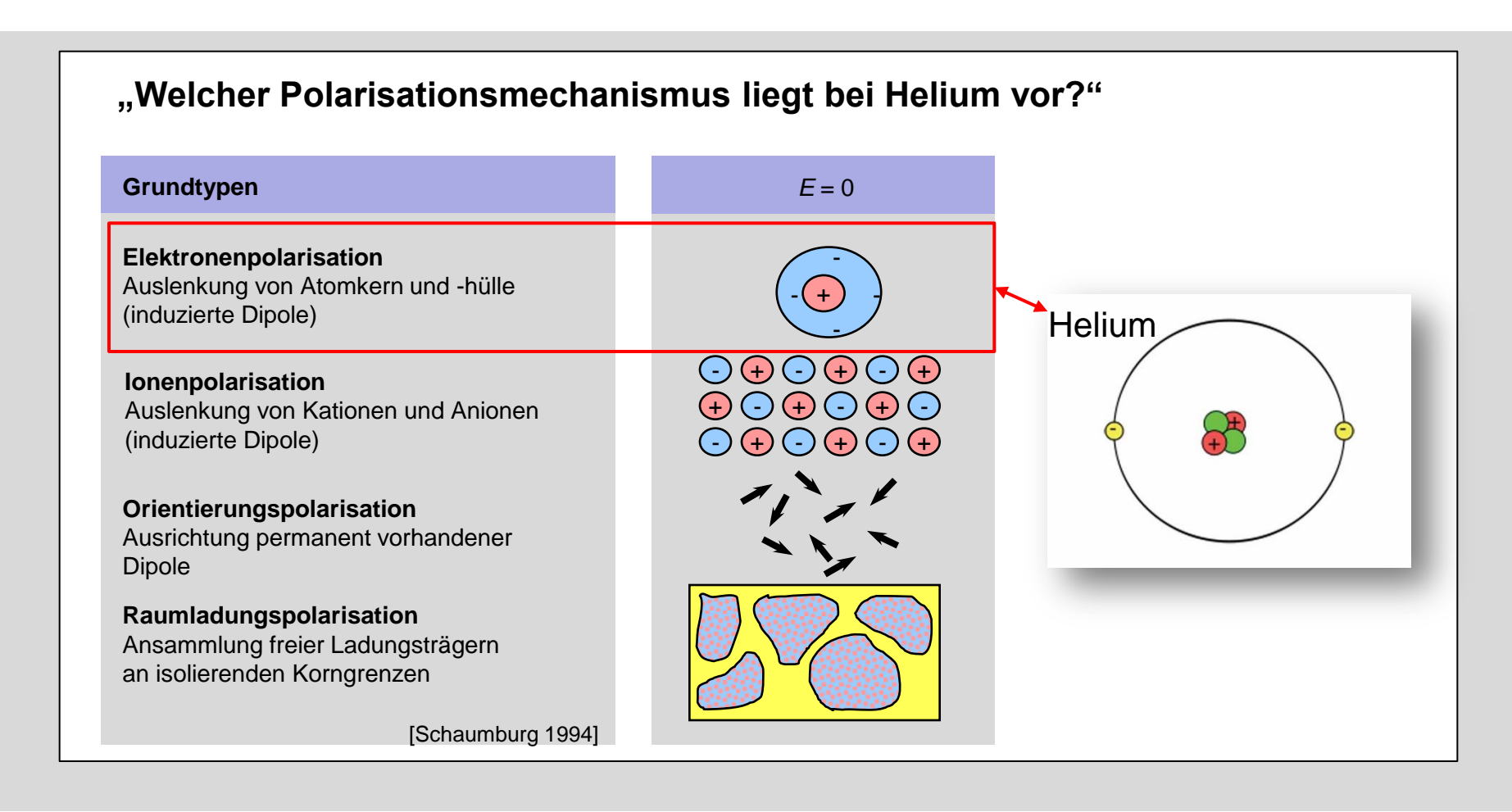
polarisierbares P Medium

$$P = \varepsilon_0 \cdot \chi_e \cdot E$$

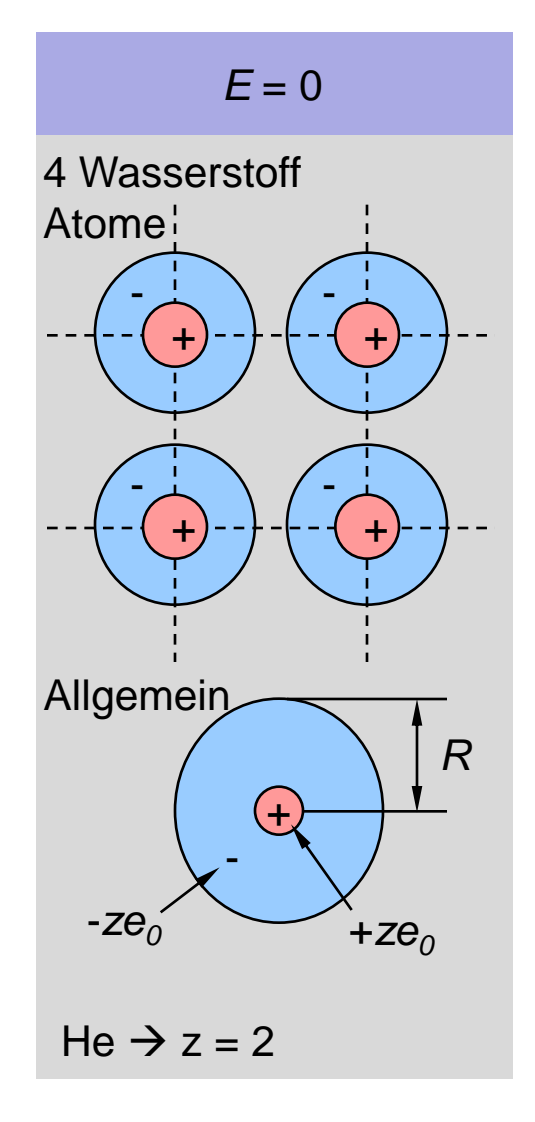
 $\chi_{\rm e}$: elektrische Suszeptibilität "zeigt an wie 'gut' das Polarisieren geht"

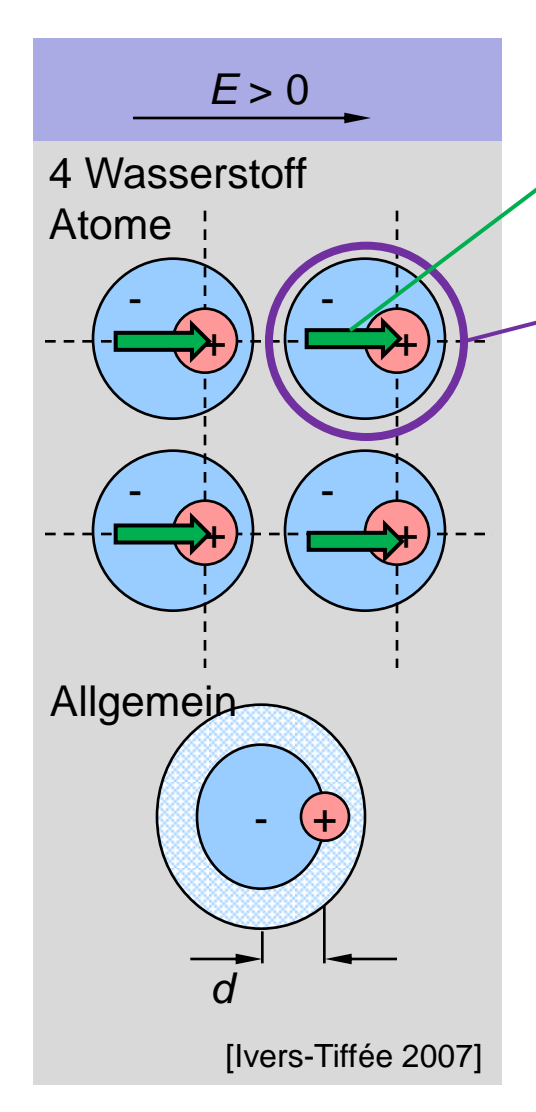












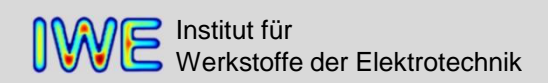
Induziertes Dipolmoment

$$p = z \cdot e_0 \cdot d = 4\pi\varepsilon_0 \cdot R^3 \cdot E = \alpha_{el} \cdot E$$

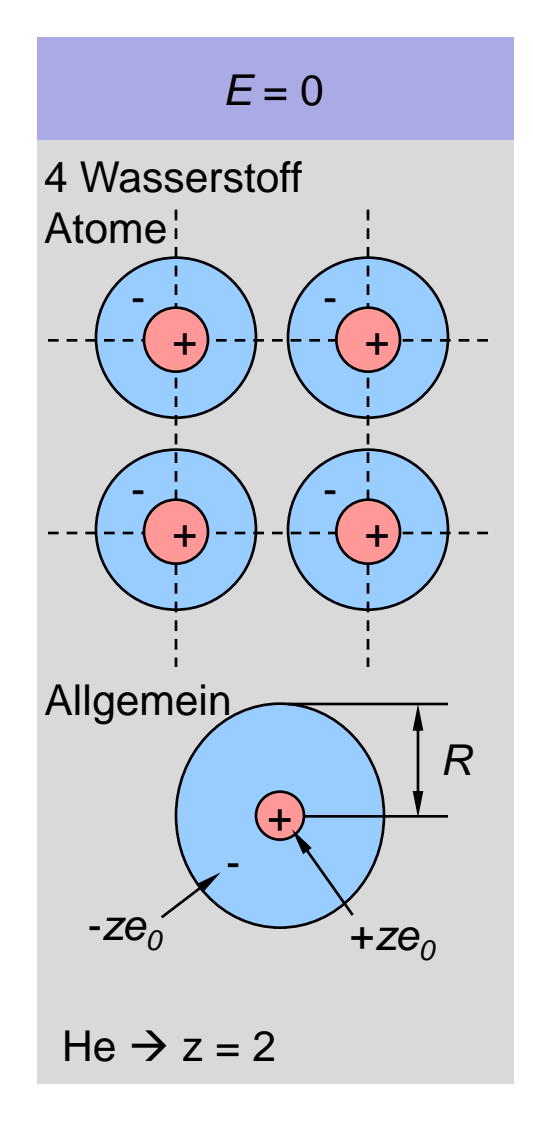
Polarisierbarkeit $\alpha_{\it el}$ des Einzelatoms

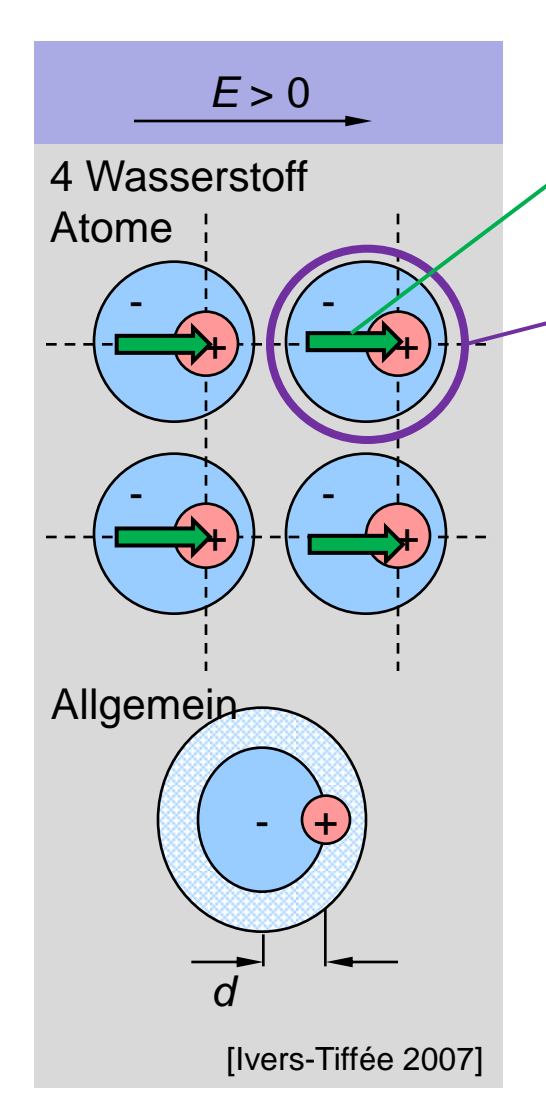
Polarisation

$$P = \frac{1}{V} \sum_{i=1}^{N} p_i$$









Induziertes Dipolmoment

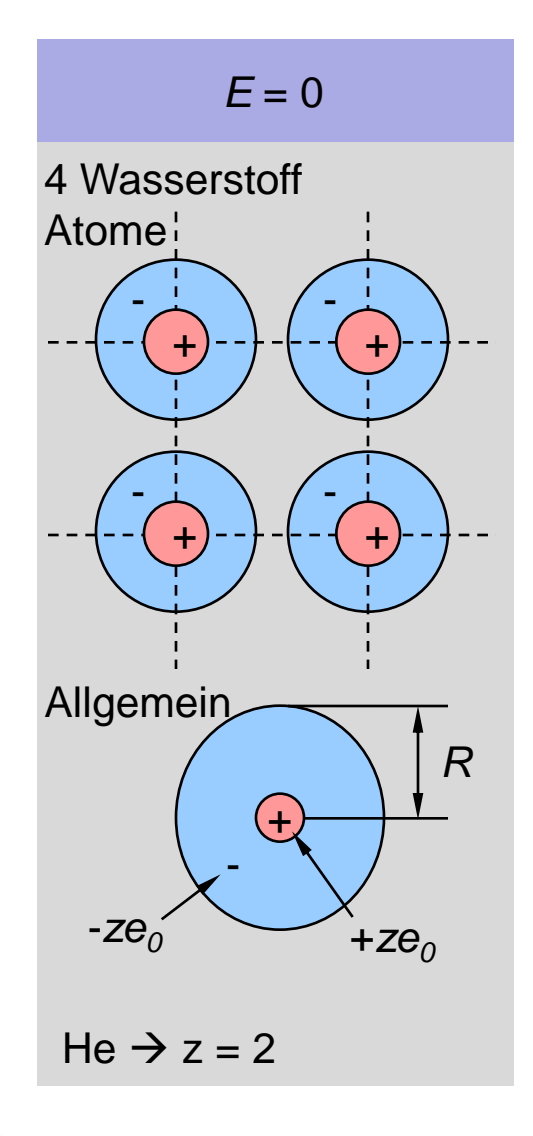
$$p = z \cdot e_0 \cdot d = 4\pi\varepsilon_0 \cdot R^3 \cdot E = \alpha_{el} \cdot E$$

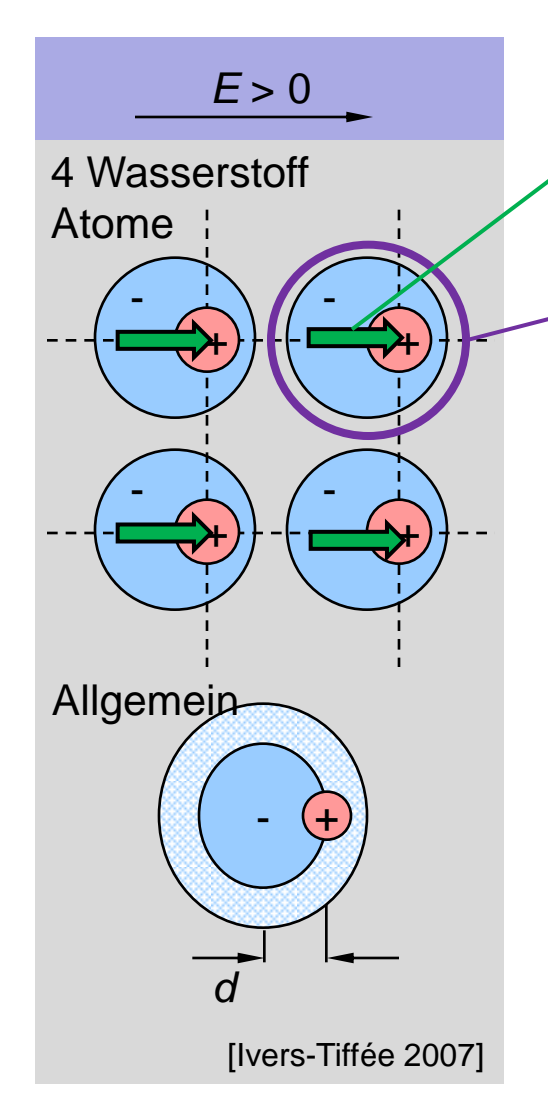
Polarisierbarkeit $\alpha_{\it el}$ des Einzelatoms

Polarisation

$$P = \frac{1}{V} \sum_{i=1}^{N} p_i$$







Induziertes Dipolmoment

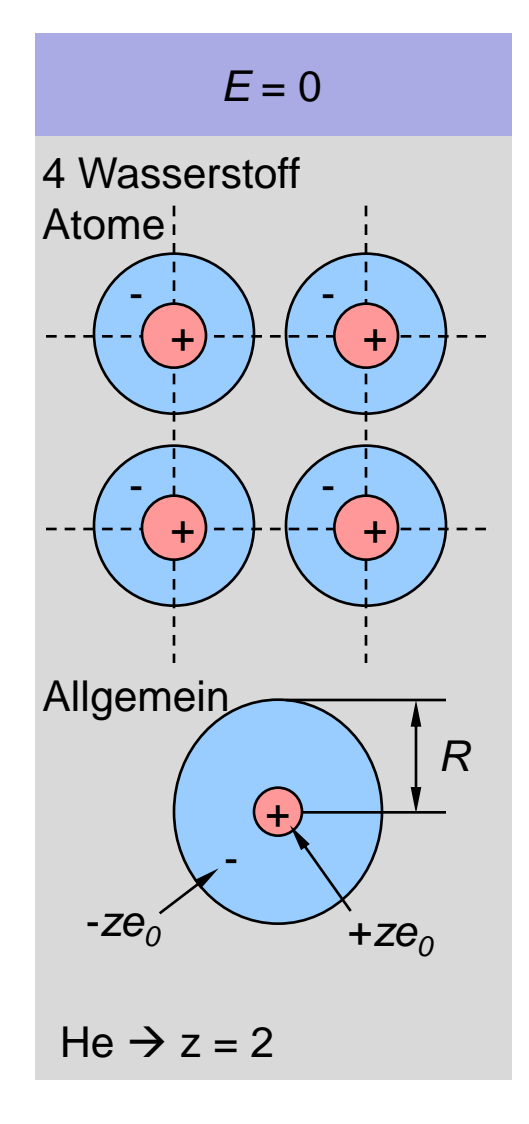
$$p = z \cdot e_0 \cdot d = 4\pi\varepsilon_0 \cdot R^3 \cdot E = \alpha_{el} \cdot E$$

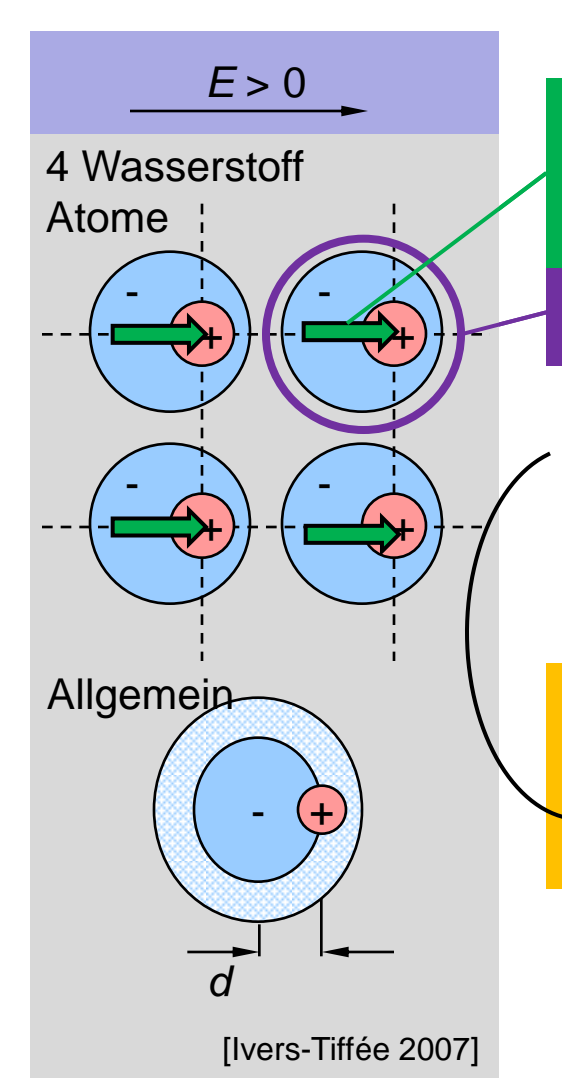
Polarisierbarkeit $\alpha_{\it el}$ des Einzelatoms

Clausius-Mossotti-Beziehung

"stellt Zusammenhang zwischen mikroskopischen Einfluss des Einzelatoms zum makroskopischen her"







Induziertes Dipolmoment

$$p = z \cdot e_0 \cdot d = 4\pi \varepsilon_0 \cdot R^3 \cdot E = \alpha_{el} \cdot E$$

Polarisierbarkeit α_{el} des Einzelatoms

Clausius-Mossotti-Beziehung

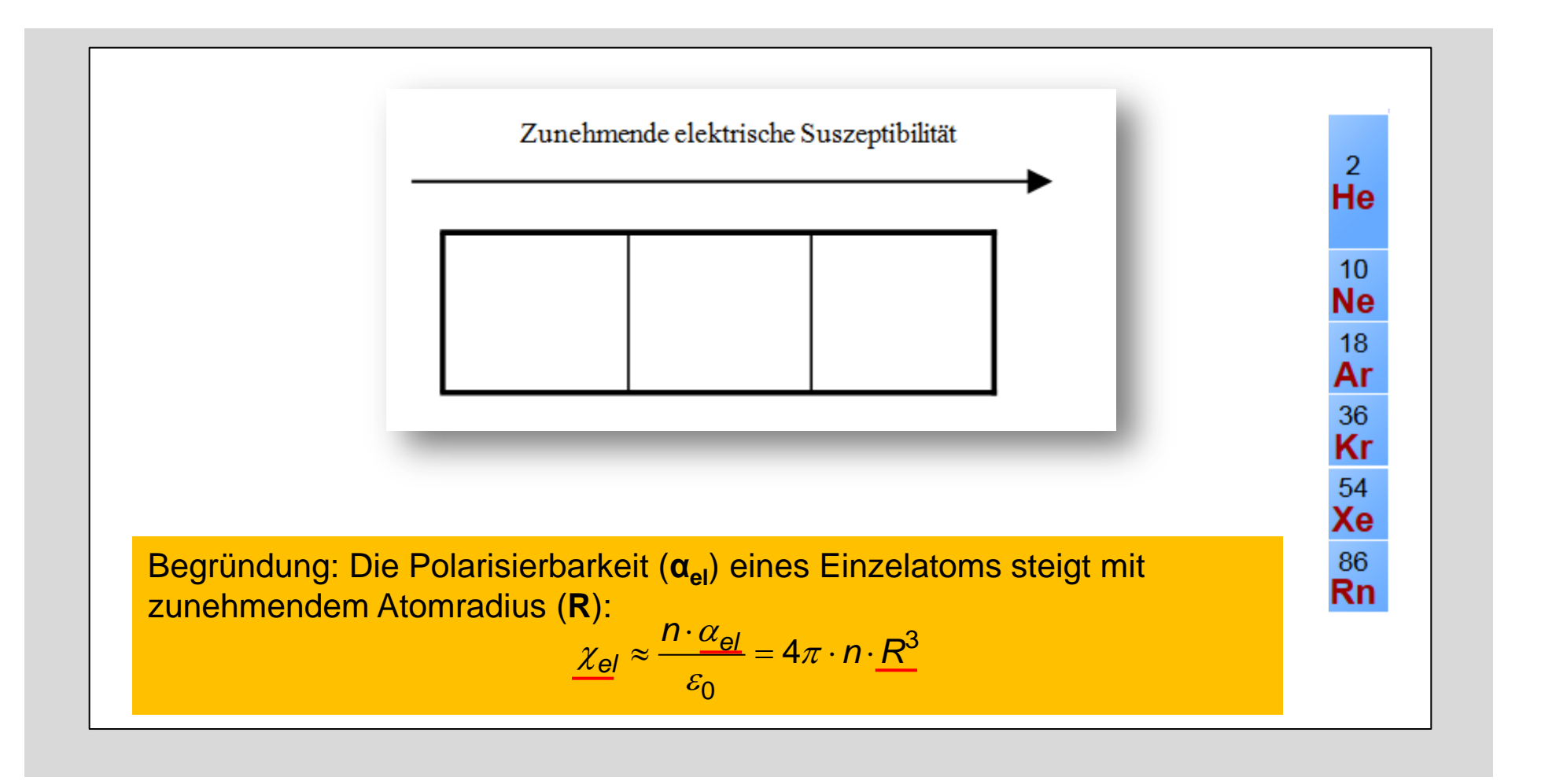
"stellt Zusammenhang zwischen mikroskopischen Einfluss des Einzelatoms zum makroskopischen her"

Elektronische Suszeptibilität

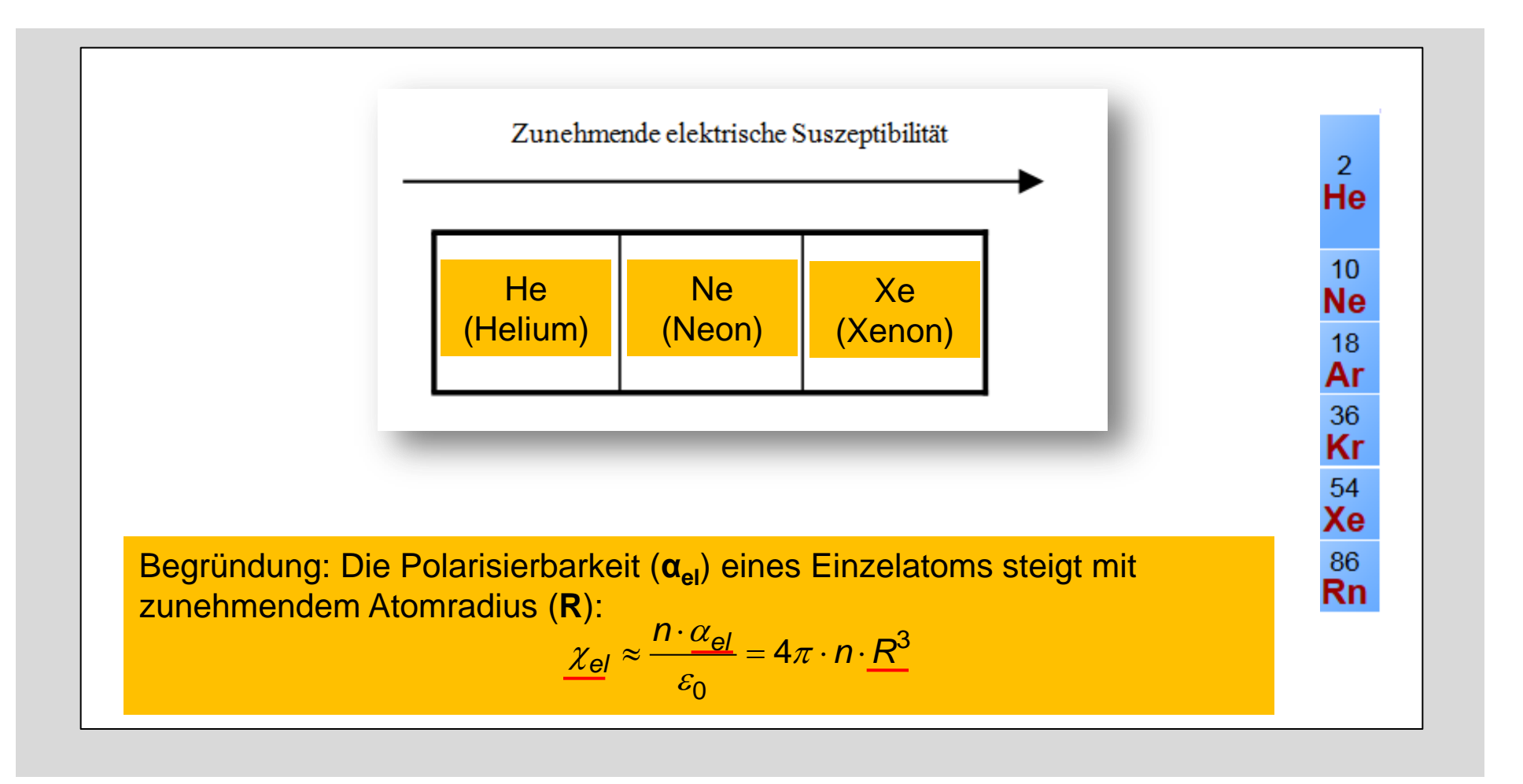
$$\underline{\chi_{el}} \approx \frac{n \cdot \alpha_{el}}{\varepsilon_0} = 4\pi \cdot n \cdot \underline{R}^3$$
 aus der VL

ist R groß sind die
Bindungskräfte viel kleiner
→ Polarisierbarkeit ist erhöht!











Zusammenfassung:

Relaxation/Resonanz von Dielektrika

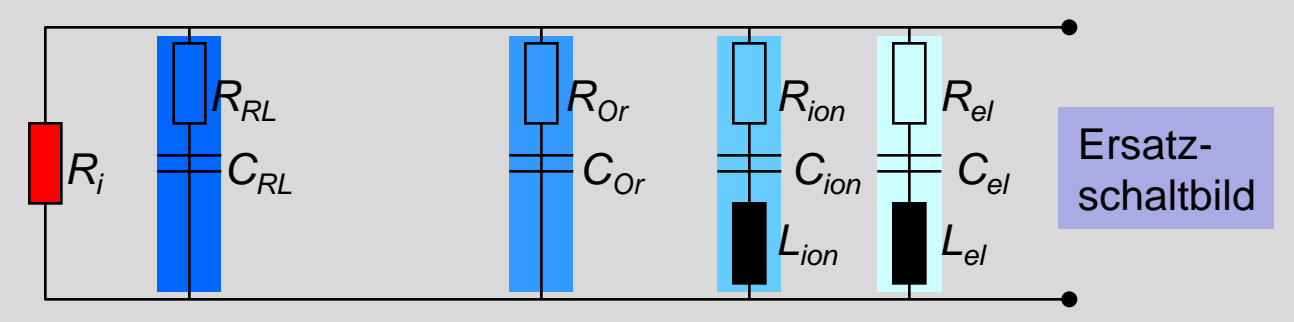
Grund: Wechselspannung/-strom



"nicht schwingungsfähigem System" → Relaxation (Raumladungs-/Orientierungspolarisation) "System das sehr gut auf Anregung reagiert "→ Resonanz (Elektronen- / Ionenpolarisation)

Polarisationstypen können in Form eines Ersatzschaltbildes dargestellt werden





R_i - Restwiderstand

elektrische Suszeptibilität

Beschreibt: "die Polarisierbarkeit eines Dielektrikums".

Bei Polarisation von Gasen (el. Polarisation) steigt mit dem Atomradius.





A3: Sawyer-Tower Schaltung

Zur Bestimmung der Dielektrizitätszahl ε_r einer Polyesterprobe wird die in Bild 1dargestellte Schaltung (Sawyer-Tower Schaltung) realisiert: Zwei baugleiche Plattenkondensatoren werden in Reihe geschaltet. In einen davon wird die Polyesterprobe eingebracht. Der zweite Kondensator dient als Referenz und ist luftleer.

Hinweis: In Tabelle 1 ist die gemessene Spannung am Referenzkondensator für zwei verschiedene Temperaturen bei angelegter Gleichspannung von $U_0 = 10$ V gegeben.

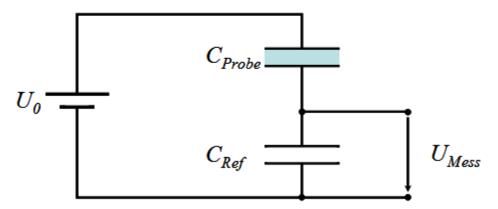


Bild 1 Schaltung zur Ermittlung der Dielektrizitätszahl eines Dielektrikums



A3: Sawyer-Tower Schaltung

Zur Bestimmung der Dielektrizitätszahl ε_r einer Polyesterprobe wird die in Bild 1dargestellte Schaltung (Sawyer-Tower Schaltung) realisiert: Zwei <u>baugleiche Plattenkondensatoren</u> werden in Reihe geschaltet. In einen davon wird die Polyesterprobe eingebracht. Der zweite Kondensator dient als Referenz und ist luftleer.

Hinweis: In Tabelle 1 ist die gemessene Spannung am Referenzkondensator für zwei verschiedene Temperaturen bei angelegter Gleichspannung von $U_0 = 10$ V gegeben.

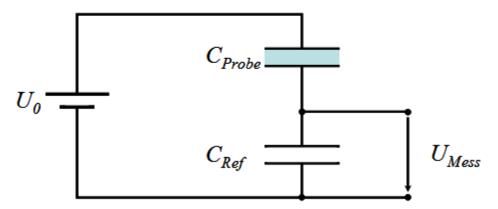
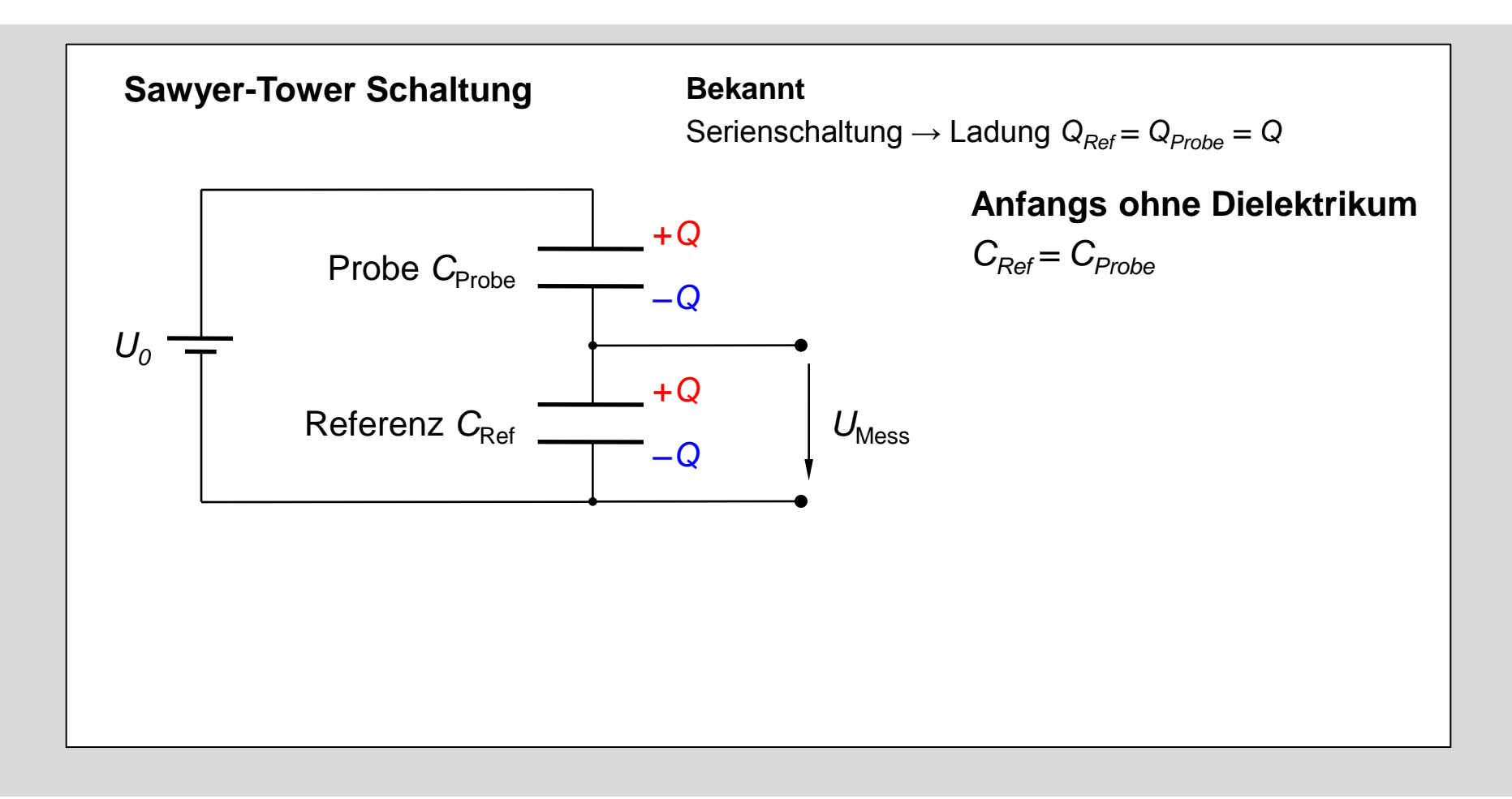
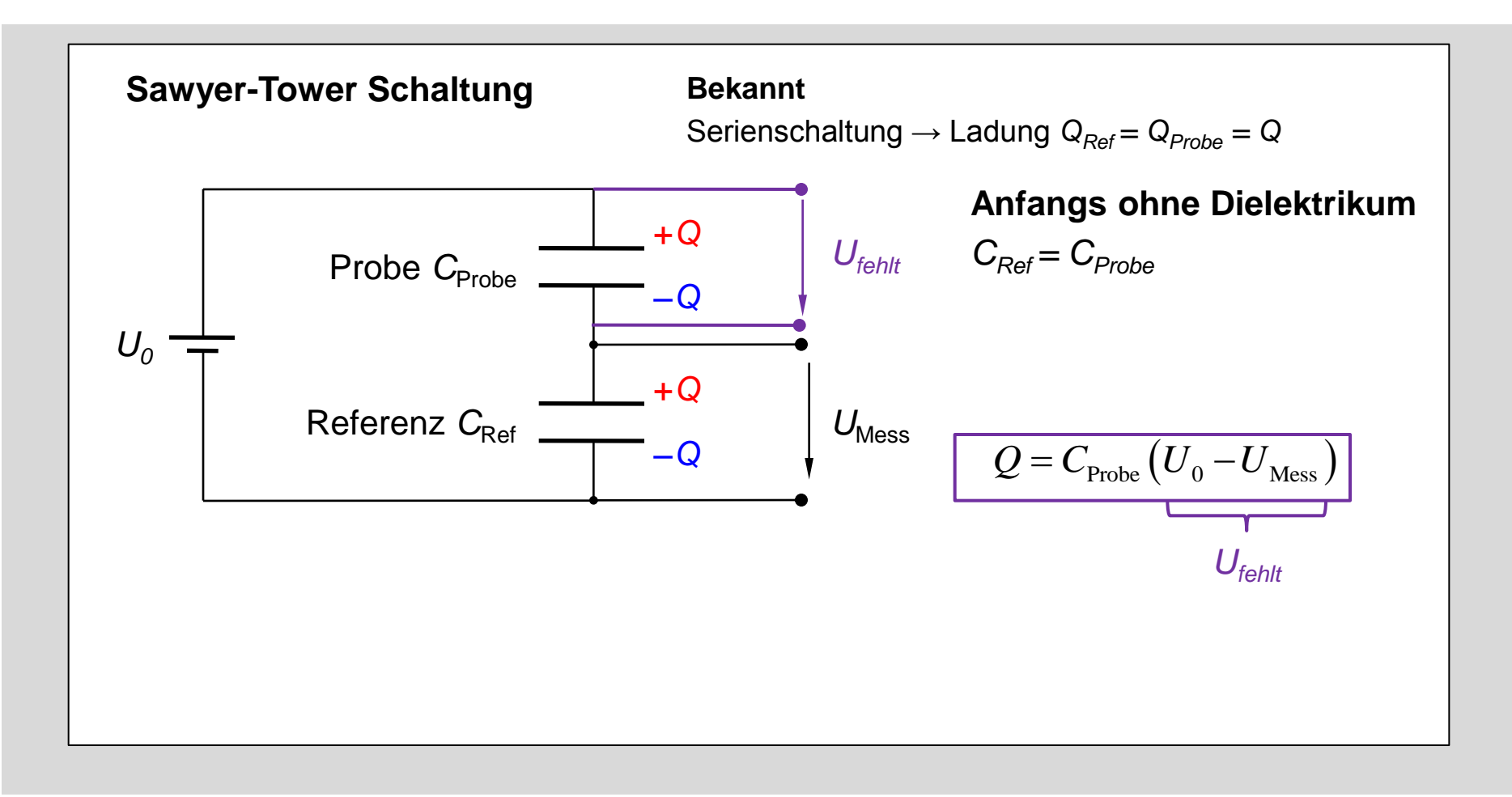


Bild 1 Schaltung zur Ermittlung der Dielektrizitätszahl eines Dielektrikums

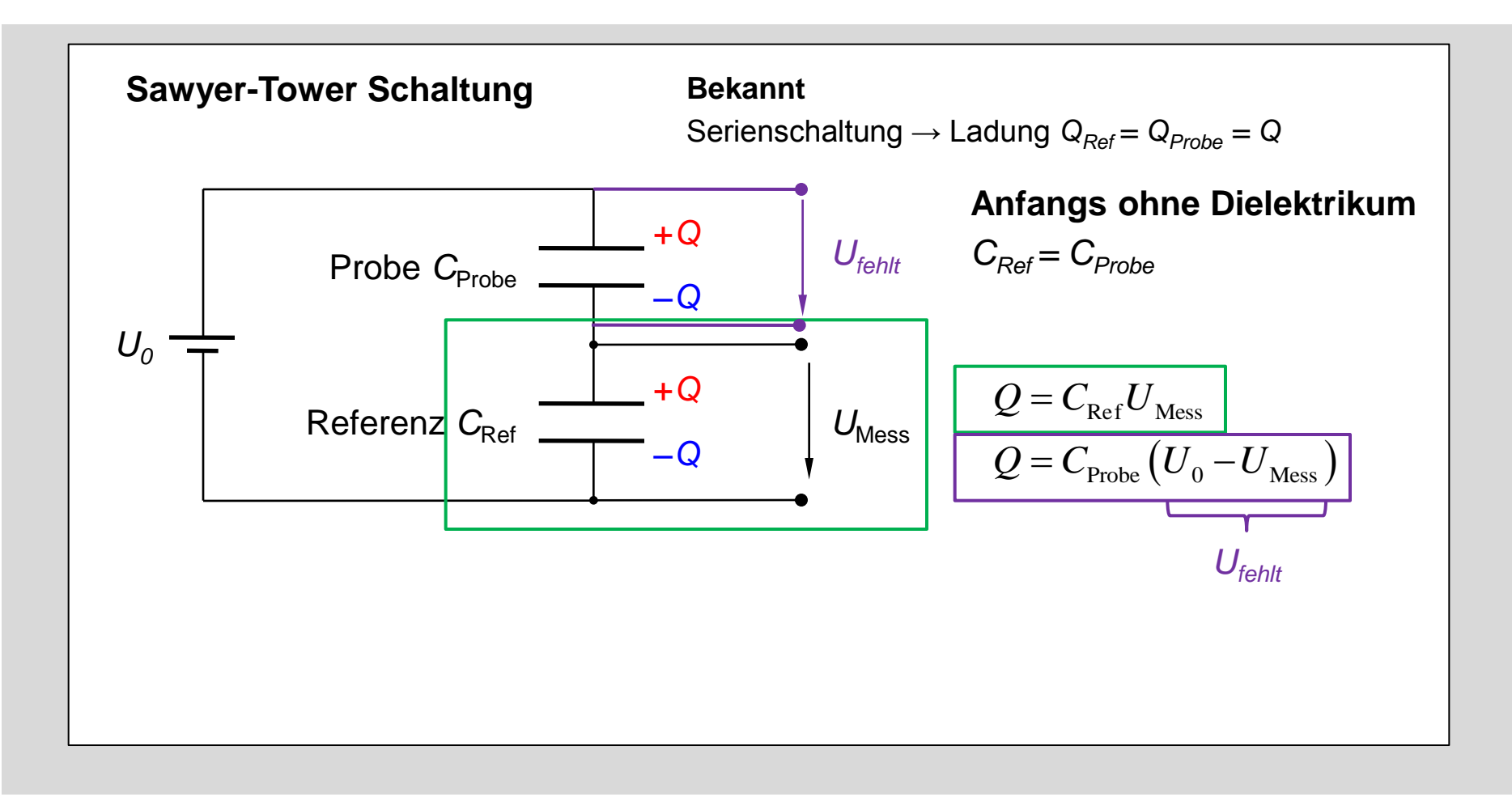




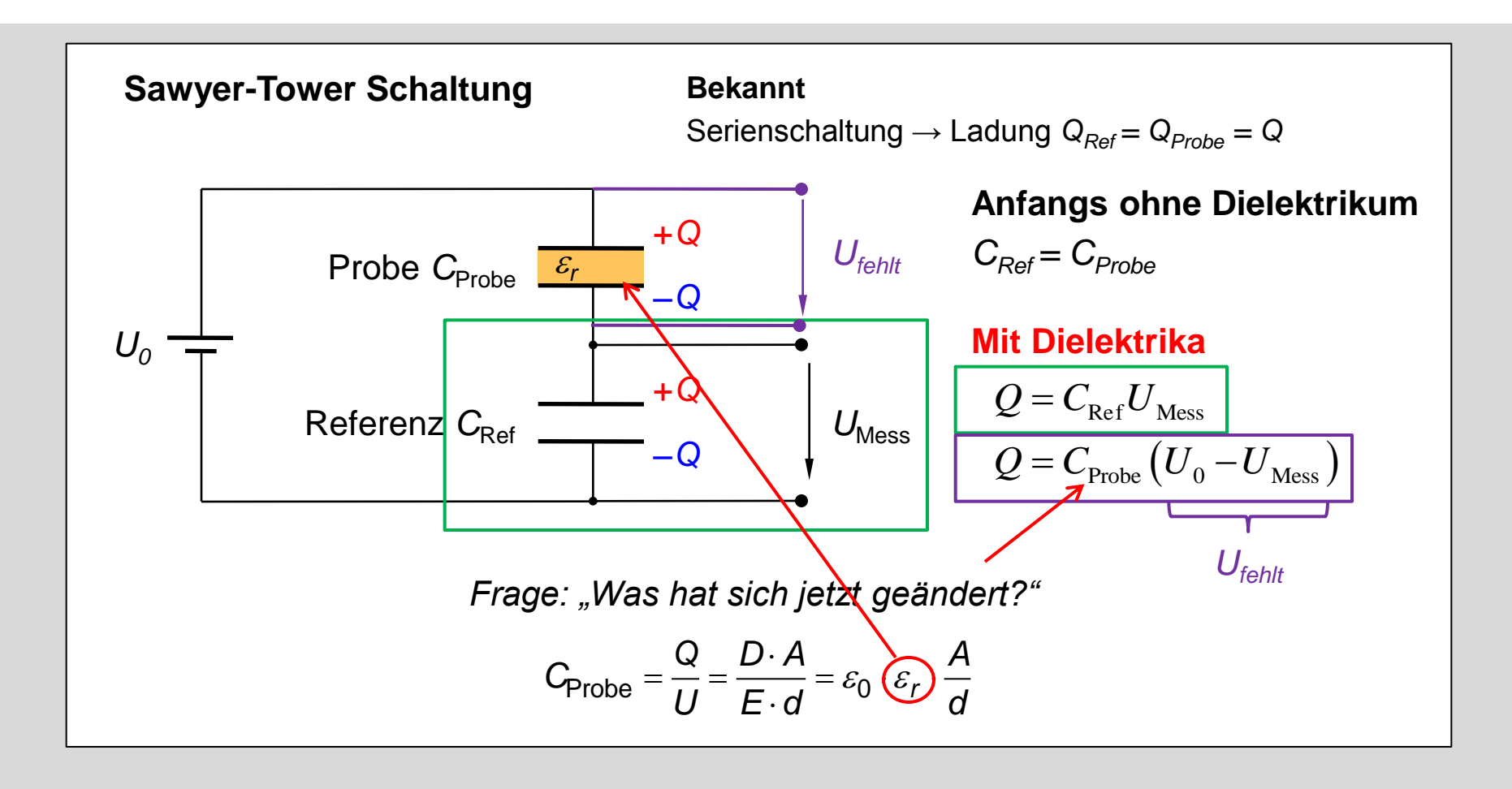














Bekannt
$$Q_{Ref} = Q_{Probe} = Q \qquad \nearrow \qquad Q = C_{Ref} U_{Mess}$$

$$Q = C_{Probe} \left(U_0 - U_{Mess} \right)$$



$$Q_{Ref} = Q_{Probe} = Q$$

$$Q = C_{\text{Ref}} U_{\text{Mess}}$$

$$Q = C_{\text{Probe}} \left(U_0 - U_{\text{Mess}} \right)$$

Bekannt

$$C_{\text{Probe}} = \frac{Q}{U} = \frac{D \cdot A}{E \cdot d} = \varepsilon_0 \, \varepsilon_r \, \frac{A}{d}$$

$$C_{\text{Ref}} = \frac{Q}{U} = \frac{D \cdot A}{E \cdot d} = \varepsilon_0 \cdot \frac{A}{d}$$



$$Q_{Ref} = Q_{Probe} = Q$$

$$Q = C_{\text{Ref}} U_{\text{Mess}}$$

$$Q = C_{\text{Probe}} \left(U_0 - U_{\text{Mess}} \right)$$

Bekannt

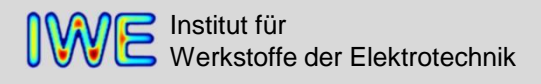
$$C_{\text{Probe}} = \frac{Q}{U} = \frac{D \cdot A}{E \cdot d} = \varepsilon_0 \underbrace{\varepsilon_r} \frac{A}{d}$$

$$C_{\text{Ref}} = \frac{Q}{U} = \frac{D \cdot A}{E \cdot d} = \varepsilon_0 \cdot \frac{A}{d}$$

$$C_{\text{Ref}} = \frac{Q}{U} = \frac{D \cdot A}{E \cdot d} = \varepsilon_0 \cdot \frac{A}{d}$$

Q gleichsetzen

$$C_{\text{Ref}}U_{\text{Mess}} = C_{\text{Probe}} \left(U_0 - U_{\text{Mess}} \right)$$





$$Q_{Ref} = Q_{Probe} = Q$$

$$Q = C_{\text{Ref}} U_{\text{Mess}}$$

$$Q = C_{\text{Ref}} U_{\text{Mess}}$$

$$Q = C_{\text{Probe}} (U_0 - U_{\text{Mess}})$$

Bekannt

$$C_{\text{Probe}} = \frac{Q}{U} = \frac{D \cdot A}{E \cdot d} = \varepsilon_0 \underbrace{\varepsilon_r} \frac{A}{d}$$

$$C_{\text{Ref}} = \frac{Q}{U} = \frac{D \cdot A}{E \cdot d} = \varepsilon_0 \cdot \frac{A}{d}$$

$$C_{\text{Ref}} = \frac{Q}{U} = \frac{D \cdot A}{E \cdot d} = \varepsilon_0 \cdot \frac{A}{d}$$

Q gleichsetzen

$$C_{\text{Ref}}U_{\text{Mess}} = C_{\text{Probe}} \left(U_0 - U_{\text{Mess}} \right)$$

Umformen und C einsetzen

$$\frac{C_{\text{Probe}}}{C_{\text{Ref}}} = \boxed{\frac{U_{\text{Mess}}}{\left(U_0 - U_{\text{Mess}}\right)}} = \frac{\varepsilon_0 \cdot \varepsilon_r \cdot \frac{A}{d}}{\varepsilon_0 \cdot \frac{A}{d}} = \varepsilon_r$$



a) Berechnen Sie die Dielektrizitätszahlen ε_r und die Suszeptibilitäten χ_ε für die angegebenen Temperaturen und tragen Sie diese in die Tabelle ein. (3 **Punkte**)

Tabelle 1: U_{Mess} bei unterschiedlicher Temperatur

T / °C	U_{Mess} / ${ m V}$	ε _r /-	χε/-
$T_{I} = 25$	7,5		
$T_2 = 225$	7,0		

Für die Klausur

Hinweis: Wenn Sie die Aufgabe nicht gelöst haben, rechnen Sie mit $\varepsilon_r(T_1) = 3,1$ und $\varepsilon_r(T_2) = 2,4$. Im Übungsblatt angegeben!



Gerade ermittelt:

$$\frac{C_{\text{Probe}}}{C_{\text{Ref}}} = \frac{U_{\text{Mess}}}{\left(U_0 - U_{\text{Mess}}\right)} = \frac{\varepsilon_0 \cdot \varepsilon_r \cdot \frac{A}{d}}{\varepsilon_0 \cdot \frac{A}{d}} = \varepsilon_r$$

Werte einsetzen

$$\varepsilon_{\text{r,Probe}}(T_1) = \frac{U_{\text{Mess}}}{U_0 - U_{\text{Mess}}} = \frac{7,5V}{10V - 7,5V} = 3$$

$$\varepsilon_{\text{r,Probe}}(T_2) = \frac{U_{\text{Mess}}}{U_0 - U_{\text{Mess}}} = \frac{7,0V}{10V - 7,0V} = 2,33$$



b) Die Temperaturabhängigkeit der Suszeptibilität χ_{ε} lässt sich mit folgender Formel beschreiben:

$$\chi_{\varepsilon}(T) = K + \frac{C}{T}$$

Bestimmen Sie die temperaturunabhängige Konstante K und das Maß für die Temperaturempfindlichkeit C. (2 Punkte)



Werte einsetzen

$$\varepsilon_{\text{r,Probe}}(T_1) = 3$$

$$\varepsilon_{\text{r,Probe}}(T_2) = 2,33$$

relative Dielektrizitätszahl

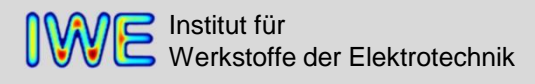
$$\varepsilon_r = 1 + \chi_e$$
 umformen $\chi_e = \varepsilon_r - 1$

$$\chi_e = \varepsilon_r - 1$$

$$\chi_{e,\text{Probe}}(T_1) = 2$$

$$\chi_{e,\text{Probe}}(T_1) = 2$$

$$\chi_{e,\text{Probe}}(T_2) = 1,33$$





$$\chi_e(T) = K + \frac{C}{T}$$
 vgl. mit Funktion: $f(x) = b + \frac{m}{x}$

$$f(x) = b + \frac{m}{x}$$

Tabelle 1: U_{Mess} bei unterschiedlicher Temperatur

T / °C	U_{Mess} / ${ m V}$	ε _r /-	χε/-	
$T_I = 25$	7,5	3	2	
$T_2 = 225$	7,0	2,33	1,33	/
	•			

Funktionswerte aus Tabelle einsetzen:

$$2 = K + \frac{C}{273 + 25} \quad (1)$$

$$2 = K + \frac{C}{273 + 25}$$
 (1)
$$1,33 = K + \frac{C}{273 + 225}$$
 (2)

T in Kelvin



$$\chi_e(T) = K + \frac{C}{T}$$
 vgl. mit Funktion: $f(x) = b + \frac{m}{x}$

$$f(x) = b + \frac{m}{x}$$

Tabelle 1: U_{Mess} bei unterschiedlicher Temperatur

T / °C	U_{Mess} / ${ m V}$	ε _r / -	χε/-	
$T_I = 25$	7,5	3	2	
$T_2 = 225$	7,0	2,33	1,33	

Funktionswerte aus Tabelle einsetzen:

$$2 = K + \frac{C}{273 + 25} \quad (1)$$

$$2 = K + \frac{C}{273 + 25}$$
 (1)
$$1,33 = K + \frac{C}{273 + 225}$$
 (2)

T in Kelvin

nach K auflösen...

aus (1):
$$K = 2 - \frac{C}{273 + 25}$$



$$\chi_e(T) = K + \frac{C}{T}$$
 vgl. mit Funktion: $f(x) = b + \frac{m}{x}$

$$f(x) = b + \frac{m}{x}$$

Tabelle 1: U_{Mess} bei unterschiedlicher Temperatur

T / °C	U_{Mess} / ${ m V}$	ε _r / -	χε/-	
$T_I = 25$	7,5	3	2	
$T_2 = 225$	7,0	2,33	1,33	

Funktionswerte aus Tabelle einsetzen:

$$2 = K + \frac{C}{273 + 25} \quad (1)$$

$$2 = K + \frac{C}{273 + 25}$$
 (1)
$$1,33 = K + \frac{C}{273 + 225}$$
 (2)

T in Kelvin

nach K auflösen...

aus (1):
$$K = 2 - \frac{C}{273 + 25}$$

aus (1):
$$K = 2 - \frac{C}{273 + 25}$$

K einsetzen
in (2): 1,33 = $2 - \frac{C}{273 + 25} + \frac{C}{273 + 225}$



$$\chi_e(T) = K + \frac{C}{T}$$
 vgl. mit Funktion: $f(x) = b + \frac{m}{x}$

$$f(x) = b + \frac{m}{x}$$

Tabelle 1: U_{Mess} bei unterschiedlicher Temperatur

T / °C	U_{Mess} / ${ m V}$	ε _r / -	χε/-
$T_{I} = 25$	7,5	3	2
$T_2 = 225$	7,0	2,33	1,33

Funktionswerte aus Tabelle einsetzen:

$$2 = K + \frac{C}{273 + 25} \quad (1)$$

$$273 + 25$$

$$1,33 = K + \frac{C}{273 + 225}$$
 (2)

T in Kelvin

nach K auflösen...

aus (1):
$$K = 2 - \frac{C}{273 + 25}$$

aus (1):
$$K = 2 - \frac{C}{273 + 25}$$

K einsetzen
in (2): 1,33 = $2 - \frac{C}{273 + 25} + \frac{C}{273 + 225}$

nach C auflösen...



$$1,33 = 2 - \frac{C}{273 + 25} + \frac{C}{273 + 225}$$

nach C auflösen...

$$C = \frac{-0,67}{\frac{1}{498} - \frac{1}{298}} = 497,15$$



nochmal...

$$1,33 = 2 - \frac{C}{273 + 25} + \frac{C}{273 + 225}$$

nach C auflösen...

$$C = \frac{-0.67}{\frac{1}{498} - \frac{1}{298}} = 497.15$$

in Gleichung für K einsetzen und auflösen...

$$K = 2 - \frac{C}{273 + 25}$$

$$K = 2 - \frac{497,15}{298} = 0,33$$



c) Berechnen Sie die Anteile χ_{el} und χ_{or} an der Suszeptibilität χ_{e} bei T_{l} , wenn davon ausgegangen wird, dass lediglich Elektronen- und Orientierungspolarisation auftreten. (2 Punkte)

Hinweis: Die Konzentration n der permanenten Dipole im Dielektrikum sei temperaturunabhängig.



Allgemein

$$\chi_e = \chi_{el} + \chi_{ion} + \chi_{or} + \chi_{RL}$$

 χ_{el} : Elektronenpolarisation

 χ_{ion} : Ionenpolarisation

 χ_{or} : Orientierungspolarisation

 χ_{RL} : Raumladungspolarisation

In Aufgabe nur $\chi_e = \chi_{el} + \chi_{or}$

$$\chi_e = \chi_{el} + \chi_{or}$$
 (1 Punkt)

 χ_{el} : Elektronenpolarisation

 χ_{or} : Orientierungspolarisation

Hinweis: Die Konzentration n der permanenten Dipole im Dielektrikum sei temperaturunab-

hängig.

Additive Zusammensetzung $\chi_e = \chi_{el} + \chi_{or}$, da n und ε_0 konstant



Es gilt also

$$\chi_{\rm e} = \chi_{\rm el} + \chi_{\rm or}$$

 χ_{el} : Elektronenpolarisation

 χ_{or} : Orientierungspolarisation

Temperaturabhängigkeit

$$\chi_e(T) = K + \frac{C}{T}$$

$$K = 0.33$$

$$C = 497,15$$



Es gilt also

$$\chi_{e} = \chi_{el} + \chi_{or}$$

el : Elektronenpolarisation

 χ_{or} : Orientierungspolarisation

Temperaturabhängigkeit

$$\chi_e(T) = K + \frac{C}{T}$$

K = 0.33

C = 497,15

Elektronenpolarisation ist temperaturunabhängig,

damit $\chi_{el} = K = 0.33$

$$TK_{\alpha_{el}} \cong 0$$

Elektronenbahnen sind durch Temperatur kaum beeinflusst!



Es gilt also

$$\chi_{e} = \chi_{el} + \chi_{or}$$

: Elektronenpolarisation

 χ_{or} : Orientierungspolarisation

Temperaturabhängigkeit

$$\chi_e(T) = K + \frac{C}{T}$$

K = 0.33

C = 497,15

Elektronenpolarisation ist temperaturunabhängig,

damit
$$\chi_{el}$$
 = K = 0,33

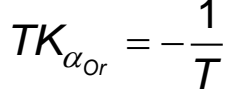
$$TK_{\alpha_{el}} \cong 0$$

Elektronenbahnen sind durch Temperatur kaum beeinflusst!

Bei Orientierungspolarisation gilt:

damit
$$\chi_{or} = C/T = 497,15/298 = 1,67$$

Oder
$$\chi_{or} = \chi_e - \chi_{el} = 2 - 0.33 = 1.67$$



Temperatur erhöht Unordnung (Entropie) im System.



Tabelle 1: U_{Mess} bei unterschiedlicher Temperatur

<i>T</i> / °C	U_{Mess} / ${ m V}$	ε _r /-		χε/-	
$T_I = 25$	7,5	3	\	2	
$T_2 = 225$	7,0	2,33		1,33	



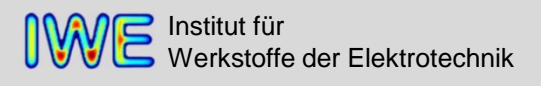
d) Die Gleichspannung U_0 wird nun durch eine Wechselspannung U_{\sim} ersetzt. Zeichnen Sie das Ersatzschalt-bild des Probenkondensators für das gesamte Frequenzspektrum und kennzeichnen Sie die entsprechenden Bauteile. (2 Punkte)



d) Die Gleichspannung U_0 wird nun durch eine Wechselspannung U_{\sim} ersetzt. Zeichnen Sie das Ersatzschalt-bild des Probenkondensators für das gesamte Frequenzspektrum und kennzeichnen Sie die entsprechenden Bauteile. (2 Punkte)

Jetzt wieder Wechselspannung U

→ Frequenzabhängigkeit der Prozesse relevant





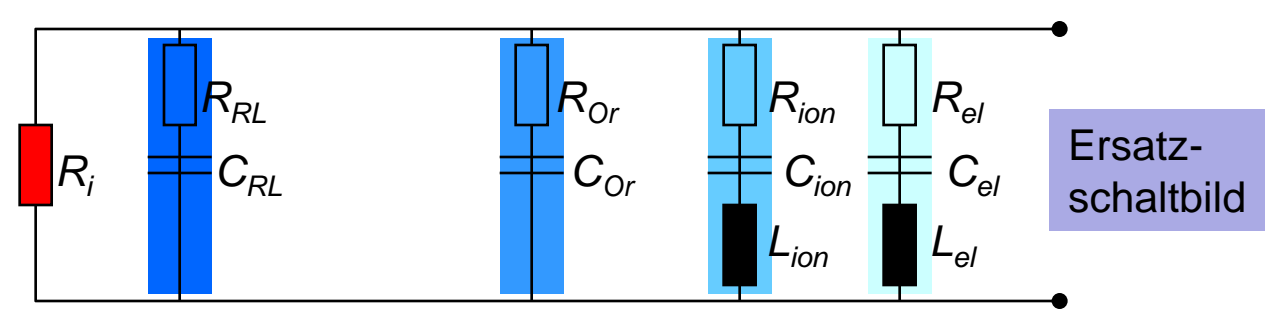
d) Die Gleichspannung U_0 wird nun durch eine Wechselspannung U_{\sim} ersetzt. Zeichnen Sie das Ersatzschalt-bild des Probenkondensators für das gesamte Frequenzspektrum und kennzeichnen Sie die entsprechenden Bauteile. (2 Punkte)

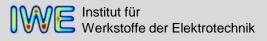
Jetzt wieder Wechselspannung U

→ Frequenzabhängigkeit der Prozesse relevant

Uns bereits bekannt...

Polarisationstypen können in Form eines Ersatzschaltbildes dargestellt werden







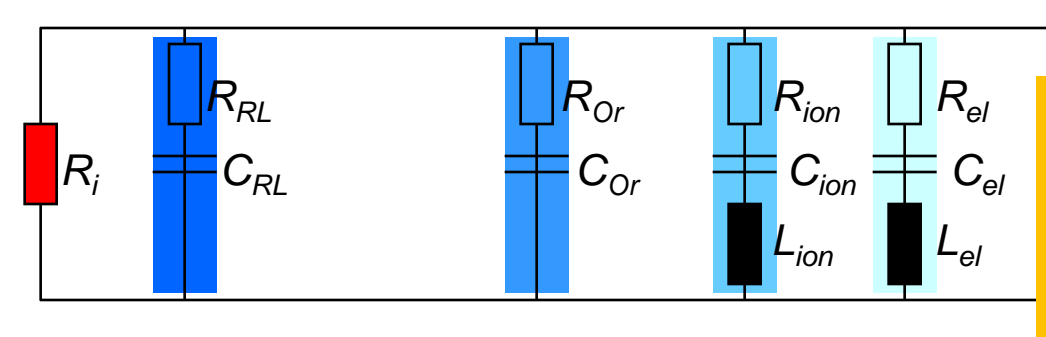
d) Die Gleichspannung U_0 wird nun durch eine Wechselspannung U_{\sim} ersetzt. Zeichnen Sie das Ersatzschalt-bild des Probenkondensators für das gesamte Frequenzspektrum und kennzeichnen Sie die entsprechenden Bauteile. (2 Punkte)

Jetzt wieder Wechselspannung U

→ Frequenzabhängigkeit der Prozesse relevant

Uns bereits bekannt...

Polarisationstypen können in Form eines Ersatzschaltbildes dargestellt werden

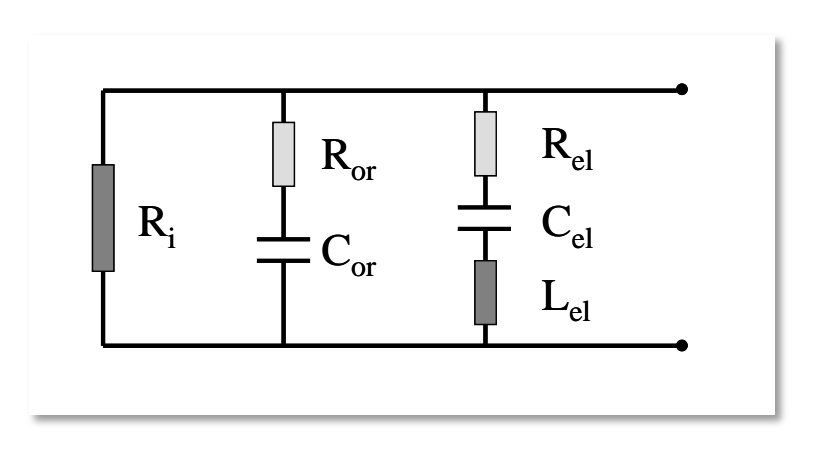


$$\chi_{e} = \chi_{el} + \chi_{or}$$

 χ_{el} : Elektronenpolarisation

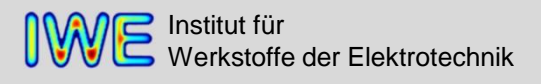
 χ_{or} : Orientierungspolarisation





Parallelschaltung aus Restwiderstand R_i und den Widerständen aufgrund von Orientierungspolarisation und Elektronenpolarisation.

Klausur: 1P wenn 2 richtig, 2P wenn alle richtig (auch wenn zusätzl. weitere Polarisationsmechanismen gezeichnet sind)



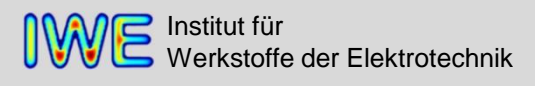


e) In einem weiteren Experiment wird, wieder bei Gleichspannung, die Polyesterprobe durch einen Diamant ersetzt. Welche Änderung der Messspannung U_{Mess} ergibt sich daraus bei der Temperaturänderung von T_1 auf T_2 ? (1 Punkt)



"Woher wissen sie das?"

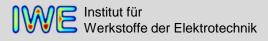
- Ionenpolarisation: Diamant besteht ausschließlich aus Kohlenstoff
- Orientierungspolarisation: keine permanenten Dipole vorhanden
- Raumladungspolarisation: keine freie Ladungsträgerdiffusion an Korngrenzen





"Woher wissen sie das?"

- Ionenpolarisation: Diamant besteht ausschließlich aus Kohlenstoff
- Orientierungspolarisation: keine permanenten Dipole vorhanden
- Raumladungspolarisation: keine freie Ladungsträgerdiffusion an Korngrenzen
- Bei Diamant tritt lediglich Elektronenpolarisation auf.
- Die Elektronenpolarisation ist temperaturunabhängig, damit kommt es infolge einer Temperaturerhöhung zu keiner Änderung der Messspannung.



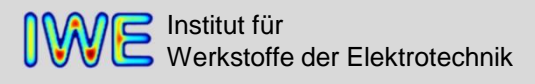


"Woher wissen sie das?"

- Ionenpolarisation: Diamant besteht ausschließlich aus Kohlenstoff
- Orientierungspolarisation: keine permanenten Dipole vorhanden
- Raumladungspolarisation: keine freie Ladungsträgerdiffusion an Korngrenzen
- Bei Diamant tritt lediglich Elektronenpolarisation auf.
- Die Elektronenpolarisation ist temperaturunabhängig, damit kommt es infolge einer Temperaturerhöhung zu keiner Änderung der Messspannung.

Klausur:

- temperaturunabhängig
- kaum / nicht Änderung





Zusammenfassung:

Bestimmung ε_r und χ_e Sawyer-Tower Schaltung



(Temperaturabhängige) Anteile der Suszeptibilität χ_{e}



Elektronenpolarisation (TK = 0)

Auslenkung von Atomkern und -hülle (induzierte Dipole)

Orientierungspolarisation (TK = -1/T)

Ausrichtung permanent vorhandener Dipole

Ersatzschaltbild des Probenkondensators

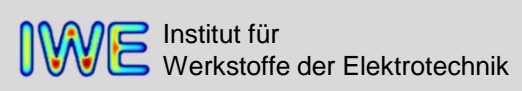
Zuordnung der Verlustprozesse im Frequenzbereich



Dielektrikum ersetzt

Änderung für: Polyester durch Diamant (temperaturunabhängige Suszeptibilität) ersetzt



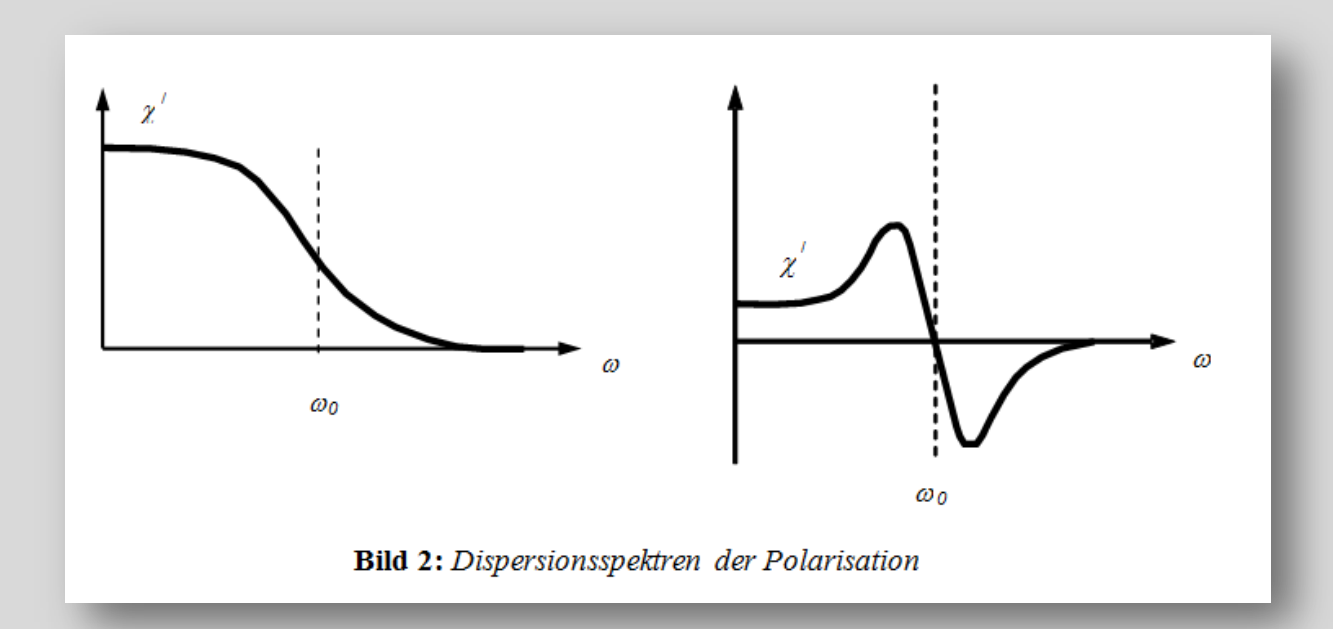


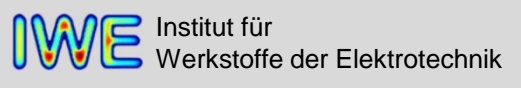


A4: Dielektrische Verlustmechanismen

In Bild 2 sind zwei mögliche Verläufe für das Dispersionsspektrum χ ' (ω) der Polarisation gegeben.

a) Ordnen Sie die Begriffe Resonanz und Relaxation zu und zeichnen Sie jeweils das entsprechende Verlustspektrum χ '' (ω) ein. (2 Punkte)







Bereits bekannt

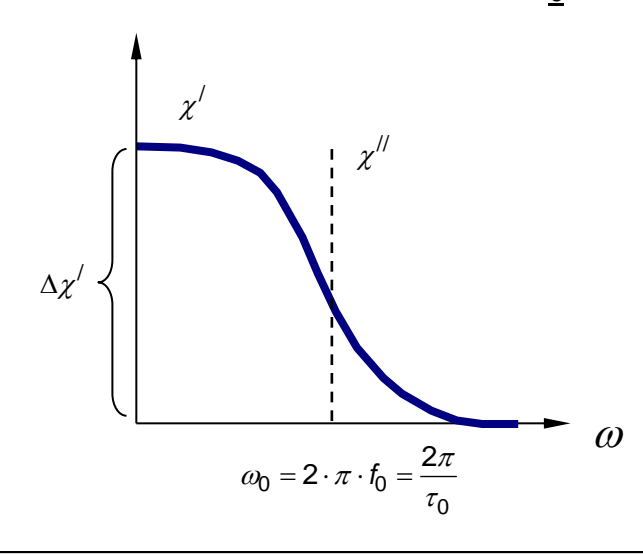
U Wechselspannung/-strom

... hat Einfluss auf die Polarisation.

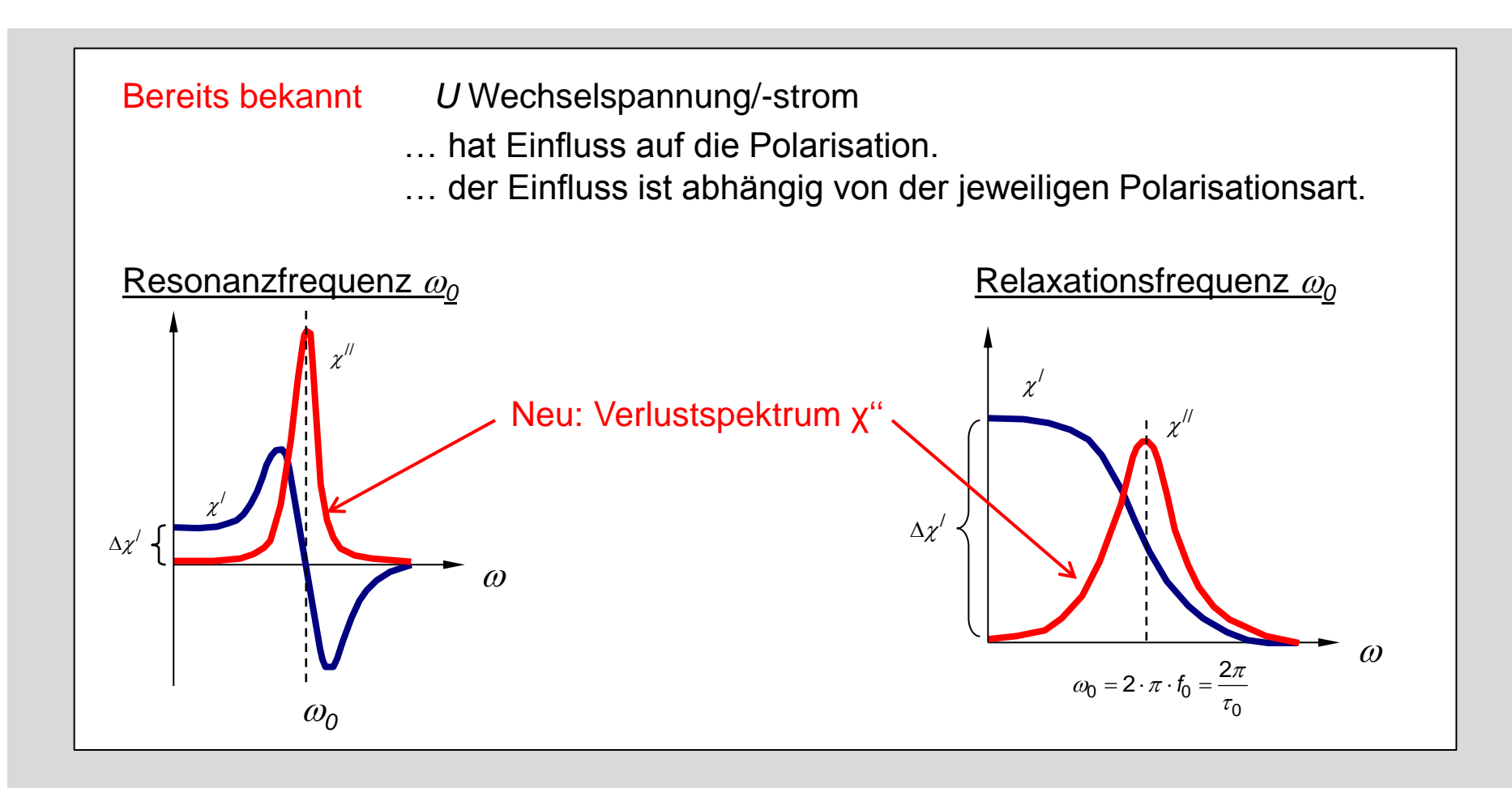
... der Einfluss ist abhängig von der jeweiligen Polarisationsart.

Resonanzfrequenz ω_0

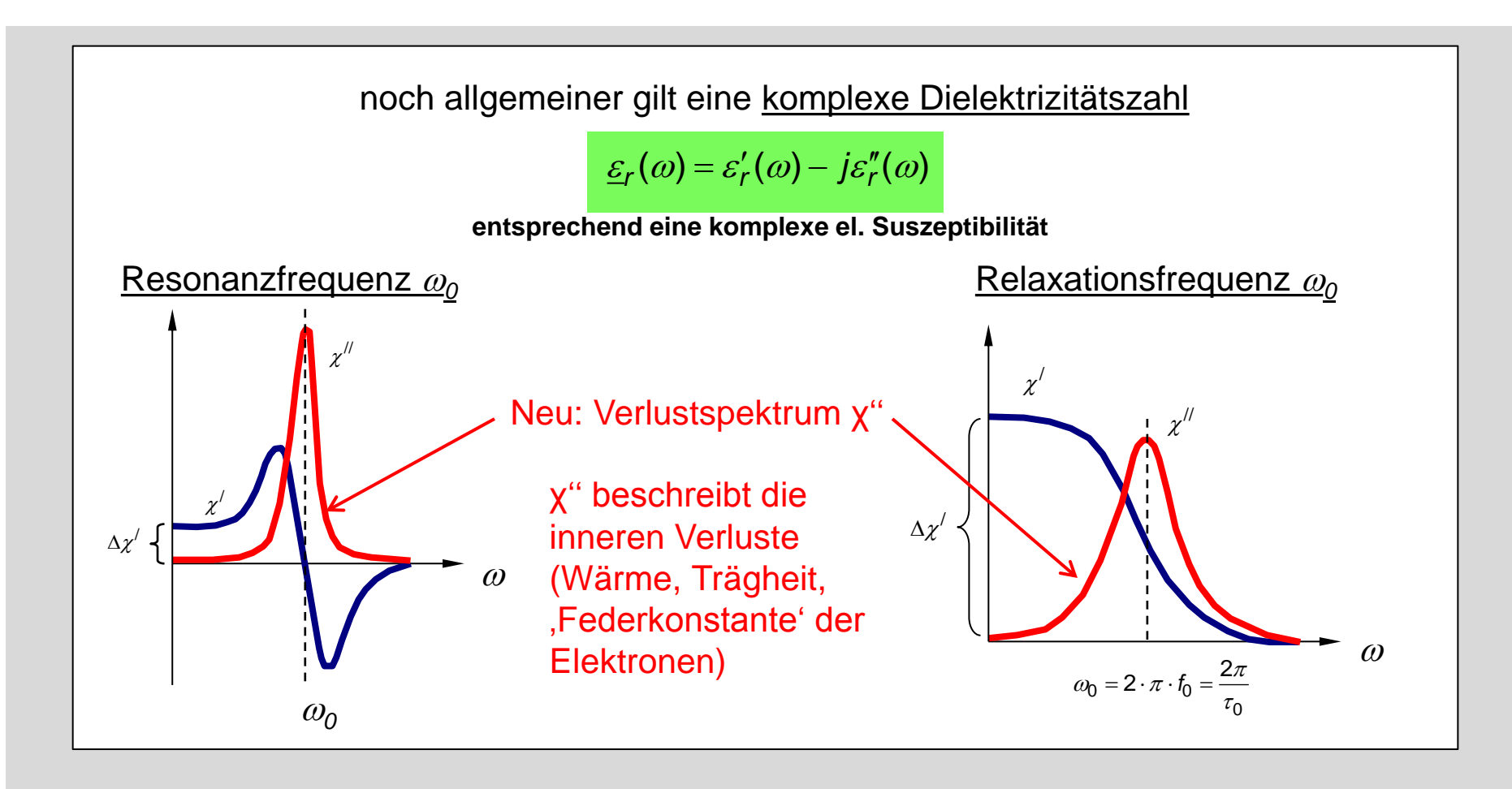
Relaxationsfrequenz ω_0



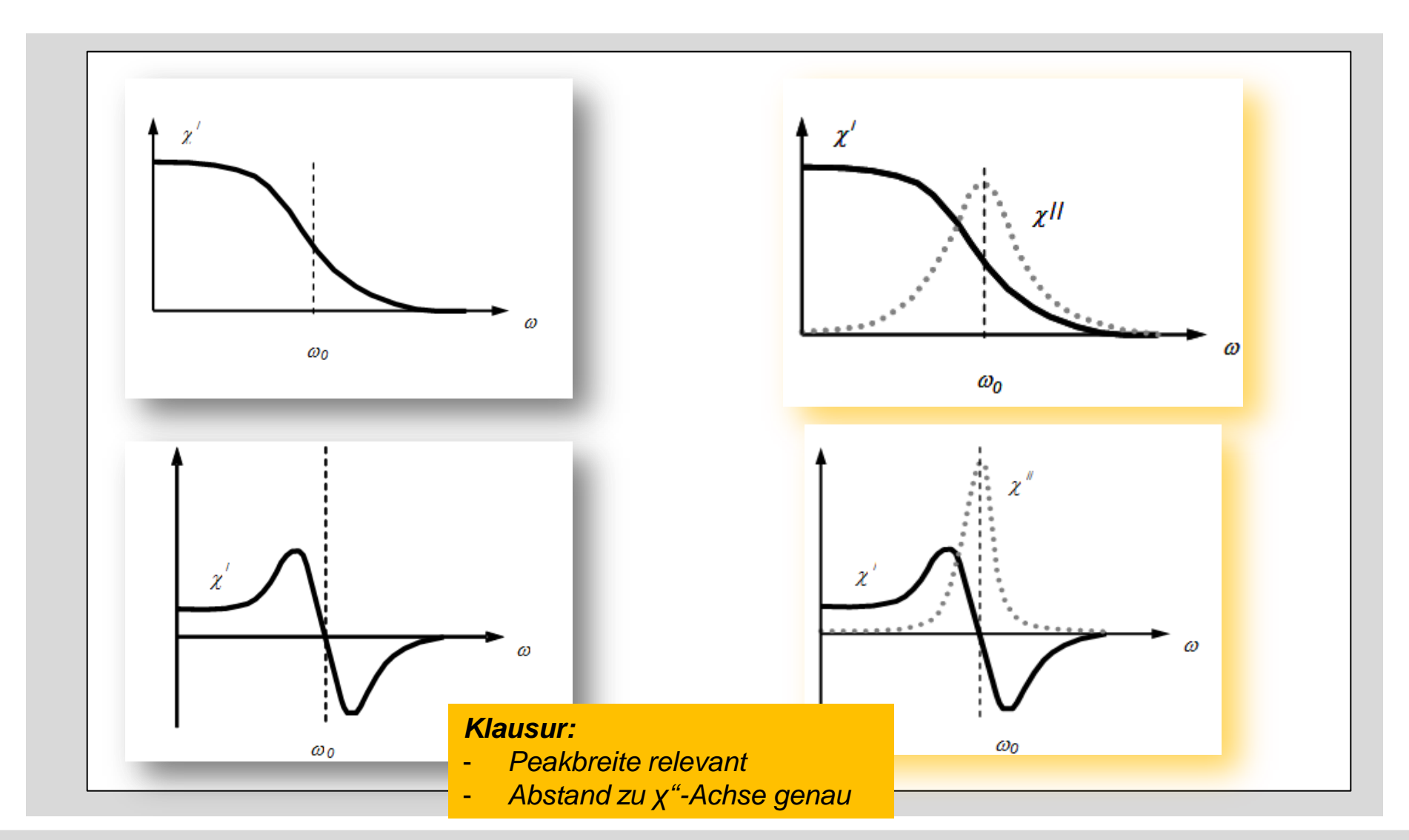


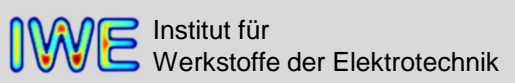










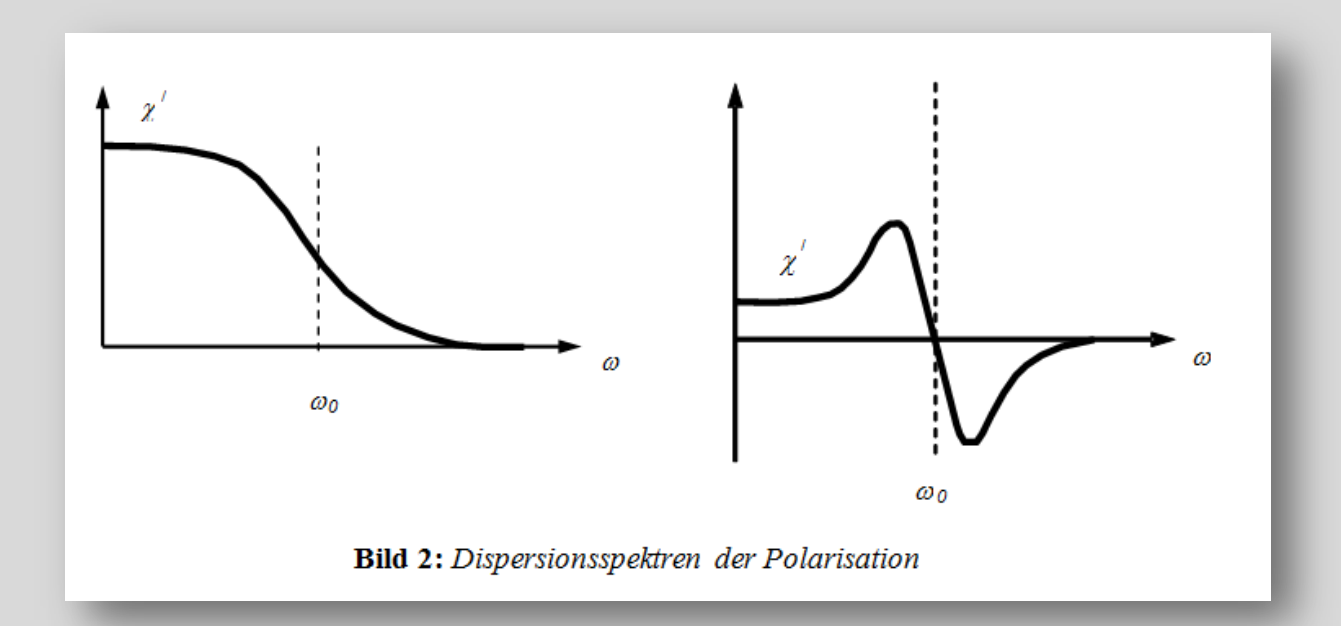


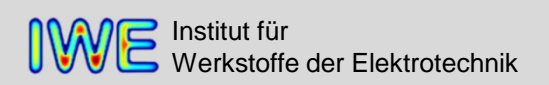


A4: Dielektrische Verlustmechanismen

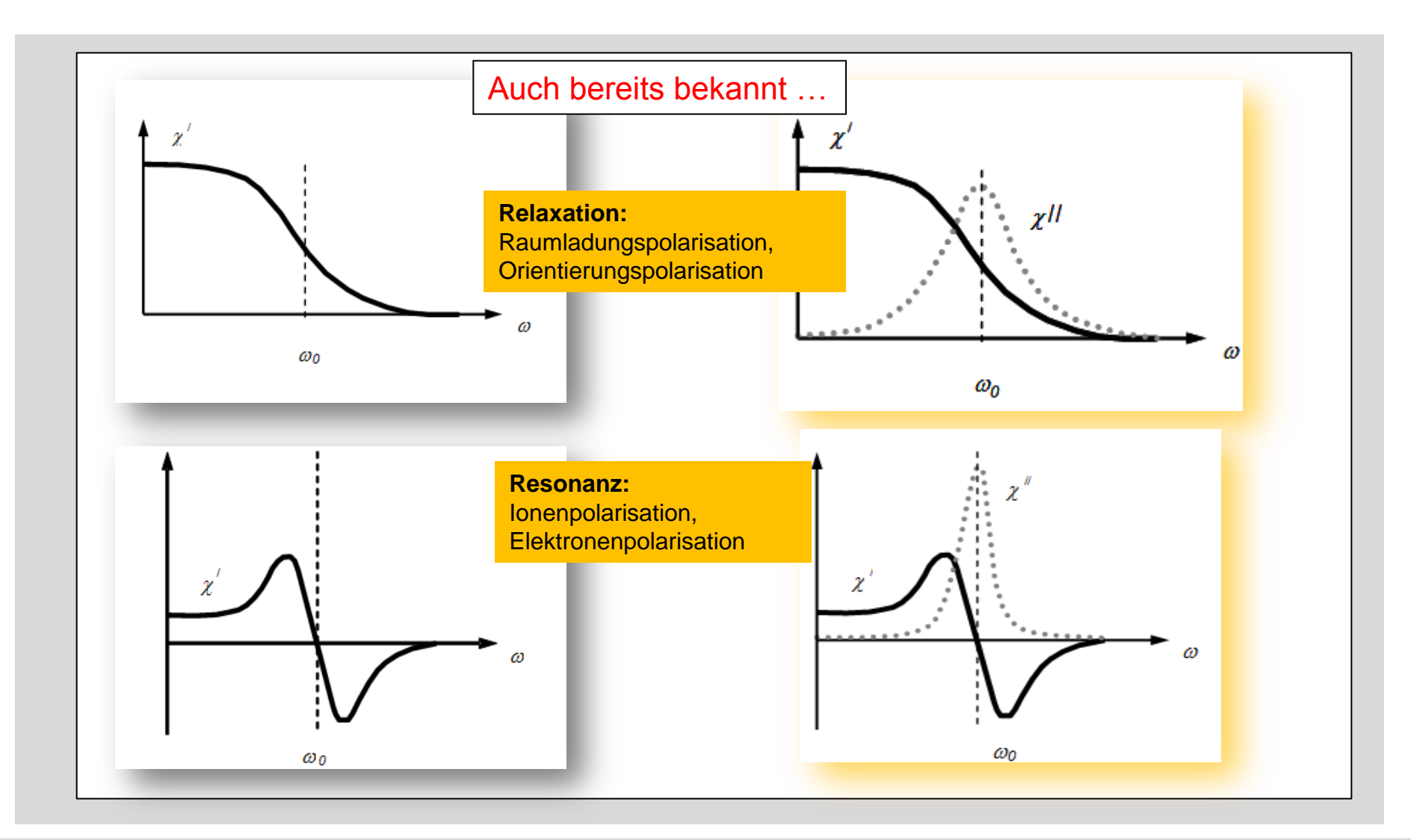
In Bild 2 sind zwei mögliche Verläufe für das Dispersionsspektrum χ ' (ω) der Polarisation gegeben.

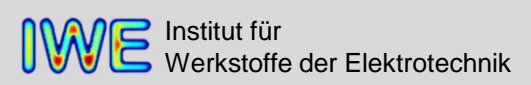
b) Geben Sie zu jedem der Verläufe aus Aufgabenteil a) einen Polarisationsmechanismus an. (1 Punkt)













Zusammenfassung:

Dispersionspektrum

innere Verluste (Imaginärteil von ϵ/χ)



Verlustmechanismen (frequenzabhängig)

Resonanz

Elektronenpolarisation

Auslenkung von Atomkern und -hülle (induzierte Dipole)

Ionenpolarisation

Auslenkung von Kationen und Anionen (induzierte Dipole)

Relaxation

Orientierungspolarisation

Ausrichtung permanent vorhandener Dipole

Raumladungspolarisation

Ansammlung freier Ladungsträgern an isolierenden Korngrenzen





Vielen Dank!

